

170921

KARADENİZ TEKNİK ÜNİVERSİTESİ
FEN BİLİMLERİ ENSTİTÜSÜ

KİMYA ANABİLİM DALI

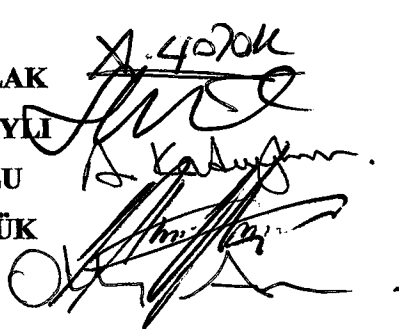
**BAZI TERMOFİLİK BAKTERİLERDEKİ KATALAZ AKTİVİTESİNİN
İNCELENMESİ**

Barbaros DİNÇER

**Karadeniz Teknik Üniversitesi Fen Bilimleri Enstitüsünce
"Doktor"
Unvanı Verilmesi İçin Kabul Edilen Tezdir.**

**Tezin Enstitüye Verildiği Tarih : 26.07.2005
Tezin Savunma Tarihi : 01.09.2005**

Tez Danışmanı : Yrd.Doç. Dr. Ahmet ÇOLAK
Jüri Üyesi : Yrd.Doç.Dr. Sevgi KOLAYLI
Jüri Üyesi : Prof.Dr. Asım KADIOĞLU
Jüri Üyesi : Yrd.Doç.Dr. Murat KÜÇÜK
Jüri Üyesi : Prof.Dr. Oktay ARSLAN



Enstitü Müdürü : Prof. Dr. Emin Zeki BAŞKENT



Trabzon 2005

ÖNSÖZ

Bu çalışma, bazı termofilik bakterilerdeki katalaz aktivitesinin incelenmesini içermektedir. Çalışmadaki deneysel kısımlar, Kimya Bölümü Biyokimya Araştırma Laboratuarı ve Spektroskopi Laboratuarı'nda gerçekleştirilmiştir.

Tüm akademik yaşamım boyunca olduğu gibi, doktora çalışmamda da gerek konu seçiminde gerekse çalışmanın büyük bir aşamasında engin bilgi ve tecrübesinden yararlandığım, her konuda yardımcıları hicbir zaman esirgemeyen rahmetli danışman hocam Sayın Prof.Dr. Saadettin GÜNER'e sonsuz teşekkür eder, kendisine Allah'tan rahmet dilerim. Ruhunuz şad olsun.

Sonradan danışmanlığını üstlenip, hiçbir konuda yardımcılarını esirgemeyen danışman hocam Sayın Y.Doç.Dr. Ahmet ÇOLAK'a teşekkür ederim.

Spektroskopik çalışmalarımda göstermiş oldukları yardım ve sabırdan dolayı Sayın Uzman Muammer ERDÖL'e teşekkür ederim.

Çalışmada bana her türlü yardımı ve desteği esirgemeyen, Sayın Prof. Dr. Asım KADIOĞLU'na, Sayın Prof.Dr. Ali Osman BELDÜZ'e, Sayın Doç.Dr. Ahmet Faik AYAZ'a, Sayın Y.Doç.Dr. Sabriye ÇANAKÇI'ya, Sayın Arş.Gör. Aykut SAĞLAM'a ve diğer Biyoloji Bölümü elemanlarına teşekkür etmeyi bir borç bilirim.

Ayrıca bana vermiş oldukları her türlü yardım ve desteklerinden dolayı, Sayın Y.Doç.Dr. Sevgi KOLAYLI'ya, Sayın Y.Doç.Dr. Murat KÜÇÜK'e, Sayın Arş.Gör. Esra ULUSOY'a ve Kimya Bölümü'ndeki diğer hocam ve mesai arkadaşımıza teşekkür ederim.

Tez çalışmam süresince maddi ve manevi her konuda büyük desteğini gördüğüm sevgili eşim Deryanur DİNÇER'e, arkadaşlarımı, bütün hayatım boyunca her zaman yanımdaydı oldukları ve desteklerini benden esirgemedikleri için sevgili anneme ve merhum babama, kardeşlerime en derin sevgi ve saygılarımı sunmayı borç bilirim.

Barbaros DİNÇER

Ağustos 2005

İÇİNDEKİLER

	<u>Sayfa No</u>
ÖNSÖZ	II
İÇİNDEKİLER	III
ÖZET	VI
SUMMARY	VII
ŞEKİLLER DİZİNİ	VIII
TABLOLAR DİZİNİ	XI
SEMBOLLER DİZİNİ	XII
1. GENEL BİLGİLER	1
1.1. Giriş	1
1.2. Katalazlar	3
1.2.1. Tek İşlevli Katalazlar	4
1.2.2. Katalaz-Peroksidazlar	5
1.2.3. Mangan-Katalazlar (pseudokatalaz)	7
1.2.4. Katalazın Yapısı	8
1.2.5. Katalazların Reaksiyon Mekanizması	12
1.3. Katalazın Kullanıldığı Endüstri Alanları	14
1.4. Oksijen Serbest Radikalleri	15
1.5. Biyokimyasal Antioksidan Olarak Katalaz	16
1.6. Katalaz Aktivite Ölçüm Yöntemleri	18
1.6.1. UV - Spektrofotometrik Yöntem	18
1.6.2. Titrimetrik Yöntem	18
1.6.3. Diğer Tayin Yöntemleri	19
1.7. Katalaz Aktivite Birimleri	19
1.8. Termofilik Mikroorganizmalar	20
1.8.1. Termofilliğin Moleküler Temelleri	23
1.9. Çalışmada Kullanılan Termofilik Bakterilerin Özellikleri	26
2. YAPILAN ÇALIŞMALAR	30
2.1. Materyal	30
2.1.1. Kullanılan Kimyasal Maddeler ve Cihazlar	30

2.1.2.	Çalışmada Kullanılan Termofilik Suşlar	31
2.1.3.	Kullanılan Çözeltilerin Hazırlanması	31
2.2.	Yöntemler	32
2.2.1.	Termofilik Bakterilerin Katalaz Kapasitesinin Belirlenmesi (Petri Testi) ..	32
2.2.2.	Termofilik Bakterilerin Sıvı Besi Ortamlarında Büyütülmesi	32
2.2.3.	Protein Miktarının Belirlenmesi	33
2.2.4.	Enzim Aktivitesinin Belirlenmesi	33
2.2.5.	Doğal Elektroforez	34
2.2.6.	Termofilik Katalazların Spektroskopik Özelliklerinin Belirlenmesi	34
2.2.7.	Termofilik Suşlardan Elde Edilen Katalazların Kinetiğinin İncelenmesi ...	35
2.2.8.	pH ve Sıcaklığın Katalaz Aktivitesine Etkisinin Belirlenmesi	35
2.2.9.	pH ve Isıl Kararlılığın Belirlenmesi	36
2.2.9.1.	ΔH , ΔS ve ΔG Değerlerinin Hesaplanması	36
2.2.9.1.1.	Hız Sabitinin Hesaplanması	36
2.2.9.1.2.	Aktivasyon Enerjisinin (E_a) Hesaplanması	36
2.2.9.1.3.	Serbest Enerjinin (ΔG) Hesaplanması	37
2.2.9.1.4.	Entalpi (ΔH) Değişiminin Hesaplanması	37
2.2.9.1.5.	Entropi (ΔS) Değişiminin Hesaplanması	37
2.2.9.	Değişik İyon ve Deterjanların Katalaz Aktivitesi Üzerine Etkisinin Belirlenmesi	38
3.	BULGULAR	39
3.1.	Termofilik Bakterilerin Katalaz Kapasitesi	39
3.2.	Doğal Elektroforez	41
3.3.	Termofilik Suşlardaki Protein Miktarı ve Katalaz Aktivitesi	44
3.4.	Termofilik Katalazların Spektroskopik Özellikleri	45
3.5.	pH ve Sıcaklığın Termofil Bakterilerdeki Katalaz Aktivitesi Üzerine Etkisi	51
3.6.	Termofilik Katalazların pH Kararlılıkları	58
3.7.	Termofilik Katalazların Isıl Kararlılıkları	64
3.6.	Termofilik Suşlardan Elde Edilen Katalazların Kinetiği	79
3.8.	Bazı İyon ve Deterjanların Termofilik Katalazların Aktivitesi Üzerine Etkisi	90
4.	TARTIŞMA	94
5.	SONUÇLAR	100

6.	ÖNERİLER	102
7.	KAYNAKLAR	103
	ÖZGEÇMİŞ	114

ÖZET

Bu çalışmada, K.T.Ü. Biyoloji Bölümü’nde bir araştırma grubunun izole ettiği bazı termofilik suşların endüstriyel bir enzim olan katalazı üretebilme kapasitesi belirlenerek, bu enzimin bazı kinetik verileri ve spektroskopik özellikleri ortaya kondu.

Bu çalışmada kullanılan termofilik suşların katalaz üretebildikleri petri testi ve doğal elektroforezle ortaya konarak, bu katalazların oldukça yüksek aktiviteye sahip oldukları tespit edildi. Özellikle, *Bacillus thermosphaericus* A3 suşi (A3) katalazının aktivitesi oldukça yüksek olduğu ve potansiyel bir katalaz kaynağı olabileceği görüldü. Tüm suşlardan elde edilen katalazların pH 7,0'de en yüksek aktivite gösterdikleri belirlendi. A3, *Anoxybacillus ayderensis* Ay9 suşi (Ay9), *Saccharococcus caldoxylolyticus* TK4 suşi (TK4), *Anoxybacillus gonensis* A9 suşi (A9), *Anoxybacillus gonensis* A5 suşi (A5) ve *Anoxybacillus gonensis* A6 suşi (A6) katalazlarının geniş bir pH aralığında kararlı oldukları görüldü.

Çalışmada kullanılan suşlara göre katalaz aktivitesi düşük olmasına rağmen A2 katalazının, hem daha termofilik hem de daha alkalofilik olduğu tespit edildi. Bunun yanında Ay9, TK4, *Anoxybacillus kestanbolensis* K1 suşi (K1) ve A5 katalazlarının da 50 °C'ye kadar aktivitelerini büyük oranda koruduğu belirlendi.

Katalazların H₂O₂ substratına ilgisinin sırasıyla A3>TK4>A9>Ay9>A5>A4>K4>A2>K1>A6 şeklinde olduğu tespit edildi. Yapılan inhibisyon çalışmasında, tüm suşlardan elde edilen katalazların 0,5 mM NaN₃, KCN ve HgCl₂ ile %100'e yakın bir oranda inhibe oldukları görüldü.

En yüksek aktiviteyi gösteren 10 suştan elde edilen katalazların hepsinin 408-417 nm arasında hem grubunu gösteren Soret pikini verdikleri ve bu katalazların indirgenmesiyle 520 ile 550 nm civarında α-bandı ve β-bandı piklerini gösterdikleri tespit edildi.

Kısaca çalışmada kullanılan termofilik suşların yüksek katalaz aktivitesine sahip olmalarından dolayı, hidrojen peroksidin kullanıldığı endüstri alanları için potansiyel katalaz kaynağı olarak kullanılabileceği önerilebilir.

Anahtar Kelimeler: Katalaz, hidrojen peroksit oksidoredüktaz, termofilik bakteri

SUMMARY

Investigation of Catalase Activities from Some Thermophilic Bacteria

In this study, the capacity of some thermophilic species that were isolated by a research group in the Department of Biology of K.T.U. to produce catalase, an industrial enzyme, was investigated, and some kinetic parameters and spectroscopic properties of these catalase enzymes were determined.

The catalase-producing ability of these thermophilic species was explored by petri test and native electrophoresis. The catalases were shown to posses considerably high activity. The catalase activity of *Bacillus thermosphaericus* A3 (A3) was found to be especially high and this species appears to be a good industrial source of this enzyme. The catalases of all the species exhibited the highest activity at pH 7.0. The catalases of A3, *Anoxybacillus ayderensis* Ay9 (Ay9), *Saccharococcus caldoxylolyticus* TK4 (TK4), *Anoxybacillus gonensis* A9 (A9), *Anoxybacillus gonensis* A5 (A5), and *Anoxybacillus gonensis* A6 (A6) were found to be stable at a wide pH range.

Although its activity was lower than that of other species used in the investigation, the catalase of A2 species was both more thermophilic and more alkalophilic. In addition, the catalases of Ay9, TK4, *Anoxybacillus kestanbolensis* K1 (K1), and A5 preserved their activity up to 50 °C.

The affinity of the catalases for H₂O₂ substrate was in the order A3>TK4>A9>Ay9>A5>A4>K4>A2>K1>A6. Inhibition studies showed that all the catalases were inhibited almost to 100% by 0.5 mM NaN₃, KCN and HgCl₂.

The catalases obtained from ten species having the highest activity were observed to give Soret peak between 408-417 nm showing the heme group, and the reduction of these catalases yielded α-band and β-band peaks around 520-550 nm.

In conclusion, the thermophilic species tested in this study were found, because of their high catalase activity, to be a potential source of catalase for the industries utilizing hydrogen peroxide.

Key words: Catalase, hydrogen peroxide oxidoreductase, thermophilic bacteria

ŞEKİLLER DİZİNİ

	<u>Sayfa No</u>
Şekil 1. Ferriprotoporfirin IX yapısı	4
Şekil 2. Katalazın aktif bölgesinin şematik gösterimi	9
Şekil 3. Aktif bölgede bulunan kanalın yapısı	10
Şekil 4. Hamur mayasından elde edilen katalaz A'nın kanal yapısı	11
Şekil 5. Altbirim bölgelerinin şematik gösterimi	12
Şekil 6. A) Bileşik-I, B) Demir ile koordinasyon oluşturmuş O-O bağı	13
Şekil 7. Termofilik suşlardaki katalaz kapasitesinin belirlenmesi için yapılan petri testi sonuçları	39
Şekil 8. Termofilik suşlardaki katalaz kapasitesinin belirlenmesi için yapılan petri testi sonuçları	40
Şekil 9. Termofilik suşlardan elde edilen özütlerdeki katalaz aktivitesi için yapılan doğal elektroforez jeli	41
Şekil 10. Termofilik suşlardan elde edilen özütlerin doğal protein elektroforezi	42
Şekil 11. A3 katalazının 350-600 nm arasındaki absorbsiyon spektrumu	45
Şekil 12. Ay9 katalazının 350-600 nm arasındaki absorbsiyon spektrumu	46
Şekil 13. TK4 katalazının 350-600 nm arasındaki absorbsiyon spektrumu	46
Şekil 14. A9 katalazının 350-600 nm arasındaki absorbsiyon spektrumu	47
Şekil 15. K1 katalazının 350-600 nm arasındaki absorbsiyon spektrumu	48
Şekil 16. A4 katalazının 350-600 nm arasındaki absorbsiyon spektrumu	48
Şekil 17. K4 katalazının 350-600 nm arasındaki absorbsiyon spektrumu	49
Şekil 18. A5 katalazının 350-600 nm arasındaki absorbsiyon spektrumu	49
Şekil 19. A6 katalazının 350-600 nm arasındaki absorbsiyon spektrumu	50
Şekil 20. A2 katalazının 350-600 nm arasındaki absorbsiyon spektrumu	51
Şekil 21. Termofilik suşlardan elde edilen katalazların aktivite-pH değişimi	52
Şekil 22. A3 suşundan elde edilen katalaz aktivitesinin sıcaklıkla ilişkisi	52
Şekil 23. Ay9 suşundan elde edilen katalaz aktivitesinin sıcaklıkla ilişkisi	53
Şekil 24. TK4 suşundan elde edilen katalaz aktivitesinin sıcaklıkla ilişkisi	54
Şekil 25. A9 suşundan elde edilen katalaz aktivitesinin sıcaklıkla ilişkisi	54
Şekil 26. K1 suşundan elde edilen katalaz aktivitesinin sıcaklıkla ilişkisi	55
Şekil 27. A4 suşundan elde edilen katalaz aktivitesinin sıcaklıkla ilişkisi	55

Şekil 28. K4 suşundan elde edilen katalaz aktivitesinin sıcaklıkla ilişkisi	56
Şekil 29. A5 suşundan elde edilen katalaz aktivitesinin sıcaklıkla ilişkisi	57
Şekil 30. A6 suşundan elde edilen katalaz aktivitesinin sıcaklıkla ilişkisi	57
Şekil 31. A2 suşundan elde edilen katalaz aktivitesinin sıcaklıkla ilişkisi	58
Şekil 32. A3 suşundan elde edilen katalazın pH kararlılık grafiği	59
Şekil 33. Ay9 suşundan elde edilen katalazın pH kararlılık grafiği	59
Şekil 34. TK4 suşundan elde edilen katalazın pH kararlılık grafiği	60
Şekil 35. A9 suşundan elde edilen katalazın pH kararlılık grafiği	60
Şekil 36. K1 suşundan elde edilen katalazın pH kararlılık grafiği	61
Şekil 37. A4 suşundan elde edilen katalazın pH kararlılık grafiği	61
Şekil 38. K4 suşundan elde edilen katalazın pH kararlılık grafiği	62
Şekil 39. A5 suşundan elde edilen katalazın pH kararlılık grafiği	62
Şekil 40. A6 suşundan elde edilen katalazın pH kararlılık grafiği	63
Şekil 41. A2 suşundan elde edilen katalazın pH kararlılık grafiği	64
Şekil 42. A3 katalazının termal kararlılık grafiği	65
Şekil 43. A3 katalazının 60. dakikadaki termal kararlılık grafiği	65
Şekil 44. Ay9 katalazının termal kararlılık grafiği	66
Şekil 45. Ay9 katalazının 60. dakikadaki termal kararlılık grafiği	67
Şekil 46. TK4 katalazının termal kararlılık grafiği	68
Şekil 47. TK4 katalazının 60. dakikadaki termal kararlılık grafiği	68
Şekil 48. A9 katalazının termal kararlılık grafiği	69
Şekil 49. A9 katalazının 60. dakikadaki termal kararlılık grafiği	70
Şekil 50. K1 katalazının termal kararlılık grafiği	71
Şekil 51. K1 katalazının 60. dakikadaki termal kararlılık grafiği	71
Şekil 52. A4 katalazının termal kararlılık grafiği	72
Şekil 53. A4 katalazının 60. dakikadaki termal kararlılık grafiği	73
Şekil 54. K4 katalazının termal kararlılık grafiği	74
Şekil 55. K4 katalazının 60. dakikadaki termal kararlılık grafiği	74
Şekil 56. A5 katalazının termal kararlılık grafiği	75
Şekil 57. A5 katalazının 60. dakikadaki termal kararlılık grafiği	76
Şekil 58. A6 katalazının termal kararlılık grafiği	77
Şekil 59. A6 katalazının 60. dakikadaki termal kararlılık grafiği	77
Şekil 60. A2 katalazının termal kararlılık grafiği	78

Şekil 61. A2 katalazının 60. dakikadaki termal kararlılık grafiği	79
Şekil 62. A3 katalazının H_2O_2 varlığındaki Lineweaver-Burk grafiği	81
Şekil 63. A3 katalazının H_2O_2 varlığında elde edilen Hill grafiği	81
Şekil 64. Ay9 katalazının H_2O_2 varlığındaki Lineweaver-Burk grafiği	82
Şekil 65. Ay9 katalazının H_2O_2 varlığında elde edilen Hill grafiği	82
Şekil 66. TK4 katalazının H_2O_2 varlığındaki Lineweaver-Burk grafiği	83
Şekil 67. TK4 katalazının H_2O_2 varlığında elde edilen Hill grafiği	83
Şekil 68. A9 katalazının H_2O_2 varlığındaki Lineweaver-Burk grafiği	84
Şekil 69. A9 katalazının H_2O_2 varlığında elde edilen Hill grafiği	84
Şekil 70. K1 katalazının H_2O_2 varlığındaki Lineweaver-Burk grafiği	85
Şekil 71. K1 katalazının H_2O_2 varlığında elde edilen Hill grafiği	85
Şekil 72. A4 katalazının H_2O_2 varlığındaki Lineweaver-Burk grafiği	86
Şekil 73. A4 katalazının H_2O_2 varlığında elde edilen Hill grafiği	86
Şekil 74. K4 katalazının H_2O_2 varlığındaki Lineweaver-Burk grafiği	87
Şekil 75. K4 katalazının H_2O_2 varlığında elde edilen Hill grafiği	87
Şekil 76. A5 katalazının H_2O_2 varlığındaki Lineweaver-Burk grafiği	88
Şekil 77. A5 katalazının H_2O_2 varlığında elde edilen Hill grafiği	88
Şekil 78. A6 katalazının H_2O_2 varlığındaki Lineweaver-Burk grafiği	89
Şekil 79. A6 katalazının H_2O_2 varlığında elde edilen Hill grafiği	89
Şekil 80. A2 katalazının H_2O_2 varlığındaki Lineweaver-Burk grafiği	90
Şekil 81. A2 katalazının H_2O_2 varlığında elde edilen Hill grafiği	90

TABLOLAR DİZİNİ

	<u>Sayfa No</u>
Tablo 1. Reaktif Oksijen Türleri	16
Tablo 2. Biyolojik Sistemlerdeki Antioksidanlar	17
Tablo 3. Katalaz aktivite ölçüm yöntemleri	19
Tablo 4. Termofilik organizmalarından elde edilen bazı enzimlerin kullanıldığı biyoteknolojik uygulamalar	23
Tablo 5. Termofilik suşların isimleri ve izole edildikleri yerler	26
Tablo 6. Diyadin (Ağrı), Kestanbol (Çanakkale) ve Gönen (Balıkesir) kaplıcalarından elde edilen izolatların biyokimyasal özellikleri	28
Tablo 7. Termofilik katalazlara ait Rf değerleri ve molekül ağırlıkları	43
Tablo 8. Termofilik suşlardan elde edilen ekstrakların protein miktarları ve katalaz aktiviteleri	44
Tablo 9. A3 katalazına ait termodinamik parametreler	66
Tablo 10. Ay9 katalazına ait termodinamik parametreler	67
Tablo 11. TK4 katalazına ait termodinamik parametreler	69
Tablo 12. A9 katalazına ait termodinamik parametreler	70
Tablo 13. K1 katalazına ait termodinamik parametreler	72
Tablo 14. A4 katalazına ait termodinamik parametreler	73
Tablo 15. K4 katalazına ait termodinamik parametreler	75
Tablo 16. A5 katalazına ait termodinamik parametreler	76
Tablo 17. A6 katalazına ait termodinamik parametreler	78
Tablo 18. A2 katalazına ait termodinamik parametreler	79
Tablo 19. Termofilik katalazlara ait bazı kinetik veriler	80
Tablo 20. Termofilik katalazların aktivitesi üzerine bazı katyonların etkisi	92
Tablo 21. Termofilik katalazların aktivitesi üzerine bazı anyonların etkisi	92
Tablo 22. Termofilik katalazların aktivitesi üzerine bazı iyon ve deterjanlarının etkisi	93

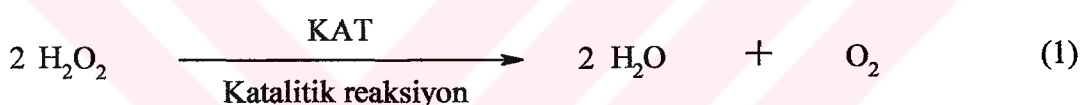
SEMBOLLER DİZİNİ

A2	:	<i>Bacillus gonensis</i> A2 suşu
A3	:	<i>Bacillus thermosphaericus</i> A3 suşu
A4	:	<i>Anoxybacillus gonensis</i> A4 suşu
A5	:	<i>Anoxybacillus gonensis</i> A5 suşu
A6	:	<i>Anoxybacillus gonensis</i> A6 suşu
A7	:	<i>Anoxybacillus gonensis</i> A7 suşu
A9	:	<i>Anoxybacillus gonensis</i> A9 suşu
Ay13	:	<i>Anoxybacillus gonensis</i> Ay13 suşu
Ay2	:	<i>Anoxybacillus gonensis</i> Ay2 suşu
Ay5	:	<i>Anoxybacillus gonensis</i> Ay5 suşu
Ay8	:	<i>Anoxybacillus gonensis</i> Ay8 suşu
Ay9	:	<i>Anoxybacillus ayderensis</i> Ay9 suşu
G1	:	<i>Bacillus thermoleovarans</i> G1 suşu
G2	:	<i>Anoxybacillus gonensis</i> G2 suşu
K1	:	<i>Anoxybacillus kestanbolensis</i> K1 suşu
K3	:	<i>Anoxybacillus thermosphaericus</i> K3 suşu
K4	:	<i>Anoxybacillus kestanbolensis</i> K4 suşu
KAT	:	Katalaz
KP	:	Katalaz-peroksidaz
MK	:	Mangan-katalaz
TK4	:	<i>Saccharococcus caldoxylolyticus</i> TK4 suşu
U	:	Unite

1. GENEL BİLGİLER

1.1. Giriş

Katalaz (KAT) (Hidrojen Peroksit; Hidrojen Peroksit Oksidoredüktaz, E.C. 1.11.1.6), H_2O_2 ' in su ve oksijene indirgenmesini katalizleyen, tetramerik demir porfirin içeren, yüksek molekül ağırlıklı bir antioksidan enzimdir (Brown-Peterson ve Salin, 1995; Gonçalves vd., 1999; Chaudiere ve Ferrari-Iliou, 1999). KAT yüksek konsantrasyonlarda H_2O_2 'i indirgeyebildiği gibi (Reaksiyon 1) düşük H_2O_2 konsantrasyonlarında alkoller, askorbat ve fenol içeren indirgenmiş substratları kullanarak peroksidatif aktivite de gösterebilir (Reaksiyon 2) (Chaudiere ve Ferrari-Iliou, 1999; Ahmad, 2001).



Doğada geniş bir dağılım gösteren katalaz, aerobik mikroorganizmalarda, omurgalılarda, omurgasızlarda, bitkilerde ve mantarlarda bulunmaktadır (Bergmeyer ve Grabl, 1983; Aebi, 1984; Baldwin, 1997). KAT'lar bütün organizmalarda birbirlerine benzerlik gösterirler. Molekül ağırlıkları yaklaşık 225-270 kDa olan KAT'ların, her biri bir demir *hem* (protoporfirin IX) yapısına sahip dört alt birimden oluşmaktadır. Bu enzimler, geniş bir pH (4-10) ve sıcaklık (20-50 °C) aralığında aktivite gösterebilmektedirler. Katalazlar, özgün olarak 3-amino-1,2,4-triazol ile inhibe olmaktadır (Darr ve Fridovich, 1986; Kim vd., 1994; Brown-Peterson ve Salin, 1995; Ahmad, 2001; Thompson vd., 2003;). Ayrıca, pH 4,5-5,5 arasında izoelektrik (pI) noktaya sahiptirler (Chary ve Natvig, 1989; Baldwin, 1997).

Genel olarak KAT'lar, tipik tek işlevli katalazlar, peroksidatif aktiviteye sahip katalaz-peroksidaz ve Mangan-katalaz (pseudokatalaz) olmak üzere üç sınıfa ayrırlırlar (Kagawa vd., 1999; Thompson vd., 2003). Tek işlevli katalazlar ile katalaz-peroksidazlar

birbirinden farklı iki enzim gibi görülmelerine rağmen, baz dizilerinde benzerlik gösterirler. Hem proteinlerinin klasik inhibitörü olan siyanür ve azid ile kolayca inhibe olurlar. Mangan-katalazlar ise bu enzimlerden farklı olarak aktif bölgelerinde hem prostetik grubu yerine Mn^{+2} iyonlarını içerdikleri için siyanür ve azid ile inhibe olmazlar (Thompson vd., 2003).

KAT'ın antioksidan işlevleri çok iyi bilinmektedir. Pek çok hayvan hücresinde katalazın büyük bir kısmı, H_2O_2 konsantrasyonunun 10^{-4} M'dan yüksek olduğu peroksizomlarda, çok az miktarda da mitokondri matriksinde bulunur. Moleküler oksijenin hücresel metabolik işlemleri; superoksit anyon radikali (O_2^-), hidroksil radikali (OH^-) ve hidrojen peroksit (H_2O_2) gibi reaktif olan oksijen türleri oluşumu ile son bulur. Bu radikallerin birikmesi sonucunda hücreler zarar görür. Toksik O_2^- radikali, superoksit dismutaz tarafından dismutasyon yoluyla H_2O_2 'ye dönüştürüllererek hücreye zarar vermesi engellenir. Ayrıca, oluşan H_2O_2 radikalının katalaz tarafından su ve oksijene indirgenmesi ile de hücrenin bir kez daha zarar görmesi önlenir (Chaudiere ve Ferrari-Iliou, 1999).

Günümüz endüstrisinde klasik kimyasal yöntemlerin yerini biyoteknolojik uygulamalar almaktadır. Endüstriyel enzimler arasında yer alan katalazlar; gıda, süt, tekstil, kağıt gibi ağartma işlemlerinin yapıldığı endüstri alanlarında, hidrojen peroksidin ortamdan uzaklaştırılması için kullanılmaktadır (Akertek ve Tarhan, 1995; Dhaese, 1996; Costa vd., 2001). Son yıllarda, özellikle bu endüstri alanlarında H_2O_2 'in ağartıcı olarak kullanımının artması, üretim aşamalarında bazı sorumlara sebep olabilmektedir (Weck, 1991). Bu aşamalarda, H_2O_2 'in ortamdan uzaklaştırılması için ya aşırı miktarda su ile yıkanmakta ya da atık suda yüksek tuz konsantrasyonuna sebep olan sodyum bisülfit veya hidrosüfit ile indirgenmesi yöntemi kullanılmaktadır (Hillenbrand, 1999; Fruhwirth vd., 2002).

Biyoteknolojinin de katkılarıyla enzimler, birçok endüstriyel işlemleri hem daha ilimiş şartlarda gerçekleştirilmekte, hem de oluşan yan ürünlerin çevreye verdikleri zararlar en aza indirmektedirler. Enzimler bu avantajlara sahip olmalarına rağmen yakın zamana kadar bazı önemli endüstri dalları haricinde kullanıcıları çok yaygın değildi. Ancak son yıllarda; enzim üretim, saflaştırma, türevlendirme teknolojilerindeki ve biyoteknolojideki gelişmelere bağlı olarak hızla uygulama alanı bulmuştur. Enzimlerin sınırlı uygulama alanları bulmasında en önemli etken, enzimlerin saflaştırılma işlemlerinin zahmetli ve pahalı olmasıdır. Bir hücre içerisindeki enzimi, yüksek düzeyde etkinliğini koruyarak ve zarar görmeden ayırmak için çeşitli yöntemlerin uygulanması gereklidir. Ayrıca, enzimler

hücre dışına alındıklarında genellikle kararsızdırular ve değişen mikro çevreleri nedeniyle doğal yapılarını kolayca kaybedebilirler. Enzimlerin pek çoğu sulu ortamda çözünme özelliğindedirler. Bu özelliklerinden dolayı enzimler, eğer endüstriyel bir işlemde kullanılmışlarsa onları sulu ortamdan geri kazanmak zordur ve de ekonomik değildir. Ayrıca, enzimlerle katalizlenen endüstriyel bir işlemin sonlandırılmasında, enzim kolayca sulu ortamdan uzaklaştırılamadığı için, enzimatik reaksiyon ancak inhibitör (aktivite durdurucu veya önleyici) denilen maddeler varlığında gerçekleştirilebilir. Bunun sonucunda, saf olarak elde edilmek istenilen ürünlerin bulunduğu ortamlara yeni maddeler ilave edildiği için, safsızlık söz konusu olacaktır. Bu kirliliklerin uzaklaştırılmasının ürün maliyetini artıracağı da açıktır.

Katalazın kullanıldığı endüstri alanlarında H_2O_2' in ortamdan uzaklaştırılması işlemi yüksek sıcaklık ve pH'larda gerçekleştirilmektedir. Termofilik mikroorganizmalardan elde edilen katalazlar, mezofilik mikroorganizmalardan daha fazla ıslık kararlılığı sahiptirler. Bundan dolayı termofilik katalazlar endüstrinin ihtiyaç duyduğu enzimlerin önemli bir sınıfını oluştururlar. Buna rağmen, termofilik mikroorganizmalarda katalazla ilgili yeterince çalışma bulunmamaktadır.

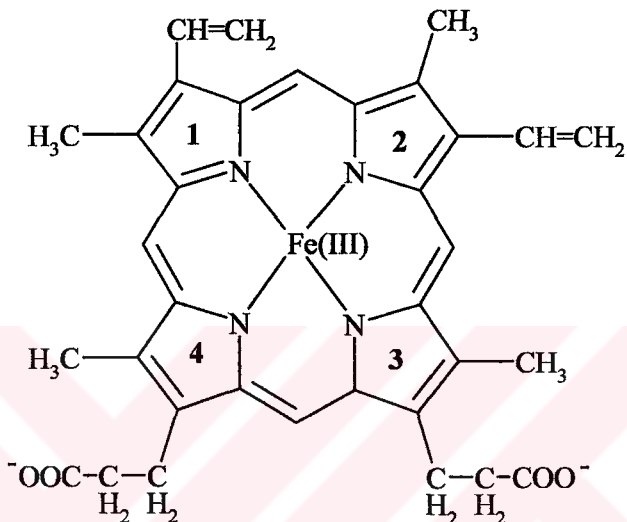
Bu çalışmada, KTÜ Fen Edebiyat Fakültesi Biyoloji Bölümü araştırmacıları tarafından (Dülger, 1997; Çanakkçı, 2003) izole edilmiş olan termofilik bakterilerin katalaz kapasiteleri belirlenerek, bu enzimin en uygun çalışma koşulları ve kinetik bazı parametreleri inceleneciktir. Ayrıca, bu termofilik katalazların, pH ve ıslık (termal) kararlığı yanında deterjanlar, çeşitli iyonlar ve reaktifler varlığında aktivitelerinin değişimi belirlenecektir.

1.2. Katalazlar

Katalazların yapısı (hidroperoksidazlar), ilk olarak 1901 yılında (Loew, 1901) aydınlatılmış ve günümüze kadar araştırmalar devam etmiştir (Chelikani, 2004). KAT'lar homotetramer bir yapıya sahip olup, her bir altbirimi kovalent bağlı olmayan yüksek spinli Fe (III) içeren ve protoferrihem (protoporfirin IX) olarak bilinen hem prostetik grup içerir (Şekil 1) (Chelikani, 2004). Katalazların, önemli aktiviteye sahip, baz dizisi ve yapısal olarak birbirinden farklı üç tip protein yapıları bulunmaktadır. Katalazlar genel olarak, tipik tek işlevli katalazlar, peroksidatif aktiviteye sahip katalaz-peroksidaz ve Mangan-katalaz

(pseudokatalaz) olmak üzere üç sınıfta toplanmaktadır (Kagawa vd., 1999; Thompson vd., 2003; Chelikani, 2004).

Hem içeren katalazlar karakteristik olarak 420 nm'de Soret piki verirler. Ayrıca aktif bölgede hem grubunun merkezinde yer alan Fe^{+3} 520-550 nm arası pik vermezken, bu demir atomunun Fe^{+2} ye indirgenmesi sonucu bu bölgede absorbans gösterir (Dos Santos vd., 2000; Zou ve Schrempf, 2000; Ro vd., 2003; Baker vd., 2004).



Şekil 1. Ferriprotoporfirin IX yapısı

1.2.1. Tek İşlevli Katalazlar

Tek işlevli katalazlar, doğada oldukça geniş bir yayılış gösterirler. Bu tür katalazlar, hem içeren 60-75 arasında molekül ağırlıklarına sahip altbirimler içermektedirler. Tek işlevli katalazların, H_2O_2 'yi bozmaları iki adımda gerçekleşen bir reaksiyon mekanizması içermektedir. Birinci adım; bir oksijen peroksit molekülü katalazın hem demiri ile etkileşerek, oksijence zengin demir peroksit (Porfirin katyon radikalı; bileşik I) ve bir mol su oluşturmayalaşır (Dounce, 1983; Chaudiere ve Ferrari-Iliou, 1999; Dinçer, 2000; Chelikani, 2004).



İkinci adım; başka bir H₂O₂ molekülünün bileşik I ile reaksiyona girerek su ve oksijene indirgenmesiyle son bulur (Dounce, 1983; Chaudiere vd., 1999; Dinçer, 2000; Chelikani, 2004).



Son yüzyıldan beri katalazın karakterizasyonu çalışılmaktadır. Fakat bu enzimlerin tam olarak karakterize edildiği birkaç çalışma mevcuttur. Birbirinden bağımsız olarak yapılan, katalazın aktivite ve özelliklerinin belirlenmesi çalışmalarının karşılaştırılmasında farklı bulguların elde edildiği gözlenmiştir. Örneğin, 16 yaygın katalazın karşılaştırılmasında sekiz yapının tespit edilmesi, katalaz ailesi özelliklerinin ne kadar farklılık gösterdiğini ortaya koymaktadır (Switala ve Loewen, 2002).

Katalazlar düşük substrat konsantrasyonları hariç Michaelis-Menten kinetiğine uymazlar ve yüksek H₂O₂ konsantrasyonlarında, farklı katalazlar farklı şekilde etkilenirler. Bazı küçük altbirimli katalazların, 300-500 mM H₂O₂ konsantrasyonun üzerine çıktıığında inhibe olduğu ve bu katalazlara ilişkin hazırlanan substrat doygunluk eğrisinin düşük substrat konsantrasyonlarında ekstrapolasyon olmasından dolayı Michaelis-Menten kinetiğindeki V_{maks} değerine ulaşamadığı görülmüştür. Büyük yapılı altbirimlere sahip katalazlar, 3 M H₂O₂ üzerinde inhibe olmaya başlamış ve V_{maks} değerine ulaşamamıştır. Bu nedenle, elde edilen V_{maks} ve K_m değerleri Michaelis-Menten kinetiğine uymadığı için yanlıltıcıdır. Katalazların protein dizilerindeki farklılıklar oldukça farklı reaksiyon eğilimlerinin ve substrat ilgilerinin olmasından kaynaklanmaktadır (Chelikani, 2004). Ayrıca, tek işlevli katalazlar ditiyonitli ortamda aktivite kaybına karşı direnç gösterirler ve kolay indirgenemezler (Terzenbach ve Blaut, 1998).

1.2.2. Katalaz-Peroksidazlar

Katalaz-Peroksidazlar (KP) çok az farklı protein dizisi, tersiyer ve kuarter yapı gösterdikleri için, tek işlevli katalazların göstermiş olduğu reaksiyon adımlarına benzer reaksiyonlar gösterirler. Bunun nedeni, her iki enzimin de hem grubu içermesi ve aktif bölgelerinin benzer işlevlere sahip olmasıdır. Peroksidatif aktivite, ikinci adımda hidrojen peroksit yerine organik bir donör kullanılmasıyla bileşik I' in iki elektron transfer etmesi

sonucunda indirgenmesinden kaynaklanmaktadır (Chaudiere ve Ferrari-Iliou, 1999; Halliwell, 1999; Carpena vd., 2003).



A; etanol, metanol, nitrit, kinol gibi herhangi bir hidrojen verici substrattır (Halliwell, 1999).

İlk olarak, katalaz-peroksidaz HPI *E. coli*' den 1979'da (Claiborne vd., 1979) izole ve karakterize edilmiştir. İlk katalaz-peroksidaz gen dizisi, 1988 yılında (Triggs-Raine vd., 1988) *katG* gen dizisiyle ortaya çıkmış ve filogenetik olarak, bitki peroksidazlarına bağlılı olduğu görülmüştür (Chelikani, 2004). Anti-verem ilaçlarında yaygın olarak kullanılan izoniazidin aktivasyonunu (INH) *Mycobacterium tuberculosis*'deki KatG'nin sağladığı ve katalaz-peroksidazları görünür hale getirdiği bulunmuştur (Zhang vd., 1992). Bu proteinin, ilaçla olan bu etkileşiminden dolayı dünyanın birçok yerinde, moleküller seviyede karakterize edilebilmesi için kristallendirme çalışmaları yapılmıştır. 1987' de yapılan *E. coli*' den HPI ve *M. tuberculosis* katalaz-peroksidaz kristallendirme çalışmaları başarısızlıkla sonuçlanmıştır. Katalaz peroksidazların kristallendirilmesi ilk olarak, halofilik archaeabacterium *Haloarcula marismortui*'nde elde edilen katalaz-peroksidazla (Yamada vd., 2001) gerçekleştirilmiş, bunu bir siyanobakteri olan *Synechococcus*'dan (Wada vd., 2002) ve gram negatif bakteri olan *Burkholderia pseudomallei* (BpKatG)'den (Carpena vd., 2002) izole edilen, katalaz-peroksidazların kristallendirilmesi takip etmiştir.

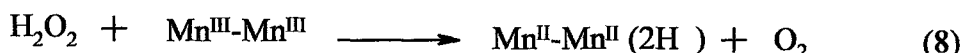
Katalaz-peroksidazların yapısı, iki dimerik altbirimin asimetrik yerleşmesinden oluşmaktadır. Katalaz-peroksidazların her altbiriminde, 20 α -heliks yapıya sahip birimlerin üç veya dört β -silindir yapısına sahip birimlerle birbirine bağlanmasıyla oluşan yapıları, tek işlevli katalazlardan oldukça farklılık göstermektedir (Carpena vd., 2002). Katalaz-peroksidazın yapısının en çok göze çarpan özelliği, aktif bölgesinde bulunan Trp'nun (BpKatG 111. aminoasit) indol halkasının ve Met'inin (BpKatG 264. aminoasit) kükürdünün, Tyr (BpKatG 238. aminoasit) halkasına orto-pozisyonundan kovalent olarak bağlanmasıdır. Bu yapı, elektron yoğunluk haritasıyla açık bir şekilde ortaya konulmuştur. Ama bu kovalent bağ beklenenden biraz daha uzun ve incedir. Tyr ile Trp arasındaki bu kovalent bağ düzlemsel olduğu için, tam bir sp₂ hibrit karakterine sahip değildir (Donald

vd., 2003). Aktif bölgede bulunan Trp, katalitik aktivite için önemlidir. Trp'inin Phe ile yeri değiştirildiğinde, KP'in katalitik aktivitesini kaybettiği gözlenmiştir (Regelsberger vd., 2000; Hillar vd., 2000; Regelsberger vd., 2001). Met²⁶⁴ ve Tyr²³⁸ için yapılan yer değiştirme çalışmalarında, katalaz aktivitesinin benzer şekilde etkilendiği, fakat peroksidaz aktivitesinin değişmediği belirtilmiştir. Bunun sonucunda da, bu üçlünün katalitik aktivite için gerekli olduğu, peroksidatik aktivite için gerekli olmadığı bulunmuştur (Donald vd., 2003; Jakopitsch vd., 2003).

1.2.3. Mangan-Katalazlar (pseudokatalaz)

Mangan-katalazlar (MK) önceleri, hem grubu içermeyenler için pseudokatalazlar olarak anılmışlardır (Kono ve Fridovich, 1983). Sonraları, yapılarına daha uygun olduğu düşünülen Mn-içeren (Allgood ve Perry, 1986), hem içermeyen (Nicholls vd., 2001), dimanganez katalaz (Antonyuk vd., 2000) olarak adlandırılmışlardır. Hem içermeyen katalazlar, hem içeren katalazlar gibi geniş bir dağılım göstermemekte ve yalnız birkaç tür bakteride bulunmaktadır. Bu tip enzimlerin doğada yaygın olarak bulunmamasının nedeninin, diğer katalzlara göre, daha az özgün aktiviteye sahip olmaları ve birçok bakteride karmaşık yapılarda bulunuyor olmalarından dolayı olduğu düşünülmektedir (Klotz ve Loewen, 2003).

Mangan-katalazların hem içeren katalazlar gibi reaksiyonları, iki adımda gerçekleşmekte ve benzer şekilde son bulmaktadır. Dimanganez grubunun okside olduğu aşamada, hem 2,2 (Mn^{II}-Mn^{II}) hem de 3,3 (Mn^{III}-Mn^{III}) hallerinin ikisi de eşit oranda bulunmaktadır. Bu durum, enzimin izole edildiğinde bu iki halde bulunmasından ortaya çıkarılmıştır. Bu indirgenme ve yükseltgenme işlemi, enzimin kararlı halde olmasına bağlı olarak geçici olmadığı belirtilmiştir. Şayet 2,2 hali H₂O₂ ile reaksiyona girerse yükseltgenme (Reaksiyon 7), 3,3 hali H₂O₂ ile reaksiyona girerse indirgenme (Reaksiyon 8) gerçekleşir.



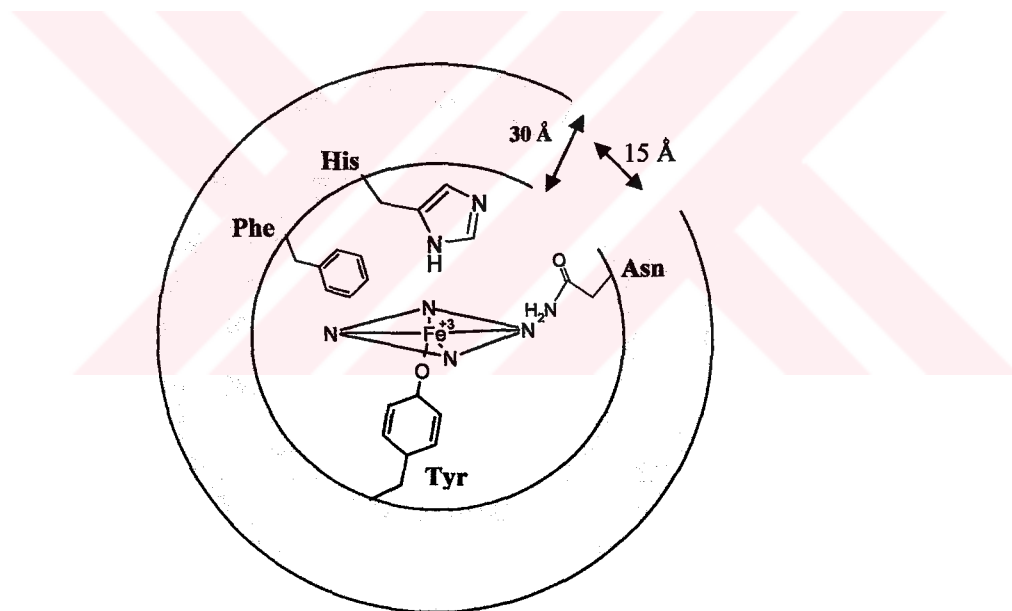
Bu reaksiyonlar hem içeren katalazların reaksiyonlarına benzeseler bile, genel olarak farklılık göstermektedirler. Yükseltgenmenin aktif bölgedeki elektronların uzaklaştırılmasıyla gerçekleştirilmesine rağmen, reaktif olan bir ara ürün oluşmamaktadır. Sonuç olarak, ikinci adım reaktif bir ara ürünün indirgenmesini içermemekte, basit bir elektron transferi ile elektronların dimanganez merkezine iletilmesiyle oksijen oluşmaktadır. Hem içeren katalazlarda iki adımda iki mol su üretilirken, MK'larda ilk adımda iki mol su üretilmemektedir.

Thermus thermophilus (TTK) (Antonyuk vd., 2000) ve *Lactobacillus plantarum* (LPK) (Barynin vd., 2001)'den elde edilen MK'in kristallerinde yapılan iki çalışma, bu enzimlerin katalitik merkezlerinde bir dimanganez grub içerdiklerini göstermektedir. Bu enzimler, bir altbiriminin yaklaşık ağırlığı 30 kDa olan homo-hekzamerik bir yapıya sahiptirler. Ayrıca, bu iki enzim C-uçlarındaki farklılıktan dolayı kendilerine özgü dörtlü-heliks yapılarına sahiptirler. Bunların dimanganez merkezlerinin mikro çevreleri benzerlik göstermektedir. Her ikisindeki Mn atomu glutamat ve histidin ile direkt koordinasyon oluşturmuştur. Bu iki enzimin aktif bölgesindeki farklılık, LPK'daki glutamatın yerini TTK'da argininin almasından kaynaklanmaktadır (Chelikani, 2004).

1.2.4. Katalazın Yapısı

Birçok farklı türde katalazın X-ray çalışmaları yapılmıştır. Katalazlar bazı farklılıklar göstermelerine rağmen genel bir yapıya sahiptirler. Sığır ciğerinden elde edilen katalazın yapısı ayrıntılı olarak açıklanmıştır (Unwin, 1975). Tek işlevli katalazlar tetramer yapıya sahiptirler. Her bir altbirim, ortasında gömülü bir hem ve yüzeylerinde uzanmış bir NADPH içerir (Bravo vd., 1997). Yalnızca bitkisel katalazlarda NADPH bulunmamaktadır (Beaumont vd., 1990). NADPH, katalitik aktivite için gerekli olmadığı, katalazı H₂O₂ substratının oksidasyonundan koruduğu belirtilmiştir (Chuan vd., 1988). Ayrıca, NADPH'in enzimin inaktif formu olan bileşik II'yi indirgeyerek aktif duruma getirdiği tahmin edilmekte (Kirkman ve Gaetani, 1984; Green, 2001;), fakat mekanizması tam olarak bilinmemektedir (Hillar vd., 1994; Olson ve Bruice, 1995). Bunun yanında katalazın bu grubundan dolayı ATP sentezinde kullanıldığı literatürlerde yer almaktadır (Villaume vd., 1988). Hem, protoporfirin halkası ve bu halkanın merkezinde bir demir (Fe) atomu içeren yapıya sahiptir. Protoporfirin halkası, dört pirolinin metan köprüleri ile birbirine bağlanmasıından oluşur (Şekil 1). Bu demir atomu ferrous (Fe²⁺) veya ferik (Fe³⁺) okside

formlarında olabilir. Her bir altbirimi 30 Å uzunluğunda ve 15 Å genişliğinde hini şeklinde bir substrat giriş kanalına sahiptir (Şekil 2) (Murthy, 1981; Belal vd., 1989). Bu kanalın giriş kısmında hidrofilik aminoasit, hem merkezine doğru daralan kısmında ise hidrofobik aminoasit birimleri yer almaktadır. Bu dar kanal, H₂O₂ den daha büyük moleküllerin aktif bölgeye girişlerini önlemektedir (Belal, 1989). Heme yakın ve uzak olan bölgeler oldukça farklı çevrelere sahiptirler. Heme yakın olan bölge Val¹⁴⁵, His²¹⁷, Pro³³⁵, Arg³⁵³, Ala³⁵⁶ ve Tyr³⁵⁷ aminoasitleri ile çevrelenmiştir (Reid vd., 1981; Fita vd. 1985). Protoporfirinin dört azotu ile dörtlü koordinasyonunu oluşturan merkezdeki demir atomu 5. koordinasyonunu tirosinin (Tyr³⁵⁷) fenolik grubunun oksijeniyle gerçekleştirir. Tyr ile Fe arasındaki bağın uzunluğu 1.9 Å civarındadır. Fe tarafından elektronlar güçlü olarak çekileceği için, fenolik oksijen protonunu bırakır. Arg³⁵³, tirosin fenolunun pKa değerini düşürerek Tyr³⁵⁷ iyonlaşmasını kolaylaştırır (iki aminoasit uçları arasındaki mesafe 3.5 Å civarındadır).



Şekil 2. Katalazın aktif bölgesinin şematik gösterimi (Belal vd., 1989).

Heme yakın bogenin çok sınırlanmış olmasına rağmen kanalın yüzey bölgeleri çok az sınırlanmıştır. Heme yakın bölgedeki aminoasitler β-silindir bir yapı oluştururlar. Bu bölge, hem pirol halkalardan bir tanesine paralel olarak yerleşmiş fenilalanin (Phe¹⁶⁰), Histidin (His⁷⁴) ve farklı bir pirol halkasıyla hidrofobik etkileşen Valin (Val¹⁷³) birimi içermektedir (Reid vd., 1981; Fita ve Rossmann, 1985). Bu yapılanma,

Arg¹¹¹ ve Thr¹¹⁴ birbirleriyle etkileşmesiyle daha kararlı bir hal oluşturmaktır ve bu da enzimatik aktivite ile direkt ilişkili olmaktadır (Fita ve Rossmann, 1985).

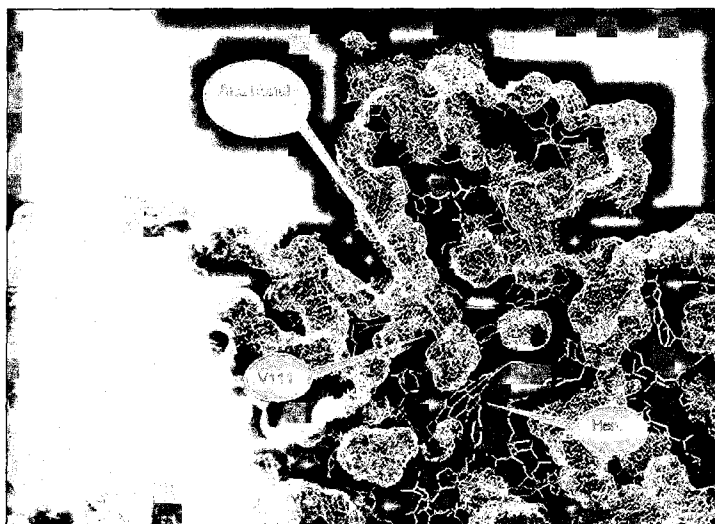
Son yıllarda, CatF (Carpeta vd., 2003) ve HPII varyantlarından (Melik-Adamyan vd., 2001) elde edilen katalazlarda yapılan yapısal çalışmalar, katalazlardaki kanalların içyüzlerinin mimarisinin önemini ortaya koymaktadır. Katalazlarda, hem içeren aktif bölge ile dış yüzey arasında bağlantıyı sağlayan üç kanal mevcuttur (Şekil 3). Ana kanal, H₂O₂'in ilk giriş yaptığı ve hem düzlemine dik olarak yaklaşan kanal olarak bilinmektedir (Amara vd., 2001; Kalko vd., 2001). İkinci kanal, hem düzlemine yakındır. Bu kanal tali veya yakın kanal olarak adlandırılmıştır. HPIII'de yakın kanalın rolünü ispatlayacak çok sayıda kanıt mevcuttur. Bu kanalın içinde yerleşmiş Glu-Arg iyonik çiftinden Arg²⁶⁰, in uzaklaştırılmasıyla büyüyen kanalın aktiviteyi 3 kat artttığı gözlenmiştir. Üçüncü kanalın, hem ile merkezi kavite arasındaki dengeyi muhafaza ettiği düşünülmektedir. Fakat üçüncü kanalın bu rolünü ispatlayan bir kanıt mevcut değildir (Melik-Adamyan vd., 2001).



Şekil 3. Aktif bölgede bulunan kanalın yapısı (Evans, 1993; Kleywegt vd., 1994).

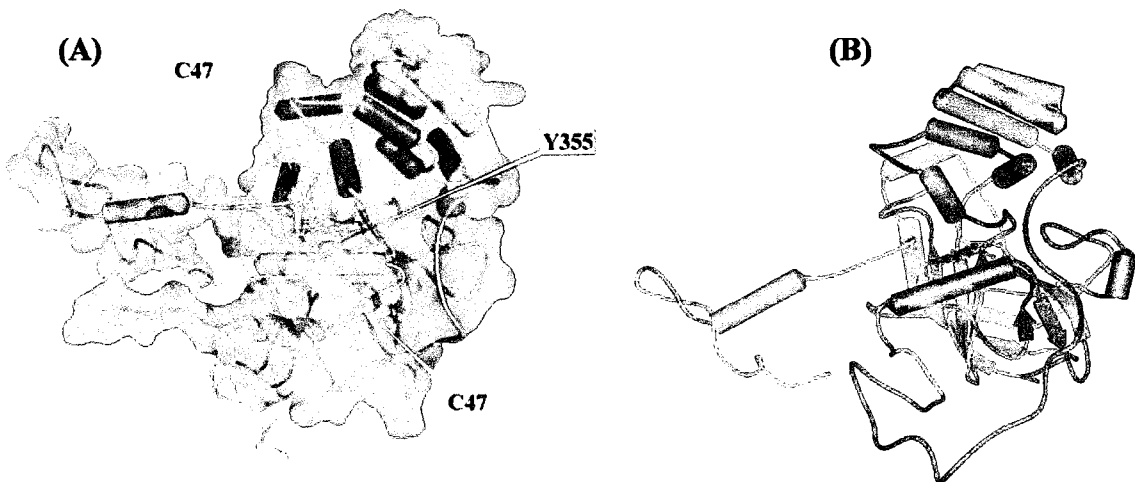
Hamur mayasından (SCC-A) elde edilen katalaz A'nın kanal boyunun yaklaşık 26 Å uzunluğunda, girişinin çapı 17 Å ve en dar kısmının çapı 4.5 Å civarında olduğu belirtilmiştir. Bu kanaldan taşınması gereken substratlar hem ve histidinle etkileşmeden Val¹¹¹ tarafından korunmaktadır (Şekil 4). Ayrıca, Val 111 tarafından biçimlenmiş bu

kanalın girişi hem ile çözücü faz arasındaki etkileşimi kontrol etmektedir (Berhet vd., 1997; Zamocky vd., 1997; Zamocky ve Koller, 1999).



Şekil 4. Hamur mayasından elde edilen katalaz A'nın kanal yapısı (Koller, 2005).

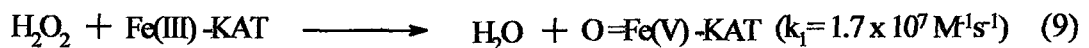
Her bir altbirim dört bölge içermektedir. Bu bölgeler; N-terminal kolu, anti paralel yerleşmiş 8 tane β -silindir yapı, diğer iki bölgeyi saran sargılama bölgesi ve α -heliks bölgesi olarak adlandırılmaktadır (Şekil 5). Katalazlarda bu N-terminal bölgesi oldukça benzerlik göstermekte ve ilk katalitik histidinin de içinde bulunduğu 48-50 amino asit birimi içermektedir. Bu bölge bir α -heliks yapı ve hem ile etkileşimi sağlayan önemli aminoasit birimlerinden meydana gelmektedir. β -silindir bölgesi, dört β -birimi ile bunu izleyen üç α -heliks ve sonra tekrar dört tane β -biriminden oluşan bir yapıya sahiptir. İlk dört β -birimi hem cebinin uzak bölgesinin aminoasit birimlerini içermektedir. Diğer dört β -birimi, katalazların kofaktörü gibi olan NADPH'ın bağlandığı bölgeyi oluşturmaktadır. Bu bölge yaklaşık 264 amino asitten oluşur ve katalazın altbirimleri için oldukça önemlidir. Sargılama bölgesi heliks ile β -silindir bölgelerine bağlanmış durumdadır. Bu bölge, hemin yakın çevresini oluşturan ve ikincil yapının oluşmasında rol oynayan aminoasitlerinde yer aldığı, α -heliks yapıya sahip 110 aminoasit biriminden meydana gelmektedir. α -heliks bölgesi ise β -silindir bölgesinde yer alan üç heliks birimiyle etkileşen dört α -heliks birimden oluşmaktadır. α -heliks bölgesi yaklaşık 60 aminoasit birimi içermektedir (Bravo vd., 1997).



Şekil 5. Altbirim bölgelerinin şematik gösterimi (Sarı, N-terminal ucu; mavi, b-silindr bölgесini; beyaz, sargılama bölgесini; pembe, hem birimini; kırmızı, ikinci altbirimin N-terminal ucunu göstermektedir) (Koller, 2005).

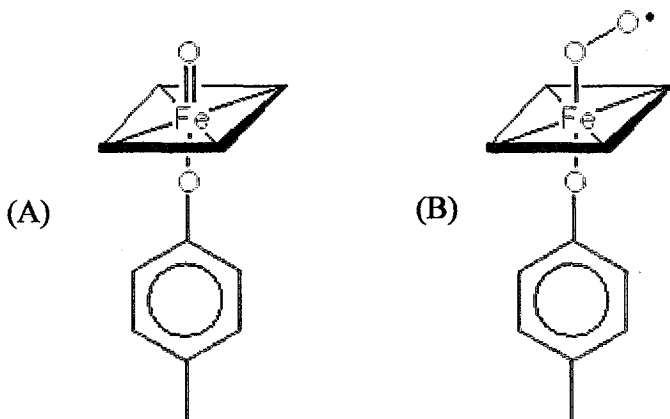
1.2.5. Katalazların Reaksiyon Mekanizması

Katalaz iki farklı aktivite gösteren bir enzimdir (Loewen, 1997; Ahmad 2001). Bunlardan bir tanesi H_2O_2 ' in bozunmasını gerçekleştiren katalitik aktivite, diğer ise, peroksidatif aktivitedir (Reaksiyon 2). Katalitik aktivite iki basamakta gerçekleşmektedir (Reaksiyon 9-10).



Bu reaksiyonda, Fe(III)-KAT katalazın doğal formunu, O=Fe(V)-KAT bileşik-I formunu (Şekil 6A) göstermektedir (Chance vd., 1979; Ahmad, 2001). Peroksit hem kavitesine girerken şiddetli sterik etkiden dolayı engellenir ve His⁷⁴ ve Asn¹⁴⁷ etkileşmek zorunda kalır (Fita vd., 1985). Bu katalitik reaksiyonun ilk adımını oluşturmaktadır. His⁷⁴ tarafından H_2O_2 'in bir oksijeninin protonu diğerine transfer edilir ve O-O bağı polarize olarak uzar. Polarize olan peroksit oksijeni, hemin merkezinde bulunan Fe atomu ile koordinasyon sağlar (Şekil 6B). Bu koordinasyondan su molekülünün ayrılmasınayla

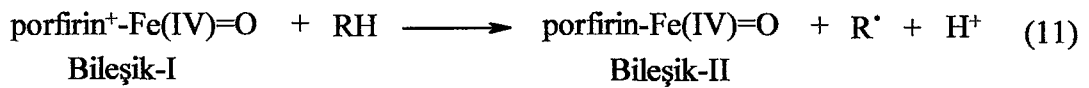
Fe(V)=O formundaki hem radikal oluşur. Oluşan radikal, hem halkasından bir elektron transfer edilmesiyle çabuk bozulur.



Şekil 6. A) Bileşik-I, B) Demir ile koordinasyon oluşturmuş O-O bağı

İkinci aşamada, Fe(V)=O 'dan iki elektronun ikinci H_2O_2 'e transfer edilmesiyle katalazın doğal hali olan Fe(III)-KAT , diğer su molekülü ve bir mol moleküler oksijen oluşur. Fe'in 5. koordinasyonunda bulunan Tyr^{357} fenolat ligandi, Fe(III) 'ün Fe(V) yükseltgenmesinde hem halkasından bir elektronun taşınmasına yardımcı olarak hemin reaktifliğini artırmaktadır (Fita vd., 1985). His^{74} ve Asn^{147} ile araürünler arasındaki bu etkileşimin katalazın verimini artırmak için olabileceği düşünülmektedir (Darr vd., 1986). Bu mekanizma, 3-amino-1,2,4-triazolün (3-ATA) katalazı inhibe etmesiyle anlaşılmıştır. 3-ATA His^{74} ile etkileşerek substratin bağlanması engelleyerek katalaz enzimini inhibe etmektedir (Brown-Peterson ve Salin, 1993; Nadler vd., 1986; Darr vd., 1986). Bu inhibitör, bileşik-I üzerinde etkilidir. Bu nedenle 3-ATA, yalnızca H_2O_2 varlığında katalazları inhibe edebilmektedir (Chance vd., 1979; Terzenbach ve Blaut 1998; Ahmad, 2001).

Katalazların H_2O_2 ile olan reaksiyonundan oluşan Fe(IV)-porfirin katyon radikalının (bileşik-I), alifatik alkoller gibi tek elektron donörlü bileşiklerle indirgenmesinden inaktif şekli olan bileşik-II meydana gelmektedir. Bileşik-II genellikle katalazların peroksidatif aktivitesi sonucunda oluşmaktadır. Fakat yüksek H_2O_2 konsantrasyonlarında ($>0,1 \text{ M}$) bileşik-I, bileşik-II'ye dönüşerek katalazlar inhibe olmaktadır (Dinçer, 2000). Katalaz aktivitesini, tekrar bileşik-II'nin, başka tek elektron donörlü bileşikle indirgenmesiyle kazanır (Reaksiyon 12) (Kettle ve Winterbourn, 2001; Rovira ve Fita, 2003).



Ayrıca katalazlar *in vitro* koşullarda nitriti (NO_2^-) nitrata (NO_3^-) yükseltgenmesini de katalizleyebilir (Chance vd., 1979; Huang vd., 2004).

1.3. Katalazın Kullanıldığı Endüstri Alanları

Günümüzde birçok endüstri kolunda, klasik kimyasal yöntemlerin yerine enzim içeren biyolojik sistemler kullanılmaktadır. Biyoteknolojinin de katkısıyla bu işlemler hem daha ılımlı şartlarda gerçekleştirilmekte, hem de oluşan yan ürünlerin çevreye verdikleri zararlar en aza indirgenmektedir. KAT; gıda, süt, tekstil, kağıt gibi ağartma işlemlerinin yapıldığı endüstri alanlarında, hidrojen peroksidin ortamdan uzaklaştırılması için kullanılmaktadır (Dhaese, 1996). Özellikle bu endüstri alanlarında son yıllarda H_2O_2 'nın ağartıcı olarak kullanımının artması, üretimin bazı aşamalarında problemlere sebep olabilmektedir (Weck, 1991). Örneğin, tekstil endüstrisinde kumaşların ağartılmasında kullanılan H_2O_2 , boyama işlemleri sırasında engel teşkil etmektedir (Weck, 1991; Paar vd., 2001). H_2O_2 ortamdan uzaklaştırılması için ya çok miktarda suyun kullanılmasına sebep olan bol su ile yıkamak, ya da atık suda yüksek tuz konsantrasyonuna sebep olan sodyum bisülfit veya hidrosülfit kullanılarak H_2O_2 'nın indirgenmesi yöntemleri yaygın olarak kullanılmaktadır (Hillenbrand, 1999 ;Fruhwirth vd., 2002). Son yıllarda, bütün bu işlemler yerine KAT kullanılarak ağartmadan sonra boyama işlemine geçilmektedir (Tzanov vd., 2001). Bu ağartma işlemleri, yüksek sıcaklıklarda ($> 60^\circ\text{C}$) ve yüksek pH'larda ($> \text{pH } 9$) gerçekleştiğinden dolayı yüksek pH ve sıcaklıklarda kararlı katalazların araştırılması oldukça ilgi çekmektedir (Thompson vd., 2003).

Süt endüstrisinin bazı alanlarında mikroorganizma kontaminasyonunu önlemek amacıyla süte katılmasına izin verilen %0,05-%0,25 oranındaki hidrojen peroksidin, kullanım öncesi giderilmesi büyük önem taşımaktadır. Hidrojen peroksidin bozundurularak ortamdan uzaklaştırılması yöntemlerinden biri, katalazın kullanıldığı enzimatik metottur. Katalaz esaslı yöntemlerde, hidrojen peroksitin oksijen ve suya dönüştürülerek insan

sağlığına verebileceği olumsuz etkiler ortadan kaldırılır (İnal, 1990; Akertek ve Tarhan, 1995; Akgöl ve Dinçkaya, 1999; Görenek, 1999; Yıldız, 1999).

Hidrojen peroksidin analizi, tıp dışındaki bilimsel araştırmaların yürütülmESİ açısından da büyük önem taşımaktadır. Özellikle akseptör olarak oksijeni kullanan oksidoredüktaz sınıfı enzimlerin katalizlediği pek çok tepkimede, ürün olarak hidrojen peroksit açığa çıkmaktadır. Söz konusu enzimlerin katalizlediği tepkimelerde oluşan hidrojen peroksit miktarının çeşitli yöntemlerle belirlenmesiyle, gerçekte tayini istenen maddenin miktarına geçilmektedir. Böylece katalazın biyosensörleriyle, hem bilimsel çalışmalarla yardımcı olunmakta, hem de gıda sanayinden farmakolojiye, biyoteknolojik çalışmalarдан çevre analizlerine kadar pek çok alanda hidrojen peroksidin ve ürünlerinin tayinleri yapılabilmektedir (Popescu vd., 1995; Akgöl ve Dinçkaya, 1999).

Enzimlerin diğer kullanım alanlarında olduğu gibi endüstriyel alanlarda da immobilize edildikten sonra kullanımı özellikle ekonomi ve proses kontrolü gibi konularda sağladıkları avantajlar nedeniyle tercih edilmektedir. İmmobilize katalazın, hidrojen peroksit bozundurulması işlemleri yanısıra, glukoz oksidazla birlikte immobilizasyonuya yumurta akından ve bazı sıvı gıdalardan glukozun uzaklaştırılması ile glukonik asit üretimi gibi yöntemlerde de kullanımı söz konusudur (Tarhan ve Uslan, 1990; Akertek ve Tarhan, 1995).

Ayrıca, katalazın endüstriyel işlemlerde kullanılmasıyla enerjiden %48, kimyasal kullanımında %83, su kullanımında % 50 ve proses zamanında %33 oranlarında tasarruf sağlanmaktadır. İşlem sonrası oluşan atık nötral olduğu için çevreye zararı en aza indirgenmiş olmaktadır (Eberhardt vd., 2004).

1.4. Oksijen Serbest Radikalleri

Anaerobik olarak faaliyet gösteren bazı mikroorganizma dışında, bütün yaşam biçimlerinde oksijene ihtiyaç vardır ve oksijen yokluğu hızla ölümeye götürür. Bununla beraber, bu esas element aynı zamanda toksiktir ve bir atmosfer basıncında bir süre için saf oksijene maruz kalınması hücresel zararlara ve sonunda ölümne neden olur. Bu toksisite moleküller oksijenden dolayı değil, normal metabolizmada küçük miktarlarda bulunan yüksek reaktifliği olan serbest radikallerden kaynaklanır. Normal durumlarda, zararlı radikallerin hücrede yok edilme oranı, düzenlenme oranından daha büyütür. Oksijen reaktif şekillerinin üretim oranı, doğal savunma mekanizmaları tarafından yok edilme

oranından yüksek olduğu zaman toksisite oluşur ve hücresel hasarlar meydana gelir (Storz ve Imlay 1999; Dinçer 2000). Oksijen radikalleri, membran lipidlerine, proteinlere ve DNA'ya zarar vermektedir (Fridovich, 1986; Imlay, 1988).

Oksijen serbest radikallerinin (Tablo 1) bir veya daha fazla çiftleşmemiş elektronu vardır. Çoğunluğu kısa ömürlüdür ve bir kaçı kararlı olsa da büyük çoğunluğunun reaksiyona girme isteği fazladır (Halliwell ve Gutteridge, 1984; Halliwell ve Gutteridge, 1990; Pürçüklü, 1996; Dündar ve Aslan, 2000).

Tablo 1. Reaktif Oksijen Türleri

Türler	Kimyasal formülü	Özellikleri
Süperoksit anyonu	O_2^-	İyi indirgen, zayıf yükseltgen.
Hidroksil radikalı	HO^-	Son derece reaktif ama difüzyon hızı düşük.
Perhidroksil radikalı	HO_2^-	Kuvvetli yükseltgen, lipit çözünürlüğü süperokssitten daha yüksek, lipit peroksidasyonunu başlatır.
Peroksil radikalı	ROO^-	HO^- 'a göre düşük oksitleme gücü, yüksek difüzlenme hızı.
Hidrojen peroksit	H_2O_2	Yükseltgen, organik substratlarla reaksiyon yavaş, yüksek difüzyon kapasitesi.
R-oksil, Alkoksil R-hidroperoksit	RO^- $ROOH$	Oksijen merkezli organik radikal (ör; lipid) Organik hidroperoksit (örneğin; lipid-tiamin-OH)
Singlet moleküler oksijen	${}^1\Delta gO_2$ (O_2^* veya 1O_2)	Birinci uyarılmış hal, temel seviyeden (triplet) 22 kcal/mol yukarıdaki hali, O_2 ; kırmızı (dimol) infrared (monomol) fotoemisyon
Triplet karbonil	$3 R^I R^{II} CO$ ($R^I R^{II} CO^*$)	Karbonil uyarılmış hali; mavi-yeşil fotoemisyon (ara ürün olarak dioksan oluşturmaktadır)

1.5. Biyokimyasal Antioksidan Olarak Katalaz

Biyolojik sistemlerde antioksidanlar, genellikle non-enzimatik, enzimatik ve yardımcı enzimler olarak sınıflandırılabilir (Tablo 2). Non-enzimatik antioksidanlardan α -tokoferol (vitamin E) yağda çözünen önemli antioksidanlardır. Askorbik asit (vitamin C) glutatyonla birlikte su fazında önemli bir antioksidandır (Chen vd., 1988; Edge vd., 1997; Çetin, 2000; Yurdakul, 2005).

Tablo 2. Biyolojik Sistemlerdeki Antioksidanlar

Sistem	Özellikleri
<u>Non-enzimatik</u>	
A-Tokoferol (vitamin E)	Membran bağlı reseptör, kromonoksil radikalden jenerasyon.
Askorbik asit (vitamin C)	Suda çözünebilir
Flavonoidler	Bitki antioksidanı
Kimyasal antioksidanlar	Gıda katkı maddeleri örn; BHA (bütilenmiş hidroksianizol) BHT (bütilenmiş hidrotoluen)
β -Karojen (vitamin A)	Singlet oksijen sönmeyen
Ürik asit	Singlet oksijen sönmeyen, radikal uzaklaştırıcı
Plasma proteinleri	Ör, söropiazmin
<u>Enzimatik</u>	
Süperoksit dismutaz	CuZn enzim, Mn enzim, selenoenzim, non-Se enzim
GSH peroksidazlar	Bazı GSH transferazlar Örn; sitozol ve mitokondrial matriks
Katalaz	Hem içeren enzim, peroksizomal matriksde bulunur
<u>Yardımcı Enzimler</u>	
NADPH-kinon oksidoredüktaz	İki elektron redüksiyonu epoksit hidrolaz
Konjugasyon enzimleri	UDP-Glukronil transferaz, sülfotransferaz, GSH-Transferaz
GSSG-Redüktaz	Glukoz 6 fosfat dehidrogenaz, 6-fosfoglukanolakton Dehidrogenaz
GSH sentez enzimleri	İzositrat dehidrojenaz, Malat enzim NADPH bağımlı
Transport sistemler	GSSG export

Enzimatik antioksidanları inceleyecek olursak; katalaz, glutatyon peroksidaz, superoksit dismutaz ve hemoprotein peroksidazlar gibi hidroperoksidazlar bu gruba girer. Bu antioksidan sistemler doğada yaygın olarak dağılmışlardır ve biyolojik sistemlerde reaktif oksijen metabolitlerinin verdiği zararı önlemede görev alırlar (Meister ve Anderson, 1983; Halliwell vd., 1992; Matés, 1999; Dündar ve Aslan; 2000; Yurdakul, 2005).

Katalaz ilk olarak sığır karaciğerinden daha sonra da kandan ve diğer kaynaklardan izole edilmiş önemli antioksidanlardan biridir. Hücre organellerinde bulunan katalaz spesifik peroksidaz rolünü oynamaktadır. H_2O_2 'nin H_2O ve O_2 verecek şekilde parçalanmasını katalize ederken, H donörlerini örneğin, metanol, etanol, formik asit ve fenoller 1 mol perokside harcayarak katalizler (Çetin, 2000).

1.6. Katalaz Aktivite Ölçüm Yöntemleri

Katalaz aktivitesi, hem H_2O_2 'nin bozunması hem de O_2 'nin serbest kalması ile ölçülebilir. Biyolojik materyal için seçilen metod, UV spektrofotometrik metottur. Titrimetrik metodlar karşılaştırmalı çalışmalar için uygundur.

1.6.1. UV - Spektrofotometrik Yöntem

Metodun uygulama alanı biyokimya, klinik biyokimya ve hematolojidir. Ultraviyole alanda, dalga boyu azaldıkça H_2O_2 devamlı olarak absorpsiyonda bir artış gösterir. H_2O_2 'nin azalışı, 240 nm'de izlenir. Deney süresince enzimin inhibe olmasını veya O_2 'nin açığa çıkmasıyla küvette oluşan baloncukları önlemek için bağıl olarak düşük konsantrasyonlarda (10-20 mM) H_2O_2 kullanılması gereklidir. Substrat konsantrasyonu ile bozunma hızı arasında doğrusal bir oran olduğundan dolayı H_2O_2 konsantrasyonu önem taşımaktadır. Sıcaklık üzerine deney koşullarının bağımlılığı düşük olduğu için ($Q_{10} < 1,1$), ölçümler oda sıcaklığında yürütülebilir. pH aktivite grafiği V_o 'a bağlı olarak geniş bir pH aralığında (pH 6,8-7,5) olduğundan, ölçümler pH 7,0'da yapılmaktadır (Aebi, 1983; Afsar ve Demirata, 1993; Dinçer, 2000).

1.6.2. Titrimetrik Yöntem

Katalaz aktivitesinin titrasyon ile tayini, yüksek UV absorpsiyon, pigmentasyon veya çökme nedeni ile spektrofotometrik metodun kullanılmasının uygun olmadığı durumlarda kullanılır. Düşük katalaz aktiviteli doku homojenatlarında (örneğin beyin, fibroblastlar ve tümörler) süt, bitki ve bakteri orijinli konsantre ekstratlar için bu metod uygundur. H_2O_2 'nin bozunması, karışımda örneğin permanganat ile geri titrasyon yapıldıktan sonra mevcut peroksidin ölçümü prensibine dayanır. 30 s'den fazla inkübasyon zamanlı titrimetrik metodlar sadece karşılaştırmalı sonuçlar verir. İyi düzeyde eğrilerin çizilmesi, çok sayıda ölçüm alınmasına ve zamana gereksinim duyar. Perborat kararlı bir substrat olduğundan rutin analizler için uygun olup, enzimin inhibisyonu yavaşlamaktadır. H_2O_2 ve perborat ile elde edilen sonuçlar aynı öneme sahiptir. Pratikte Feinstein metodu uygun olup, deney koşulları Bonnichsen prosedürüne uygun olarak düzenlenmiştir (Aebi, 1983).

1.6.3. Diğer Tayin Yöntemleri

Yaygın olarak kullanılan katalaz tayin yöntemleri Tablo 3'de özetlemiştir.

Tablo 3.Katalaz aktivite ölçüm yöntemleri (Aebi, 1983).

Metot	Kaynaklar	Materyal
A. H_2O_2 uzaklaştırılmasının ölçümü		
1. Titrimetik Yöntemler		
a) İyodometrik	Bonnichsen vd. (1947)	Doku, kan
b) Permanganometrik	Feinstein (1949)	Doku, kan
2. Spektrofotometrik Yöntem (E_{240})	Takahara vd. (1960) Bergmeyer (1955) Werner ve Heider (1963)	Doku, kan Doku Kan
3. Fotometrik Yöntem ($E_{405}-E_{415}$)	Hübl ve Bretschneider (1964) Pilz ve Johann (1965) Warburg ve Krippahl (1963)	Doku, kan Kan Doku
4. Flerometrik Yöntem		
a) Scopoletin (Florosansın azalması)	Perschke ve Broda (1061) Aebi (1963)	Sulu çözeltiler
b) Diasetildiklorofloreskin	Keston ve Brandt (1965)	
B. O_2 üretiminin belirlenmesi		
1. Polarografi Mikroorganizma	Jacop (1964)	
2. Oksijen Elektrodu	Ogata (1964) RØrth and Jensen (1967)	Kan Kan
3. Manometrik Yöntem		
a) van Slyke aletleriyle	Kirk (1963)	Kan ve Doku
b) Filtre kağıdı ile	Gagnon vd. (1959)	Kan ve Doku
C. İmmuno çöktürme (anti-katalaz ile)	Higashi vd. (1961) Ben-Yoseph ve Shapira (1973)	Kan ve Doku
D. Isı üretiminin ölçümü	Landahl (1953)	Kan

1.7. Katalaz Aktivite Birimleri

Bergmeyer Birimi: Bir birim H_2O_2 'nin herhangi bir konsantrasyonunda (örneğin 10 mM) 25 °C'de ve 100 s'de peroksit oksijeninin yarısını açığa çıkarılan enzim miktarıdır. Bu birim birinci dereceden reaksiyonun yarı ömrü τ ile bağlantılıdır (Dinçer, 2000).

$$\tau = \frac{\ln 2}{k} = \frac{0.693}{k} \quad (16)$$

Gözlenen yarı ömür zamanı ($\tau_{gözlenen}$) ve enzim aktivitesi ($k_{gözlenen}$) arasındaki bağıntı:

$$1 \text{ ünite} = \frac{100}{\tau_{gözlenen}} = \frac{k_{gözlenen}}{6.93 \times 10^{-3}} \quad (17)$$

k değerlerini ve ünityeyi Bergmeyer'e çevirirsek:

$$\text{Bergmeyer'e göre ünite} = \frac{k}{6.93 \times 10^{-3}} \quad (18)$$

Uluslararası Ünite: Bir Uluslararası birim 25 °C'de dakikada 1 $\mu\text{mol H}_2\text{O}_2$ 'yi dönüşüme uğratınan enzim miktarıdır. Burada özellikle H_2O_2 konsantrasyonu önem taşımaktadır. Bu amaç için 12,5 ve 5,9 mM önerilmiştir. Reaksiyon hızı ile H_2O_2 konsantrasyonu arasında direkt bir ilişki olduğu için çevirme faktörü kullanılan H_2O_2 konsantrasyonuna bağlıdır (Gonçalves vd., 1999; Akgöl vd., 2001).

1.8. Termofilik Mikroorganizmalar

Ekstrem çevrelerde yaşayan mikroorganizmalar, diğerlerinin büyüyemediği veya çok az büyümeye gösterekleri şartlarda büyümeye kapasitesine sahip olduklarıdan, çevre etkenleri ile mikrobiyal hayat arasındaki ilişkilerin araştırılmasında önemli bir potansiyel oluştururlar.

Dünya nüfus artışına, sanayi ve endüstri gelişimine bağlı olarak, çevre giderek kirlenmeye ve dünyadaki doğal şartlar ekstrem şartlara doğru kaymaktadır. Dolayısıyla insanlık, son yıllarda ekstrem durumlardaki hayat şartlarının araştırılması yolunda yoğun çalışmalara girmektedir.

Termofilik bakterilerin ilk izole edilişinden bu yana yaklaşıklık olarak 100 seneden fazla bir zaman geçmiştir (Miquel, 1888). O yillardan beri çok sayıda spor oluşturabilen *Bacillus* ve *Clostridium* cinslerine ait termofilik bakteri türleri ortaya çıkarılmış ve özellikleri belirlenmiştir. Üzerinde en çok çalışma yapılan termofilik bakteri türü *Bacillus stearothermophilus* olup, bu türün çok sayıda farklı suyu izole edilmiş ve bu suşların birçok özelliği belirlenmiştir. Ancak elde edilen bu bakterilerin hepsinin genellikle optimum

olarak yaşayabildikleri sıcaklık 60 °C'dir. Bununla birlikte yapılan çok az sayıda termofilik bakteri türünün 75 °C'nin üzerindeki sıcaklıklarda yaşayabildiği bilinmektedir (Guagliardi vd., 1996).

Termofilik organizmaları da içine alan ekstremofilik organizmalar yüksek sıcaklık, aşırı pH, yüksek tuz konsantrasyonlu ve yüksek basınçlı ortamlarda yaşamaya uyum sağlamışlardır. Bu organizmaların, çeşitli endüstriyel işlemlerde etkin olarak kullanılan aşırı şartlarda bile görev yapabilen özel biyokatalizörleri yani enzimleri üretikleri bilinmektedir. Bu enzimler son zamanlarda endüstride kullanılan ve kirlenmeye neden olan bazı kimyasalların yerine kullanılabilmektedirler. Bu endüstrilerin en göze çarpanları kağıt ve kağıt hamuru endüstrileridir. Ayrıca termofilik enzimlerin yoğun bir şekilde kullanılmaya başlandığı diğer bir alan ise besin endüstrisidir (Aguilar, 1996). Endüstride çoğu enzimatik ve mikrobiyolojik işlemlerin yüksek sıcaklıklarda yapılması önemli faydalar sağlar. Böylece yüksek sıcaklıkta işlemin kararlı olmayan bileşikler tarafından engellenmesi önlenmiş olur. Yüksek sıcaklığın başlıca avantajları, daha yüksek reaksiyon hızı, çoğu kimyasalın daha yüksek oranda çözünebilmesi, akıcılığın ve difüzyon hızlarının yüksek olmasıdır (Kristjansson, 1989).

Bakteriler yaşayabildikleri sıcaklık aralığına göre sakrofiller, mezofiller ve termofiller olmak üzere üç gruba ayrırlar. Sakrofiller -10 °C'ye kadar olan sıcaklıklarda yaşayabilirler ancak bunların optimum olarak büyüyebildikleri sıcaklıklar 15 °C civarındadır. Mezofiller normal ortam sıcaklığında (20-45 °C) büyüyebilirler ve insanlar için patojen olan mikroorganizmalar bu gruba girerler. Termofiller ise 45 °C'nin üzerindeki sıcaklıklarda ve hatta kaynar sularda bile yaşayabilirler (Brock, 1985).

Dünya üzerinde yaşayan bütün bakterilerin atalarının termofilik bakteriler olduğu öne sürülmüştür (Madigan vd., 2000). Bu görüşün dayandığı nokta şu anda dünya üzerinde yaşayan termofilik bakterilerin mezofil ortamlara kolay bir şekilde adapte olabilmesidir. Bu görüşlerde göz önüne alınarak termofiller temelde ikiye ayrılırlar. Atasal termofiller (örneğin, *Thermotoga*, *Aquifex*), var oldukları günden bugüne kadar devamlı olarak termofilik olarak yaşamaktadırlar ve hiçbir şekilde mezofilik ortamlara adapte olamazlar. Sonradan termofilik olanlar (örneğin, *Bacillus* ve *Clostridium*), mezofiller ile devamlı ilişki halindedir ve bu grupta bulunan mezofilik türler değişerek tekrar termofilik özellik kazanabilirler. Bu türlerde termofilik ortamlara tekrar adaptasyon söz konusu olduğundan bunlar üzerinde, termofilliğin moleküller temelleri hakkında çeşitli çalışmalar yapılmaktadır.

Termofilik bakteri suşlarının optimum büyüyebilme sıcaklıklarının 55 °C'den 105 °C'nin üstüne kadar olan sıcaklıklara kadar değiştiği bilinmektedir. Bu şekilde çok yüksek sıcaklıklarda yaşayan termofilik mikroorganizmalar aşırı termofiller veya çok aşırı termofiller olarak adlandırılmaktadır ve bu organizmaların optimum büyümeye sıcaklıkları 80 °C'nin üzerinde olduğu bilinmektedir. Termofilik bakteriler tabii olarak kaplıcalarda, tropik topraklarda, gübre yığınlarında, gübreyi oluşturan dışkılarda, çöplerde vb. yerlerde bulunurlar.

45 °C'nin üstüne çıkıldığında mikrobiyal türlerin sayısı önemli bir şekilde düşer fakat bütün organizmaların yaşayabildikleri üst sıcaklık limitleri halen tam anlamıyla bilinmemektedir. Son zamanlarda birkaç tane mikroorganizmanın, sıcaklığı çok yüksek olan kaplıca sularında ve deniz diplerindeki sıcaklığı 100 °C'nin üzerinde olan alanlarda yaşadığı bilinmektedir (Kristjansson ve Stetter, 1992). Denizlerin alt kısımlarında sıcak su alanlarının olduğu fakat bu alanların mikrobiyolojisi hakkında fazla bilginin olmadığı bilinmektedir. 115 °C'ye kadar yaşayabilen kültüre alınmış bakteriler bulunmaktadır. Ancak hidrotermal çevrelerde 135 °C'ye kadar yaşayabilen organizmaların olduğunu gösteren deliller bulunmaktadır. Bu sıcaklık sınırı hayatın olabileceği üst sıcaklık limitini göstermektedir. Çünkü bu sıcaklıkta amino asitler büyük oranda *L* formundan *D* formuna dönerler. 70 °C'nin üzerindeki sıcaklıklarda yaşayan tür sayısı az olmasına rağmen, filogenetik olarak farklı çok sayıda kategorideki prokaryotların bu sıcaklıklarda yaşadığı bilinmektedir (Kristjansson ve Stetter, 1992).

Termofilik organizmalar, biyoteknoloji açısından büyük faydalar sağlamaktadır (Brock, 1986). Termofillerin biyoteknolojide kullanıldığı bazı alanlar şunlardır (Tablo 4): Termofilik organizmalar kullanılarak bazı yakıt ve kimyasalların üretiminin mümkün olması, fermentasyon yapabilen bu organizmalar kullanılarak genetik manipülasyonlarının yapılabilmesi ve termofil enzimlerin potansiyel olarak endüstride kullanılmasıdır. Biyoteknoloji açısından termofilik organizmaların en önemli özellikleri, biyokimyasal reaksiyonları normal organizmalardan çok daha yüksek sıcaklıklarda katalizleyebilen enzimleri üretmeleridir. Buna ilave olarak, termofillerden elde edilen enzimler, normal sıcaklıklarda diğer enzimlere göre daha dayanıklıdır ve bu yüzden bunlardan elde edilen ürünler daha uzun ömürlüdürler (Brock, 1986).

Termofilik organizmaların, çeşitli endüstriyel işlemlerin meydana getirilmesinde etkin olarak kullanılan ekstrem şartlarda fonksiyonel olabilen özel biyokatalizörleri yani enzimleri üretikleri bilinmektedir. Bu enzimlerden bazıları son zamanlarda saflaştırılmış

ve başarılı bir şekilde klonlanıp mezofilik konaklarda ekspres edilmiştir. Bu enzimlere örnek olarak, DNA polimerazlar, ekstrasellüler-polimer-parçalayan enzimler (amilazlar, pullulanazlar, sıklodekstrin glikozil transferazlar, selülazlar, ksilanazlar, kitinazlar, proteazlar), gıda, kimya, farmakoloji endüstrilerinde ve çevresel biyoteknolojide kullanılan DNA'yı modifiye edebilen enzimler verilebilir. Bu enzimler aynı zamanda çok sayıdaki farklı deterjan ve çözücülere karşı da dirençlidir (Aguilar, 1996).

Tablo 4. Termofilik organizmalarından elde edilen bazı enzimlerin kullandığı biyoteknolojik uygulamalar

Enzimler ve biyoteknolojide kullanılan hücre içi bileşikler	Uygulamaları ve üretikleri son ürünler
Amilazlar	Tatlandırıcılarda kullanılan glukoz, fruktoz
Ksilanazlar	Kağıt ağırtılması,
Proteazlar	Keratinden amino asitlerin üretimi, besin işlenmesi, firincılık, mayalanma ve deterjan endüstrilerinde
DNA Polimerazlar	Genetik mühendisliği
Katalaz	Deri, tekstil, kağıt, gıda, ilaç endüstrilerinde

1.8.1. Termofilliğin Moleküler Temelleri

Bütün organizmaların binyelerindeki enzimler ve proteinler, yapılarını içerisinde yaşadıkları ortamın sıcaklığına göre adapte etmek zorundadır. Bu olay canlıların protein döngülerindeki hayat sürelerini ve yüksek sıcaklık yüzünden meydana gelebilecek olan bozulmalarını göz önüne alarak biyolojik aktivitesinin de çok yüksek seviyede olmasını belirler. Termofilik mikroorganizmaların, ekstrem şartlarda örneğin yüksek sıcaklıklarda yaşamaları için kazandıkları olağan dışı kabiliyetler, bunların yapısal ve fonksiyonel adaptasyonlarına dayanır.

Bu organizmalar nasıl olup da yüksek sıcaklıklarda yaşayabilmektedir? Canlılığın devam ettirilebildiği üst sıcaklık limiti nedir? Bu soruların cevapları halen tam olarak bilinmemektedir. Ancak içinde yaşanan ortam sıcaklığı arttıkça canlıda olması gereken bazı özellikler şu şekilde sıralanabilir:

1- Membran akıcılığının ve bütünlüğünün korunması: Ortam sıcaklığı yükseldikçe membranda bulunan lipoproteinlerin akıcılığı da artar. Akıcılığın dengelenmesi gereklidir. Termofillere bakıldığından membran lipidlerinin erime noktasının mezofillere göre daha

yüksek olduğu gözlenir. Böylece membran lipidlerinin akıcılığı optimum büyümeye sıcaklığına eşitlenir. Ayrıca bazı organizmalar membran lipidlerinin karışımını da ortam sıcaklığına göre değiştirir (Kristjansson ve Stetter, 1992).

2- DNA yapısı: Normalde DNA'nın iki zinciri 65 °C'de birbirinden ayrılır. G-C içeriğinin artması, erime noktasını bir şekilde yükseltmesine rağmen, organizmanın büyümeye sıcaklığı ile DNA'nın G+C içeriği arasında tam bir ilişki bulunmamaktadır. DNA'nın denatürasyona karşı sitoplazmanın iyonik gücü ve düşük su aktivitesi ile korunduğu düşünülmektedir. DNA'nın ısiya karşı kararlılığı ve bazlar arasındaki bağların korunması DNA'nın bazı ligand molekülleri ile elektrostatik etkileşimine olduğu kadar çevrede bulunan su moleküllerine karşı da hassastır. DNA'nın suda çözünmesinin boyutu, DNA'nın fosfat grupları ile katyonların etkileşimini ve baz çifteleşmesinin gücünü etkiler. Polietilen glikol gibi bazı yüksüz moleküller su aktivitesi gibi özellikleri değiştirebilir ve sonuçta bu durum, DNA zincirlerinin birbirlerinden ayrılmاسının serbest enerjisini ve ısisini değiştirebilir (Spink ve Chaires, 1999). Çoğu organizmanın DNA'sı negatif süper sarmallıdır ve bu yapı onun daha kolay denatüre olmasına sebep olur. Ancak arkebakteriler ve bazı potansiyel termofilik bakterilere bakıldığından onların DNA'larının pozitif süper sarmalı olduğu görülür. Ayrıca DNA'ya bağlanan histon ve histon benzeri proteinlerde DNA'ya kararlılık kazandırır (Kristjansson ve Stetter, 1992).

3- RNA Yapısı: Normalde sıcaklığın etkisiyle RNA'nın yumak şeklindeki yapısı da DNA'da olduğu gibi denatüre olabilir. Bununla birlikte, RNA'ların yapısı ve nükleotid sırasında meydana gelen bazı değişikliklerle yapıları kararlılık kazanır. Çoğu termofilik organizmanın RNA'larındaki G+C birleşmesi fazladır ve bunlarda G-U çifteleşmesi, yanlış eşleşmeler, çıkışlıklar ve diğer bazı düzensizlikler görülmez. Bu gibi yapılar mezofillerin RNA'larına esneklik kazandırır. Termofillerin RNA'ları genellikle ilave dizilere sahip değildir ve kısadır. Bu şekildeki daha kısa diziler, çıkışlıkların olma ihtimalini azaltır. Ayrıca baz modifikasyonları ve protein bağlanma bölgelerindeki değişimler RNA'ları kararlı hale getirebilirler. Termofilik bir bakteri üzerinde yapılan çalışmada, transfer RNA geninin bir bazındaki tek bir atomun değişmesi yüzünden, bakterinin ısiya karşı direnç özelliği kazandığı kaydedilmiştir (Watanabe vd., 1976).

4- Protein Yapısı: Mezofilik organizmalara ait proteinlerin üç boyutlu doğal yapıları yüksek sıcaklıkta önemli derecede bozulur. Son zamanlara kadar proteinlerin yüksek sıcaklığa karşı kararlı hale gelmeleri üzerinde birçok biyofiziksel çalışma yapılmıştır. Yapılan bu çalışmalarda, proteinlerin ısiya karşı dirençli hale getirilmesinde 15

farklı fizikokimyasal faktörün etkili olduğu ortaya çıkarılmıştır. Bu faktörlerden bazıları, hidrojen bağları, proteinlerin iç kısımlarındaki hidrofobik paketlenmeler, sarmal ikiz kutup kararlılığı ve tuz köprülerinin en iyi şekilde kullanımıdır. Bu faktörler üzerinde birçok araştırcı tarafından araştırmalar yapılmıştır (Gupta, 1995; Russel ve Taylor, 1995; Querol vd., 1996; Veille vd., 1996; Colacino ve Crichton, 1997; Vogt ve Argos, 1997; Vogt vd., 1997; Jaenicke ve Bohm, 1998; Scandurra vd., 1998). Das ve Gerstein (2000) yaptıkları bir çalışmada, 4 adet termofilik arkebakteri, 1 adet termofilik ökaryot, 1 adet termofilik öbakteri ve 6 adet mezofilik öbakteri üzerinde proteinlerin termal kararlılığını araştırdılar. Yapılan bu çalışma sonucunda termofilik organizmaların hem genomik seviyede, hem de α -sarmal yapılarında mezofilik organizmalardan çok daha fazla yüklü alt birimlere sahip olduklarını tespit ettiler. Ayrıca Haney vd., (1999) yaptıkları bir çalışmada termofilik bir arkebakteri olan *Methanococcus jannaschii*'den izole edilen 115 adet termofilik protein ile mezofilik *Methanococcus* türlerindeki bu 115 adet proteinin homologu olan proteinlerin sıralarını karşılaştırdılar. Yaptıkları karşılaştırma sonucunda, termofilik proteinlerin daha fazla sayıda alt birim içeriği, alt birimlerdeki hidrofobikliğin daha fazla olduğu, daha fazla yüklü amino asitlere (özellikle Glu, Arg ve Lys) ve daha az sayıda polar amino asitlere (Ser, Thr, Asn ve Gln) sahip olduğunu tespit ettiler. Bu araştırcılar proteinlerin ısuya karşı dirençli hale gelebilmesi için hidrofobik etkileşimlerdeki, hidrojen, disülfür ve iyonik bağlardaki küçük değişimlerin meydana gelmesinin yeterli olduğunu önerdiler (Haney vd., 1999). Ayrıca yapılan bir çalışmada, kanamisin nükleotidiltransferaz genindeki tek bir nükleotidin değişmesinin, üretilen proteinde tek bir amino asidin değişmesine ve böylece bakterinin ısuya karşı olan dirençliliğinin 10 °C kadar artmasına sebep olduğu ortaya çıkarılmıştır (Matsumura vd., 1984).

5- Enzimatik Fonksiyonlar: Enzim fonksiyonları organizmanın büyümeye sıcaklığı tarafından düzenlenir. Mezofilik organizmalara ait enzimler 20-40 °C arasında en iyi şekilde çalışır ve yüksek sıcaklıklarda denatüre olurlar. Buna karşı termofillerin enzimleri de organizmanın büyüyebildiği sıcaklıkta en etkin şekilde çalışır ve denatürasyon bu sıcaklık derecesinin çok üzerinde meydana gelir. Termofilik enzimler mezofilik sıcaklıklarda çok yavaş çalışır ve bu sıcaklıklarda ve donma durumunda çok kararlı bir şekilde bulunurlar (Koffler, 1957; Amelunxen ve Lins, 1968).

6- Küçük Moleküller: Termofillerin sahip olması gereken diğer bir özellik ise, küçük moleküllerin kararlılığıdır. GTP translasyon, RNA sentezi ve diğer birçok işlem için gerekli olan bir moleküldür ve bu molekülün 100 °C'deki yarılanma ömrü birkaç saniyedir.

Ayrıca ATP, UTP, NAD ve FAD gibi birçok küçük molekül de ısiya karşı dirençli değildir. Termofilik bakterilerde bu sorunun üstesinden gelmek için ihtiyaç duyulan moleküller kullanılacakları zaman sentezlenir.

1.9. Çalışmada Kullanılan Termofilik Bakterilerin Özellikleri

Çalışmada üzerinde araştırma yapılan 18 adet termofilik bakteri suşu Dülger (1997) ve Çanakçı (2003) tarafından Türkiye'nin değişik kaplıcalarından izole edilmiştir (Tablo 5).

Tablo 5. Termofilik suşların isimleri ve izole edildikleri yerler

Termofilik suşun adı	İzole edildiği yer
<i>Bacillus gonensis</i> A2 suşu	Ağrı / Diyadin
<i>Bacillus thermosphaericus</i> A3 suşu	Ağrı / Diyadin
<i>Anoxybacillus gonensis</i> A4 suşu	Ağrı / Diyadin
<i>Anoxybacillus gonensis</i> A5 suşu	Ağrı / Diyadin
<i>Anoxybacillus gonensis</i> A6 suşu	Ağrı / Diyadin
<i>Anoxybacillus gonensis</i> A7 suşu	Ağrı / Diyadin
<i>Anoxybacillus gonensis</i> A9 suşu	Ağrı / Diyadin
<i>Bacillus thermoleovarans</i> G1 suşu	Balıkesir / Gönen
<i>Anoxybacillus gonensis</i> G2 suşu	Balıkesir / Gönen
<i>Anoxybacillus kestanbolensis</i> K1 suşu	Çanakkale / Kestanbol
<i>Anoxybacillus thermosphaericus</i> K3 suşu	Çanakkale / Kestanbol
<i>Anoxybacillus kestanbolensis</i> K4 suşu	Çanakkale / Kestanbol
<i>Saccharococcus caldoxylolyticus</i> TK4 suşu	Çanakkale / Kestanbol
<i>Anoxybacillus gonensis</i> Ay2 suşu	Rize / Ayder
<i>Anoxybacillus gonensis</i> Ay5 suşu	Rize / Ayder
<i>Anoxybacillus gonensis</i> Ay8 suşu	Rize / Ayder
<i>Anoxybacillus ayderensis</i> Ay9 suşu	Rize / Ayder
<i>Anoxybacillus gonensis</i> Ay13 suşu	Rize / Ayder

Çalışmada kullanılan bakterilerin izole edildikleri kaplıcalarдан olan Diyadin (Ağrı İli) Kaplıcası'nın su sıcaklığının 60-70 °C arasında (Erişen vd., 1996), Gönen (Balıkesir

İli) Kaplıcası'nın su sıcaklığının 73 °C (Anonim, 1994), Kestanbol (Çanakkale İli) Kaplıcası'nın su sıcaklığının 73 °C (Erişen vd., 1996) ve Ayder (Rize İli) Kaplıcası'nın su sıcaklığının 57 °C (Anonim, 1986) olduğu belirtilmektedir.

Yapılan sistematik çalışmaları sonucunda; bu bakterilerden 11 tanesinin *Anoxybacillus gonensis* (A2, A4, A5, A6, A7, A9, G2, Ay2, Ay5, Ay8, Ay13 suşları), 2 tanesinin *Anoxybacillus kestanbolensis* (K1 ve K4 suşları), 2 tanesinin *Bacillus thermosphaericus* (A3 ve K3 suşları), diğerlerinin ise *Bacillus thermoleovarans* (G1 suçu), *Saccharococcus caldoxylolyticus* (TK4 suçu) olduğu belirlenmiştir. Bu bakterilerin fizyolojik ve biyokimyasal özellikleri Tablo 6'da gösterilmektedir. Genel olarak bakıldığından bu bakteriler orta derecede termofilik (40-70 °C) organizmalar olduğu görülmektedir (Dülger, 1997; Çanakçı, 2003).

Tablo 6. Diyarbakır (Ağrı), Kestanbol (Çanakkale) ve Gönen (Balıkesir) kaplıcalarından elde edilen izotatların biyokimyasal özellikleri (Dülger, 1997; Çanakçı, 2003).

Tablo 6'nın devamı

Bakteri No	A2	A3	A4	A5	A6	A7	A9	K2	K3	K4	K5	TK4	G1	G2	Ay2	Ay5	Ay8	Ay9	Ay13
% 4 NaCl'de büyümeye	+	+ ^h	+	+	+ ^h	+	+	+ ^h	+	+	-	-	-	-	-	-	-	-	-
% 5 NaCl'de büyümeye	-	-	-	-	-	-	-	+ -	+ -	+ -	-	-	-	-	-	-	-	-	-
% 7 NaCl'de büyümeye	-	-	-	-	-	-	-	-	-	-	-	-	-	-	-	-	-	-	-
% 10 NaCl'de büyümeye	-	-	-	-	-	-	-	-	-	-	-	-	-	-	-	-	-	-	-
30 °C'de Büyümeye	-	-	-	-	-	-	-	+ -	-	-	-	+ ^h	+ ^h	+ ^h	+ ^h	+ ^h	+ ^h	+ ^h	+ ^h
37 °C'de Büyümeye	+	+	+	+	+	+	+	-	-	-	-	-	-	-	-	-	-	-	-
40 °C'de Büyümeye	+	+	+	+	+	+	+	+	+	+	+	+	+	+	ND	ND	ND	ND	ND
70 °C'de Büyümeye	+	+	+	+	+	+	+	+	+	+	+	+	+	+	+	+	+	+	+
75 °C'de Büyümeye	-	-	-	-	-	-	-	-	-	-	-	-	-	-	-	-	-	-	-

h: Zayıf büyümeye, +: Pozitif sonuç, -: Negatif sonuç, ND: Belirlenmedi, Rakamlar izolat numaralarını göstermektedir.

2. YAPILAN ÇALIŞMALAR

2.1. Materyal

2.1.1. Kullanılan Kimyasal Maddeler ve Cihazlar

Bu çalışmada besi ortamı olarak kullanılan, Tripton ve yeast extract (maya özütü) kimyasalları Lab M firmasından satın alınmıştır. Tampon hazırlamak için kullanılan dipotasyum hidrojen fosfat, potasyum dihidrojen fosfat, sodyum asetat, asetik asit, tris(hidroksimetil)amino metan (Tris), hidroklorik asit, metanol ve besi ortamında kullanılan agar-agar kimyasalları Merck A. G. (Darmstadt, Germany)' den sağlanmıştır. Substrat olarak kullanılan hidrojen peroksit ile katalaz aktivitesine etkisini incelemek üzere kullanılan sodyum karbonat (Na_2CO_3), sodyum klorür (NaCl), sodyum bikarbonat (NaHCO_3), Na_2SO_3 , $\text{Na}_2\text{S}_2\text{O}_5$, sodyum nitrat (NaNO_3), sodyum nitrit (NaNO_2), sodyum molibdat (Na_2MoO_4), sodyum tiyosülfat ($\text{Na}_2\text{S}_2\text{O}_3$), sodyumokzalat ($\text{Na}_2\text{C}_2\text{O}_4$), sodyum sülfat (Na_2SO_4), sodyum ditiyonit, sodyum azid (NaN_3), amonyum klorür (NH_4Cl), mangan klorür (MnCl_2), bakır klorür (CuCl_2), çinko klorür (ZnCl_2), nikel klorür (NiCl_2), kadmiyum klorür (CdCl_2), kobalt klorür (CoCl_2), alüminyum klorür (AlCl_3), krom klorür (CrCl_3), kalsiyum klorür (CaCl_2), etilendiamintetraasetik asit sodyum tuzu (EDTA), potasyum siyanür (KCN), merkaptoetanol, sodyum dodesilsülfat (SDS), triton X-100 (TX-100) deterjanı ve demir (III) klorür ayrıca protein tayininde ve elektroforezde kullanılan bovine serum albümü (BSA), potasyum ferrisiyanür [$\text{K}_3\text{Fe}(\text{CN})_6$], bromofenol blue, N,N-bisakrilamid, coomassie brilliant blue-R 250, kimyasalları Sigma Chemical Co., St Louis (MO, USA)'dan satın alınmıştır. Ayrıca sakkaroz, akrilamid, amonyum persülfat, glisin, civa klorür (HgCl_2) kimyasalları ise Fluka firmasından sağlanmıştır.

Santrifüjleme işlemleri Sigma 2-16K marka ultrasantrifüj ile, spektroskopik ölçümler Unicam UV2-100 marka UV-Vis spektrofotometre cihazıyla yapılmıştır. Bakterilerin büyütülmesi ve sıcaklık deneylerinde sıcaklığı ayarlamak için Memert Marka sallayıçılı su banyosu kullanılmıştır. Ayrıca besi ortamı ve diğer çözeltilerin sterilazyonu Tomy SS-325 marka otoklav cihazı ile yapılmıştır.

2.1.2. Çalışmada Kullanılan Termofilik Suşlar

Çalışmada, K.T.Ü. Biyoloji Bölümü’nde izole edilen (Dülger, 1997; Çanakçı, 2003) *Bacillus gonensis* A2 suşu (A2), *Bacillus thermosphaericus* A3 suşu (A3), *Anoxybacillus gonensis* A4 suşu (A4), *Anoxybacillus gonensis* A5 suşu (A5), *Anoxybacillus gonensis* A6 suşu (A6), *Anoxybacillus gonensis* A7 suşu (A7), *Anoxybacillus gonensis* A9 suşu (A9), *Bacillus thermoleovarans* G1 suşu (G1), *Anoxybacillus gonensis* G2 suşu (G2), *Anoxybacillus kestanbolensis* K1 suşu (K1), *Anoxybacillus thermosphaericus* K3 suşu (K3), *Anoxybacillus kestanbolensis* K4 suşu (K4), *Saccharococcus caldoxylolyticus* TK4 suşu (TK4), *Anoxybacillus gonensis* Ay2 suşu (Ay2), *Anoxybacillus gonensis* Ay5 suşu (Ay5), *Anoxybacillus gonensis* Ay8 suşu (Ay8), *Anoxybacillus ayderensis* Ay9 suşu (Ay9), *Anoxybacillus gonensis* Ay13 suşu (Ay13) termofilik bakteri türleri kullanılmıştır.

2.1.3. Kullanılan Çözeltilerin Hazırlanması

Lauria Bertani (LB) besi ortamı: 10,0 g tripton, 5,0 g yeast extract (maya özütü) ve 5 g NaCl 900 ml saf suda çözüldükten sonra pH'1 7,5'a ayarlandı. Hacmi saf su ile 1 litreye tamamlanan çözelti 121 °C'de 1,1 kg/cm² basınç altında basınç altında 20 dakika otoklav edildi.

Lauria Bertani (LB)-agar besi ortamı: 10,0 g tripton, 5,0 g yeast extract (maya özütü), 5 g NaCl ile 15 g agar agar 900 ml saf suda çözüldükten sonra pH'1 7,5'a ayarlandı. Hacmi saf su ile 1 litreye tamamlanan çözelti 121 °C'de 1,1 kg/cm² basınç altında 20 dakika otoklav edildi.

Öztleme (ekstraksiyon) çözeltisi: 10,0 g sakkarozun hacmi pH'1 7,0 olan 50 mM fosfat tamponu ile 100 ml'ye tamamlandı.

Lisozim çözeltisi: 10,0 mg lisozimin hacmi saf su ile 1 ml'ye tamamlandı.

0,1 N NaOH-%2'lik Na₂CO₃ çözeltisi: 0,4 g NaOH ile 2,0 g Na₂CO₃ karışımının hacmi saf su ile 100 ml'ye tamamlandı.

%1'luk CuSO₄.5H₂O çözeltisi: 1,0 g CuSO₄.5H₂O'un hacmi saf suyla 100 ml'ye tamamlandı.

0,1 N NaOH-%0,1 SDS çözeltisi: 0,4 g NaOH ile 0,1 g SDS karışımının hacmi saf su ile 100 ml'ye tamamlandı.

%2 Sodyum-potasium tartarat: 2,0 g Sodyum-potasium tartaratın hacmi saf su ile 100 ml'ye tamamlandı.

50 mM Asetat tamponu (pH 4,0): 0,0623 g CH₃COONa'ta 0,2 M'lik asetik asit çözeltisinden 21,2 ml ilave edilerek hacmi 100 ml'ye saf su ile tamamlandı.

50 mM Asetat tamponu (pH 5,0): 0,2625 g CH₃COONa'ta 0,2 M'lik asetik asit çözeltisinden 9,0 ml ilave edilerek hacmi 100 ml'ye saf su ile tamamlandı.

50 mM Fosfat tamponu (pH 6,0): 0,6407 g KH₂PO₄'ün 25 ml'deki çözeltisi ile 0,0506 g K₂HPO₄'ün 25 ml'deki çözeltileri karıştırılarak hacmi 100 ml'ye tamamlandı.

50 mM Fosfat tamponu (pH 7,0): 0,4216 g KH₂PO₄'ün 25 ml'deki çözeltisi ile 0,3310 g K₂HPO₄'ün 25 ml'deki çözeltileri karıştırılarak hacmi 100 ml'ye tamamlandı.

50 mM Tris tamponu (pH 8,0): 0,6055 g Trizma bazı 80 ml saf suda çözüldükten sonra 1 N HCl çözeltisi ile pH'ı 8,0, 9,0 ve 10,0 olacak şekilde ayarlandı ve hacmi 100 ml'ye tamamlandı.

30 mM H₂O₂ çözeltisi: 303 ml %30'luk H₂O₂'in hacmi saf su ile 100 ml'ye tamamlandı.

Doğal jel boyama çözeltisi [% 2 FeCl₃-%2 K₃Fe(CN)₆]: 4,0 g FeCl₃'in 25 ml'deki çözeltisi ile 4,0 g K₃Fe(CN)₆'in 25 ml'deki çözeltileri karıştırılarak hazırlandı. Bu çözelti karışımı taze hazırlanmalıdır.

2.2. Yöntemler

2.2.1. Termofilik Bakterilerin Katalaz Kapasitesinin Belirlenmesi (Petri Testi)

Yukarıda belirtilen (bakınız 2.1.2) termofilik bakteriler Lauria Bertani (LB)-agar ortamında hazırlanmış (pH 7,5) besi ortamının bulunduğu petrilerde 55 °C'de 18 saat boyunca büyütüldü. Petrilerde büyüyen bakteriler üzerine 2' şer ml % 10'luk H₂O₂ ilave edildi. 10 dakika sonra petriler üzerinde hava kabarcıklarının oluşup-olşmadığı gözlendi. Kontrol olarak, bakteri ekilmemiş aynı şartlarda bekletilmiş LB-agar besi ortamı kullanıldı.

2.2.2. Termofilik Bakterilerin Sıvı Besi Ortamlarında Büyüütülmesi

Bakteriler, LB sıvı besi ortamında (pH 7,5, 500 ml) 55 °C'de 12 saat boyunca büyütüldü. Kültürler 10 °C ve 8.500 rpm'de 15 dakika santrifüj edildi. Çökelekler

(yaklaşık yaş ağırlığı 1 g) 5'er ml özütleme çözeltisinde (50 mM potasyum fosfat tamponunda, pH 7,0'de, hazırlanmış %10'luk sakkaroz çözeltisi) süspansiyon edildi. Elde edilen süspansiyonlar sıvı azot içinde 5 dakika bekletildikten sonra, oda sıcaklığında tekrar çözünunceye kadar bekletildi. Oda sıcaklığına gelen çözeltilere 0,25' er ml lisozim çözeltisi (10 mg/ml) ilave edildi. 30 dakika lisozimle inkübe edildikten sonra çözeltiler, 1 dakika sonifikasyona tabi tutuldu. Karışımalar 9.000 rpm' de 20 dakika santrifüjlendi. Süpernatan hücre içi katalaz kaynağı olarak -20 °C saklandı.

2.2.3. Protein Miktarının Belirlenmesi

Protein miktarı Lowry yöntemiyle yapıldı (Lowry vd., 1951). 10 µl kültür ekstraktı 490 µl 0,1 N NaOH, %0,1 sodyum dodesil sülfat içeren çözelti ile 500 µl ye seyreltilerek bazikleştirildi. Bu karışımı, eşdeğer oranlarda karıştırılmış %2 Na₂CO₃'ın 0,1 N NaOH içerisindeki çözeltisi (12,5 ml) ve %2 sodyum-potasyum tartaratın %1 lik CuSO₄'daki çözeltisinden (0,25 ml) 1 ml ilave edildi. 5-10 dakika çözeltinin iyice karışması sağlandıktan sonra, 1:1 oranında saf su ile seyreltilmiş folin reaktifinden 100 µl ilave edildi ve 30 dakika olgunlaşmaya bırakılmasının ardından 650 nm deki absorbansları okundu. Aynı reaktiflerle hazırlanan sığır serum albumini, standart protein çözeltileri içinde elde edilen kalibrasyon grafiği yardımıyla ekstrakların protein içerikleri tayin edildi.

2.2.4. Enzim Aktivitesinin Belirlenmesi

Katalaz aktivitesi spektrofotometrik yöntemle belirlendi. 3 ml'lik kuvarz küvet içinde 25 °C'de 2 ml 30 mM H₂O₂ çözeltisi, 0,9 ml 50 mM fosfat (pH 7,0) tamponu ve 0,1 ml enzim çözeltisi karışımının 240 nm'de ($\epsilon = 43,6 \text{ M}^{-1} \text{ cm}^{-1}$; Hidebrandt ve Roots, 1975) absorbansındaki azalma ±0,001 hassasiyetle kaydedildi (Hatchikian vd., 1972; Hazell vd., 1991; Thompson vd., 2003).

Bir ünite enzim, 1 dakikada 1 ml'de 1 µmol H₂O₂' in bozunması için gerekli olan enzim miktarı olarak belirlendi. Özgün aktivite, mg protein başına aktivite olarak belirlendi (Aebi, 1984; Claiborne vd., 1979).

Tüm aktivite çalışmaları üçer tekrarlı olarak yapıldı ve ortalamaları üzerinden hesaplamaları gerçekleştirildi.

2.2.5. Doğal Elektroforez

Katalaz aktivitesinin ve moleküler ağırlığının belirlenmesi için %10'luk poliakrilamid jel elektroforezi (PAGE) kullanıldı. Protein standarı ve kontrol olarak sığır katalazı (250 kDa) ile sığır serum albümin (66 kDa) kullanıldı. Termofilik suşlardan elde edilen protein özütlerinden uygun miktarlarda (35 mg protein içerecek şekilde) alındı. Bu özütlere eşit hacimlerde 1 x muamele tamponu (50 mM Tris-HCl pH 6,8, %0,1 bromofenol blue, %10 gliserol) ilave edildi ve Laemmlı (1970) tarafından tanımlanan 0,75 mm kalınlığındaki poliakrilamid jeline yüklendi. Proteinlerin jelde yürütüldüğü süre boyunca, kuyucuk başına 2 mA akım uygulandı ve jelin ısınmasını engellemek için buz banyosunda yürütme işlemi gerçekleştirildi. Elde edilen Jel 3 kez 10'ar dakika saf suda bekletildikten sonra H₂O₂ çözeltisinde (10 µL %30'luk H₂O₂ 100 mL'ye saf su ile seyreltildi) 10 dakika inkübe edildi. İnkübasyon süresi dolar dolmaz jelden H₂O₂ saf su ile yıkandı. Uzaklaştırıldı. Doğal boyama için taze hazırlanmış %2'lik FeCl₃, %2' lik K₃FeCN₆ çözeltilerin karışımı kullanıldı. Jelde yeşil rengin görüldüğü an, jel saf su ile yıkandı. Jelde boyanmayan yerler katalaz aktivitesi olarak belirlendi (Woodbury vd., 1971; Wayne ve Diaz, 1986).

Ayrıca aynı şartlarda yürütülen bir başka doğal jel, Coomassie brilliant blue (%0.125 Coomassie brilliant blue R-250, %50 metanol, %10 asetik asit) boyası ile 2 saat boyandı. Yıkama-I (%50 metanol, %10 asetik asit) çözeltisinde 1 saat bekletildikten sonra, yıkama-II (%7 metanol, %5 asetik asit) çözeltisine aktarılarak bantların belirlenmesi sağlandı.

2.2.6. Termofilik Katalazların Spektroskopik Özelliklerinin Belirlenmesi

Termofilik katalazların spektroskopik özelliklerinin belirlenmesi için doğal ve indirgenmiş hallerinin 350-600 nm arasındaki absorbansları tarandı. Enzim özütlerindeki katalazların (ortalama 0,5 mg protein), 50 mM fosfat tamponu (pH 7,5) içindeki doğal hallerinin ve 100 mM NaOH, 100 mM piridin, 2 mM sodyum ditiyonittan oluşan çözelti karışımındaki indirgenmiş halleri ile 10 mM KCN çözeltisindeki hallerinin spektroskopik karakterleri 350-600 nm arası taranarak belirlendi.

2.2.7. Termofilik Suşlardan Elde Edilen Katalazların Kinetiğinin İncelenmesi

Çalışmada kullanılan termofilik suşlardan elde edilen katalazların, H_2O_2 substratına karşı davranışlarını ve ilgisini ortaya koyabilmek için optimize edilmiş şartlarda, H_2O_2 substratının konsantrasyonu 1–100 mM arasında değiştirilerek, katalaz aktivitesi ölçümleri yapılmıştır. Michaelis-Menten eşitliği esas alınarak değişen substrat konsantrasyonu değerlerine karşı hiperbolik grafik (Michaelis-Menten), bu değerlerin terslerinin alınmasıyla elde edilen lineer grafik (Lineweaver-Burk grafiği) ve Eadie-Hofstee grafikleri çizilerek, enzimin substrat ile doyumunda ulaşılan maksimum reaksiyon hızı (V_{maks}) ve Michaelis sabiti (K_m) değerleri ile beraber, dönüşüm sayısı (k_{kat}) ve substrat spesifite oranları (k_{kat}/K_m) bu eğrilerden elde edilen veriler yardımıyla hesaplandı. Lineer ve lineer olmayan eğriler, MS Excel sürüm 11.0 kullanılarak elde edildi ve irdelendi.

Ayrıca termofilik suşlardan elde edilen katalazların değişen substrat konsantrasyonlarına karşılık okunan hız (V) ve buna karşılık gelen V_{maks} değerleri kullanılarak, elde edilen $V/(V_{maks}-V)$ oranları Hill eşitliği gereğince grafiğe geçirilerek, bu katalazlar üzerindeki substrat-bağlanma bölgelerinin sayısı ve kooperativitenin olup olmadığı tespit edildi.

2.2.8. pH ve Sıcaklığın Katalaz Aktivitesine Etkisinin Belirlenmesi

En yüksek katalaz aktivitesi gösteren 10 termofilik kültürlerde pH ve sıcaklığın aktivite üzerindeki etkisine bakıldı.

Katalaz aktivitesine pH'nın etkisini belirlemek için, pH 4,0-10,0 arasında çalışıldı. pH 4,0-5,0 arası için 50 mM asetat, pH 6,0-7,0 arası için 50 mM fosfat ve pH 8,0-10,0 arası için 50 mM Tris-HCl tamponları kullanıldı. Katalazın 20 mM H_2O_2 substratı varlığında ve oda sıcaklığında değişik tamponlardaki aktiviteleri spektrofotometrik olarak ölçüldü. Değişik pH'lardaki aktiviteler, en yüksek aktiviteyi gösteren pH'daki aktiviteye oranlanarak, bağılı aktivite olarak hesaplandı.

Sıcaklığın katalaz aktivitesi üzerindeki etkisi, en yüksek aktivitenin belirlendiği pH'larda sıcaklık 20-80 °C arasında değiştirilerek belirlendi. İstenilen sıcaklık $\pm 0,1$ °C hassasiyetle termostatlı su banyosu ile ayarlandı. Kuvarz küvet içindeki tampon substrat karışımı istenilen sıcaklığa gelinceye kadar su banyosunda bekletildikten sonra, aktivite ölçümü spektrofotometrik olarak yapıldı. Muhtemel sıcaklık kaybını önlemek için

mümkün olduğu kadar hızlı bir şekilde, enzim çözeltisi substrati içeren karışımı pipetlenerek aktivite ölçümü yapıldı. Değişik sıcaklıklarda aktiviteler, en yüksek aktiviteyi gösteren sıcaklığıtaki aktiviteye oranlanarak bağıl aktivite hesaplandı.

2.2.9. pH ve Isıl Kararlılığın Belirlenmesi

En yüksek özgün aktivite gösteren 10 kültürden elde edilen katalazlar, +20 °C'de 4,0-10,0 arasındaki pH'larda 24 saat boyunca bekletildi. Bu enzimler, değişik pH'lardaki tamponlara katıldı ve hemen ardından ilk aktiviteleri ölçüldü. Bekleme süresi sonunda, oda sıcaklığında aktiviteleri ölçüldü ve ilk aktiviteye oranlanarak kalan aktivite hesaplandı.

Bu 10 termofilik kültürden elde edilen katalaz özütleri, 20-80 °C ($\pm 0,5$) arasındaki sıcaklıklarda 15, 30 ve 60 dakika boyunca bekletildikten sonra, oda sıcaklığında 20 mM H₂O₂ varlığında aktiviteleri 240 nm'de ölçüldü. Bulunan aktiviteler ısıtılmadan önceki aktivitelerine oranlanarak kalan aktiviteleri hesaplandı. Ayrıca bu termofilik bakterilerden elde edilen katalazların, 20-80 °C arasındaki sıcaklıklardaki aktivitelerinden yararlanarak ΔH[#], ΔS[#] ve ΔG[#] değerleri belirlendi.

2.2.9.1. ΔH, ΔS ve ΔG Değerlerinin Hesaplanması

2.2.9.1.1. Hız Sabitinin Hesaplanması

$$k = - \frac{1}{\text{zaman(saniye)}} \ln (\Delta t / \Delta o) \quad (19)$$

k = Hız sabiti (s⁻¹)

Δt = Kalan aktivite (ısıtma işleminden sonraki enzim aktivitesi)

Δo = Isıtma işleminden önceki enzim aktivitesi

2.2.9.1.2. Aktivasyon Enerjisinin (Ea) Hesaplanması

$$\ln k = C - Ea/RT \quad (20)$$

20. eşitlik yardımıyla Ea bulunur.

$$k = \text{hız sabiti (s}^{-1}\text{)}$$

$$Ea = \text{aktivasyon enerjisi (J mol}^{-1}\text{)}$$

$$R = 8,3145 \text{ Jmol}^{-1}\text{K}^{-1}$$

$$T = \text{Kelvin sıcaklık (}^{\circ}\text{K)}$$

Bu eşitliği $y = mX + n$ şeklinde düşünüldüğü takdirde $\ln k = (-Ea/R) 1/T + C$ olur. Şayet $\ln k$, y ekseni; $1/T$, X eksenini oluşturacak şekilde grafik çizildiğinde eğim $-Ea/R$ olacaktır. Bu doğrunun eğiminden Ea değeri hesaplanır.

2.2.9.1.3. Serbest Enerjinin (ΔG) Hesaplanması

$$\Delta G^\# = RT \ln (kT/Kh) \quad (21)$$

$$\Delta G^\# = \text{Gibbs serbest enerji değişimi (J mol}^{-1}\text{)}$$

$$R = 8,3145 \text{ Jmol}^{-1}\text{K}^{-1}$$

$$T = \text{Kelvin sıcaklık (}^{\circ}\text{K)}$$

$$K = \text{Hız sabiti}$$

2.2.9.1.4. Entalpi (ΔH) Değişiminin Hesaplanması

$$\Delta H^\# = Ea - RT \quad (22)$$

$$\Delta H^\# = \text{Entalpi değişimi (J mol}^{-1}\text{)}$$

2.2.9.1.5. Entropi (ΔS) Değişiminin Hesaplanması

$$\Delta S^\# = (\Delta H^\# - \Delta G^\#)/T \quad (23)$$

$$\Delta S^\# = \text{Entropi değişimi (J mol}^{-1} \text{ K}^{-1}\text{)}$$

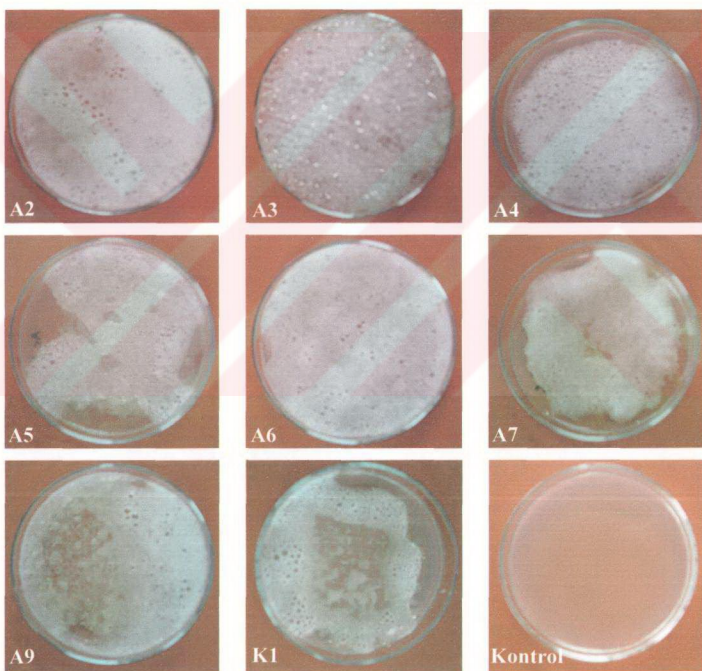
2.2.10. Değişik İyon ve Deterjanların Katalaz Aktivitesi Üzerine Etkisinin Belirlenmesi

Termofilik bakterilerden elde edilen katalazların, anyon olarak; 10 mM Na₂CO₃, 10 mM NaHCO₃, 10 mM CH₃COONa, 10 mM Na₂SO₃, 0,5-10 mM Na₂S₂O₅, 0,5 mM Na₂S₂O₃, 0,5-10 mM NaNO₃, 0,5 mM NaNO₂, 0,5 mM Na₂MoO₄, 0,5 mM Na₂C₂O₄, 10 mM K₂SO₄, 0,5 mM sodyum ditiyonit (Na₂S₂O₄), 10 mM NaCl ve 0,1-0,5 mM NaN₃, katyon olarak; 10 mM NH₄Cl, 0,5 mM MnCl₂, 0,5 mM CuCl₂, 0,5 mM ZnCl₂, 0,5 mM NiCl₂, 0,5 mM CdCl₂, 0,5 mM CoCl₂, 0,5-10 mM AlCl₃, 0,5-10 mM CrCl₃, 0,5-10 mM CaCl₂, 0,1-0,5 mM HgCl₂, 0,5-10 mM EDTA, 0,1-0,5 mM KCN, 0,5 mM merkaptoetanol ve 0,1 mM FeCl₃ ve deterjan olarak; 0,5 mM SDS ile %0,1 TX-100 varlığında aktiviteleri ölçüldü. Ölçülen aktiviteler, başlangıçtaki aktivitelerine oranlanarak yüzde oran olarak inhibisyon veya aktivasyon etkileri belirlendi. Aktivite ölçümleri 20 mM H₂O₂ varlığında pH 7,0'de oda sıcaklığında gerçekleştirildi.

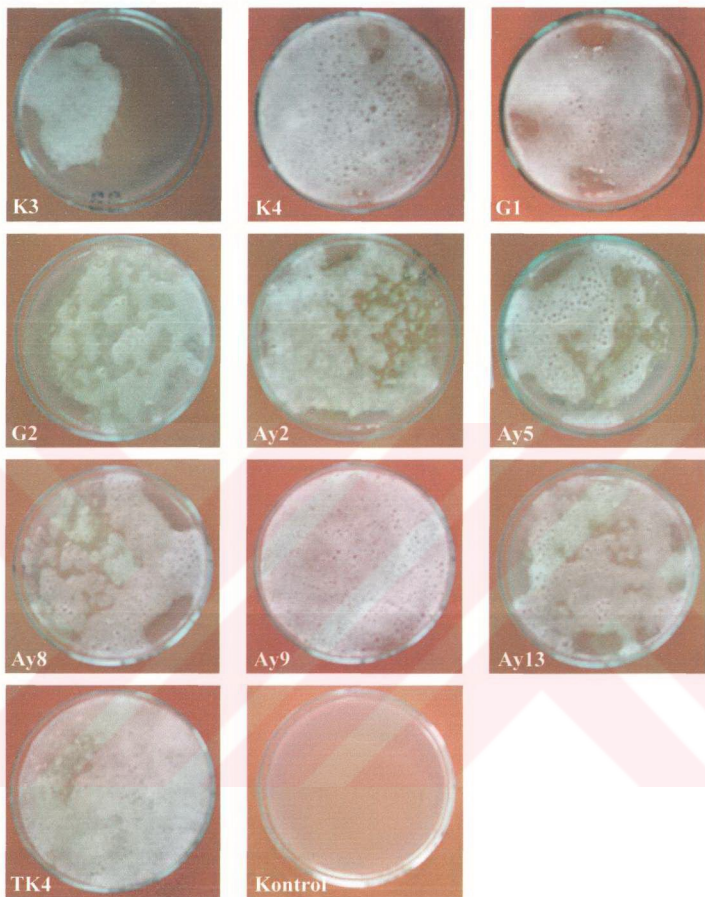
3. BULGULAR

3.1. Termofilik Bakterilerin Katalaz Kapasitesi

Termofilik suşlardaki katalaz kapasitesinin belirlenmesi için, petriler içerisindeki LB-agar ortamında (pH 7,5) 55 °C'de büyütülen termofilik suşlar üzerine % 3'lük H₂O₂ ilave edildi. Termofilik suşların bulunduğu bütün petriler içerisinde 30 dakika sonra hava kabarcıklarının olduğu gözlenirken, kontrolde hiç hava kabarcığı görülmeli (Şekil 7, 8).



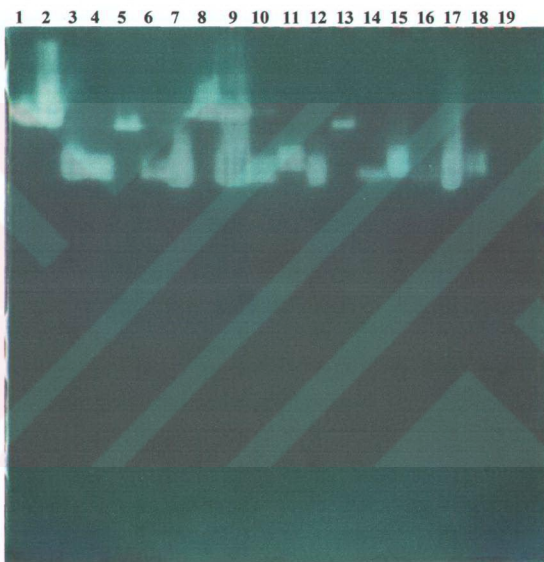
Şekil 7. Termofilik suşlardaki katalaz kapasitesinin belirlenmesi için yapılan petri testi sonuçları (A2- *B. gonensis* A2 suşu; A3- *B. thermosphaericus* A3 suşu; A4- *A. gonensis* A4 suşu; A5- *A. gonensis* A5 suşu; A6-*A. gonensis* A6 suşu; A7- *A. gonensis* A7 suşu; A9- *A. gonensis* A9 suşu; K1- *A. kestanbolensis* K1 suşu)



Şekil 8. Termofilik suşlardaki katalaz kapasitesinin belirlenmesi için yapılan petri testi sonuçları (K3- *A. thermosphaericus* K3 suyu; K4- *A. kestanholensis* K4 suyu; G1- *B. thermoleovarans* G1 suyu; G2- *A. gonensis* G2 suyu; Ay2- *A. gonensis* Ay2 suyu; Ay5- *A. gonensis* Ay5 suyu; Ay8- *A. gonensis* Ay8 suyu; Ay9- *A. ayderensis* Ay9 suyu; Ay13- *A. gonensis* Ay13 suyu; TK4- *S. caldoxylolyticus* TK4 suyu)

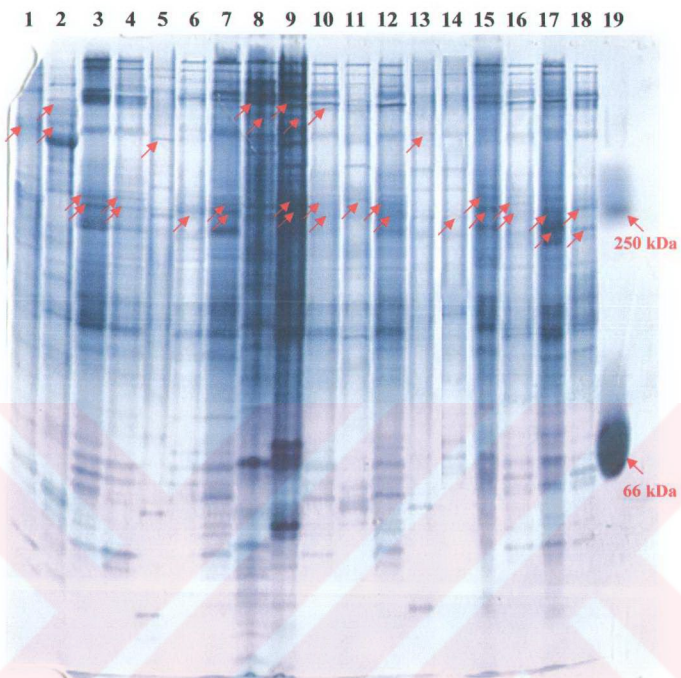
3.2. Doğal Elektroforez

Termofilik suşlardan elde edilen özütler aynı elektroforez düzeneği üzerinde hazırlanmış iki ayrı %10'luk PAGE jeli yüklenerek ayrıldılar. Elde edilen jellerden biri doğal boyamaya tabi tutulurken, diğer Coomassie Brilliant Blue R-250 çözeltisi ile boyamaya tabi tutuldu. Yapılan doğal boyama sonucunda, tüm suşlardan elde edilen özütlerin katalaz aktivitesi gösterdiği tespit edilmiştir (Şekil 9). Ayrıca kontrol olarak yüklenen BSA proteininin kolonunda herhangi bir aktivite gözlenmemiştir (19 nolu sütun).



Şekil 9. Termofilik suşlardan elde edilen özütlerdeki katalaz aktivitesi için yapılan doğal elektroforez jeli (1-A2; 2-A3; 3-A4; 4-A5; 5-A6; 6-A7; 7-A9; 8-TK4; 9-G1; 10-G2; 11-K1; 12-K3; 13-K4; 14-Ay2; 15-Ay5; 16-Ay8; 17-Ay9; 18-Ay13; 19-BSA)

Coomassie Brilliant Blue R-250 çözeltisi ile boyanan jelden elde edilen protein bantları, doğal boyama sonucu aktivite gösteren bantlarla karşılaştırılarak suş özütlerindeki katalaz proteinlerinin yerleri belirlendi (Şekil 10).



Şekil 10. Termofilik suşlardan elde edilen özülerin doğal protein elektroforezi (1-A2; 2-A3; 3-A4; 4-A5; 5-A6; 6-A7; 7-A9; 8-TK4; 9-G1; 10-G2; 11-K1; 12-K3; 13-K4; 14-Ay2; 15-Ay5; 16-Ay8; 17-Ay9; 18-Ay13; 19- standart)

Rf değerleri hesaplanan katalaz ve izoenzimlerinin, yaklaşık molekül ağırlıkları, standart olarak kullanılan sığır karaciğeri katalazı (250 kDa) ve BSA (66 kDa) proteinin molekül ağırlıkları kullanılarak hesaplandı (Tablo 7). A6, A7, K1, K4, Ay2 suşlarında birer, A2, A3, A4, A5, A9, TK4, K3, Ay5, Ay8, Ay9, Ay13 suşlarında ikişer, G2 ve G1 suşlarında üç tane katalaz aktivitesi gösteren protein bantı gözlenmiştir (Şekil 10). Yaklaşık olarak, A2 katalazının 490, A3 katalazının 490 ile 640, A4 ve A5 katalazlarının 230 ile 250, A6 katalazının 430, A7 katalazının 220, A9 katalazının 230 ile 218, TK4 katalazının 640 ile 530, K1 katalazının 230, K3 katalazının 230 ile 220, K4 katalazının 450, Ay2 katalazının 220, Ay5 katalazının 230 ile 220, Ay8 katalazının 230 ile 210, Ay9 ve Ay 13 katalazlarının ise 220 ile 200 kDa molekül ağırlıklarına sahip oldukları

hesaplanmıştır. Ayrıca G1 ile G2 suşlarının özütlerinde 640, 230, 220 kDa molekül ağırlıklarına sahip bantlar gözlenirken, G1 suşunun bu bantlara ilaveten yaklaşık 530 kDa molekül ağırlığına sahip bir katalaz protein bandına daha sahip olduğu gözlenmiştir.

Tablo 7. Termofilik katalazlara ait Rf değerleri ve molekül ağırlıkları

Termofilik suş	Rf değeri	Molekül ağırlığı (kDa)
A2	0.14	490
A3	0.098 0.14	640 490
A4	0.24 0.26	250 230
A5	0.24 0.26	250 230
A6	0.17	430
A7	0.27	220
A9	0.26 0.27	230 220
TK4	0.098 0.13	640 530
G1	0.098 0.13 0.26 0.27	640 530 230 220
G2	0.098 0.26 0.27	640 230 220
K1	0.26	230
K3	0.26 0.27	230 220
K4	0.16	450
Ay2	0.27	220
Ay5	0.26 0.27	230 220
Ay8	0.26 0.28	230 210
Ay9	0.27 0.30	220 200
Ay13	0.27 0.30	220 200

3.3. Termofilik Suşlardaki Protein Miktarı ve Katalaz Aktivitesi

Termofilik kültürlerden elde edilen özütlerdeki suda çözünür protein miktarlarının 1,74-5,62 mg/ml arasında değiştiği belirlenmiştir (Tablo 8). Bu özütlerdeki en düşük katalaz aktivitesi 22,9 U/ml olmak üzere G2 ve A7 suşlarında, en yüksek katalaz aktivitesi ise 1227,6 U/ml ile A3 suşunda ölçülmüştür. Özgün aktivitelerine bakıldığında, en yüksek aktivitenin 64610,5 U/mg protein ile A3 suşunda, en düşük aktivitenin ise 40,7 U/mg protein ile G2 suşunda olduğu belirlenmiştir (Tablo 8).

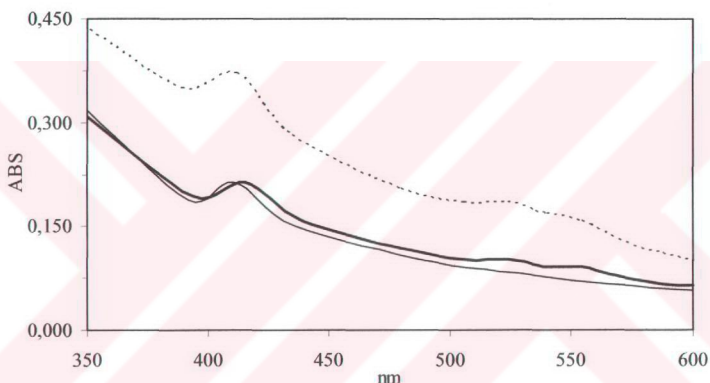
Tablo 8. Termofilik suşlardan elde edilen ekstrakların suda çözünür protein miktarları ve katalaz aktiviteleri

Termofilik Bakteri Suşi	Toplam suda çözünür protein miktarı (mg/ml) ±0,01	Aktivite için alınan protein miktarı (mg)	ϵ değeri	Aktivite (U) ±10,8	Özgün aktivite (U/mg protein) ±17,3
A3	1,86	0,019	43,6	1227,6	64610,5
Ay9	2,42	0,242	43,6	1089,2	4500,8
TK4	3,85	0,385	43,6	1182,3	3070,9
A9	3,26	0,326	43,6	941,6	2888,3
K1	4,09	0,409	43,6	597,0	1459,6
A4	4,01	0,401	43,6	539,5	1345,4
K4	1,74	0,174	43,6	195,1	1121,3
A5	3,14	0,314	43,6	343,8	1094,9
A6	3,76	0,376	43,6	344,4	916,0
A2	2,01	0,201	43,6	172,4	857,7
Ay13	3,24	0,324	43,6	126,2	389,5
G1	4,06	0,406	43,6	149,2	367,5
Ay2	3,15	0,315	43,6	103,0	327,0
K3	4,59	0,459	43,6	126,1	274,7
Ay5	2,64	0,264	43,6	57,4	217,4
Ay8	2,82	0,282	43,6	57,4	203,5
A7	1,99	0,199	43,6	22,9	115,1
G2	5,62	0,562	43,6	22,9	40,7

Optimum pH, optimum sıcaklık, ısıl kararlılık, pH kararlılığı ve kinetik parametrelerin belirlenmesi, iyon ve deterjanların katalaz aktivitesi üzerine etkisinin incelenmesi ile piridin hemokromejen analizi çalışmaları, en yüksek özgün aktiviteyi gösteren 10 suşdan (A3, Ay9, TK4, A9, K1, A4, K4, A5, A6, A2) elde edilen katalazlar için yapılmıştır.

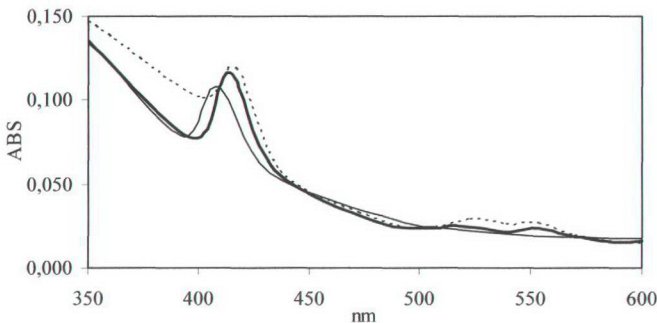
3.4. Termofilik Katalazların Spektroskopik Özellikleri

Termofilik katalazların doğal hallerinin, alkali piridin ditiyonit ile indirgenmiş hallerinin ve KCN ile muamele edilmiş hallerinin absorbansları 350-600 nm arasında tarandi. Bu tarama sonucunda; A3 katalazının doğal hali yalnızca 411 nm'de Soret (γ) pikini verirken, pridin hemokromejen analizinde 415 nm'de Soret, 524 nm'de β -bandı ve 554 nm'de α -bandı piklerini verdiği ve KCN ile Soret pikini 412 nm'de, β -bandı pikini 524 nm'de, α -bandı pikini ise 554 nm'de verdiği gözlenmiştir (Şekil 11).



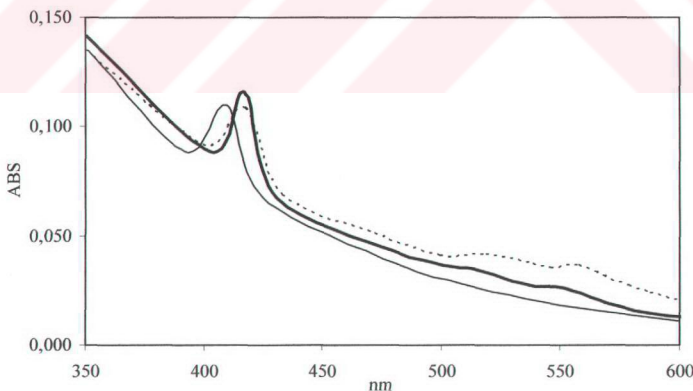
Şekil 11. A3 katalazının 350-600 nm arasındaki absorbsiyon spektrumu (— 50 mM fosfat tampunu (pH 7,5) içindeki doğal katalaz, — 100 mM NaOH, 10 mM piridin ve 2 mM sodyum ditiyonit ile indirgenmiş katalaz, 10 mM KCN ile muamele edilmiş katalaz)

Ay9 katalazının doğal hali 409 nm'de Soret (γ) pikini verirken, pridin hemokromejen analizinde 414, 515 ve 553 nm'lerde pik verdiği ve KCN ile muamele edildikten sonra 412, 522 ve 553 nm'lerde absorbans gösterdiği tespit edilmiştir (Şekil 12).



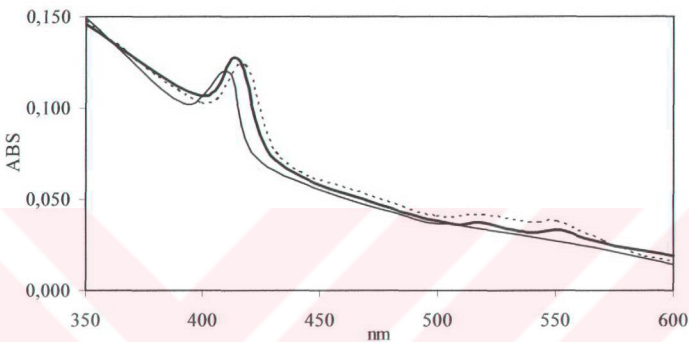
Şekil 12. Ay9 katalazının 350-600 nm arasındaki absorbsiyon spektrumu (— 50 mM fosfat tamponu (pH 7,5) içindeki doğal katalaz, — 100 mM NaOH, 100 mM piridin ve 2 mM sodyum dityyonit ile indirgenmiş katalaz, 10 mM KCN ile muamele edilmiş katalaz)

TK4 katalazının doğal hali 410 nm'de absorbans piki gösterirken, pridin hemokromejen analizinde 417, 514 ve 552 nm'lerde absorbans piki verdiği ve KCN ile muamele edildiğinde 417, 519 ve 558 nm'lerde absorbans piki gösterdiği belirlenmiştir (Şekil 13).



Şekil 13. TK4 katalazının 350-600 nm arasındaki absorbsiyon spektrumu (— 50 mM fosfat tamponu (pH 7,5) içindeki doğal katalaz, — 100 mM NaOH, 100 mM piridin ve 2 mM sodyum dityyonit ile indirgenmiş katalaz, 10 mM KCN ile muamele edilmiş katalaz)

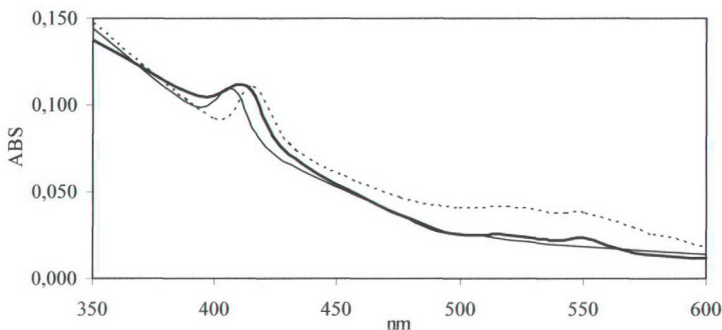
A9 katalazının doğal hali 411 nm'de Soret (γ) pikini verirken, pridin hemokromejen analizinde 415, 518 ve 552 nm'lerde pik verdiği ve KCN ile muamele edildikten sonra 417, 519 ve 550 nm'lerde absorbans gösterdikleri tespit edilmiştir (Şekil 14).



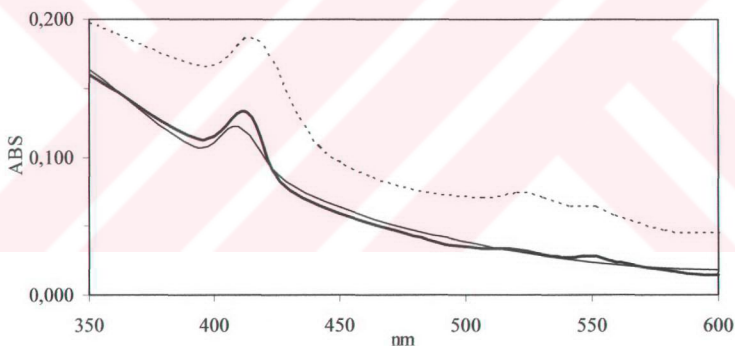
Şekil 14. A9 katalazının 350-600 nm arasındaki absorbсион спектрум (— 50 mM fosfat tamponu (pH 7,5) içindeki doğal katalaz, — 100 mM NaOH, 100 mM piridin ve 2 mM sodyum dityionit ile indirgenmiş katalaz, 10 mM KCN ile muamele edilmiş katalaz)

K1 katalazının doğal hali 408 nm'de absorbans piki gösterirken, pridin hemokromejen analizinde 413, 516 ve 550 nm'lerde absorbans piki verdiği belirlenmiştir. Ayrıca KCN ile muamele edildiğinde Soret bandı pikinin 416 nm'ye kaydığı β ve α bandı piklerini 519 ve 550 nm'lerde gösterdikleri bulunmuştur (Şekil 15).

A4 katalazının doğal hali 409 nm'de absorbans piki gösterirken, pridin hemokromejen analizinde 413, 517 ve 551 nm'lerde absorbans piki gösterdiği ve KCN ile muamele edildiğinde 417, 520 ve 551 nm'lerde absorbans piki verdikleri belirlenmiştir (Şekil 16).

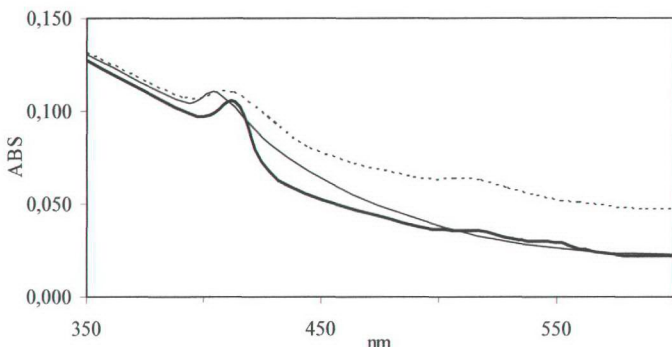


Şekil 15. K1 katalazının 350-600 nm arasındaki absorbsiyon spektrumu (— 50 mM fosfat tamponu (pH 7,5) içindeki doğal katalaz, — 100 mM NaOH, 100 mM piridin ve 2 mM sodyum ditiyonit ile indirgenmiş katalaz, 10 mM KCN ile muamele edilmiş katalaz)



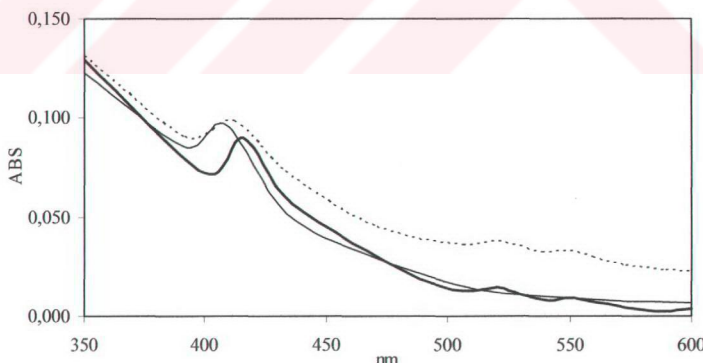
Şekil 16. A4 katalazının 350-600 nm arasındaki absorbsiyon spektrumu (— 50 mM fosfat tamponu (pH 7,5) içindeki doğal katalaz, — 100 mM NaOH, 100 mM piridin ve 2 mM sodyum ditiyonit ile indirgenmiş katalaz, 10 mM KCN ile muamele edilmiş katalaz)

K4 katalazının doğal hali 406 nm'de absorbans piki gösterirken, pridin hemokromejen analizinde 413, 517 ve 552 nm'lerde absorbans piki verdiği belirlenmiştir. KCN ile muamele edildikten sonra, Soret bandı pikini 413 nm'de, β ve α bandı piklerini 518 ile 559 nm'lerde gösterdikleri tespit edilmiştir (Şekil 17).



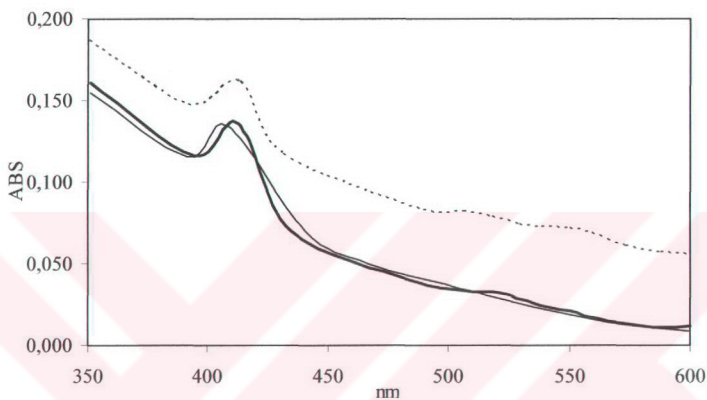
Şekil 17. K4 katalazının 350-600 nm arasındaki absorbsiyon spektrumu (— 50 mM fosfat tamponu (pH 7,5) içindeki doğal katalaz, — 100 mM NaOH, 100 mM piridin ve 2 mM sodyum ditiyonit ile indirgenmiş katalaz, 10 mM KCN ile muamele edilmiş katalaz)

A5 katalazının doğal hali 408 nm'de absorbans piki gösterirken, pridin hemokromejen analizinde 416, 520 ve 550 nm'larda pik gösterdiği ve KCN ile muamele edildiğinde 412, 518 ve 550 nm'larda absorbans piki gösterdikleri belirlenmiştir (Şekil 18).



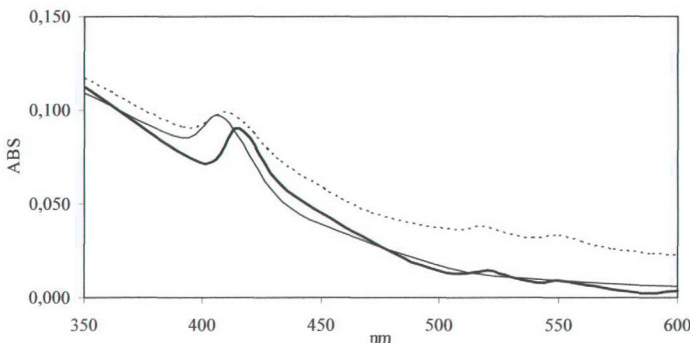
Şekil 18. A5 katalazının 350-600 nm arasındaki absorbsiyon spektrumu (— 50 mM fosfat tamponu (pH 7,5) içindeki doğal katalaz, — 100 mM NaOH, 100 mM piridin ve 2 mM sodyum ditiyonit ile indirgenmiş katalaz, 10 mM KCN ile muamele edilmiş katalaz)

A6 katalazının doğal hali 408 nm'de Soret piki verirken, piridin ditiyonit ile indirgenmesi sonuncunda 413, 521 ve 550 nm'lerde pik verdikleri tespit edilmiştir. Ayrıca, KCN ile muamele edildikten sonra 413, 518 ve 550 nm'lerde absorbans gösterdikleri belirlenmiştir (Şekil 19).



Şekil 19. A6 katalazının 350-600 nm arasındaki absorbsiyon spektrumu (— 50 mM fosfat tampunu (pH 7,5) içindeki doğal katalaz, — 100 mM NaOH, 100 mM piridin ve 2 mM sodyum ditiyonit ile indirgenmiş katalaz, 10 mM KCN ile muamele edilmiş katalaz)

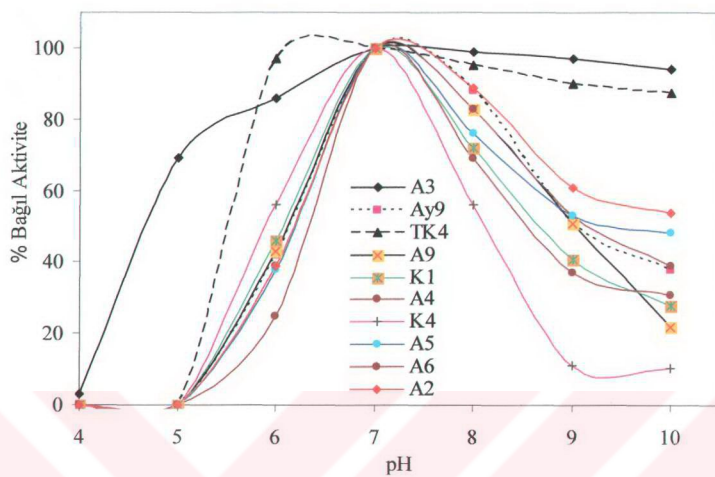
Son olarak, A2 katalazının doğal hali 408 nm'de absorbans piki gösterirken, pridin hemokromejen analizi sonucunda 416, 520 ile 550 nm'lerde absorbans piki verdiği ve KCN ile muamele edildiğinde Soret bandı pikinin 412 nm'ye kaydığını β ve α bandı piklerini 518 ve 550 nm'lerde gösterdiği tespit edilmiştir (Şekil 20).



Şekil 20. A2 katalazının 350-600 nm arasındaki absorbsiyon spektrumu (_____ 50 mM fosfat tamponu (pH 7,5) içindeki doğal katalaz, _____ 100 mM NaOH, 100 mM piridin ve 2 mM sodyum ditiyonit ile indirgenmiş katalaz, 10 mM KCN ile muamele edilmiş katalaz)

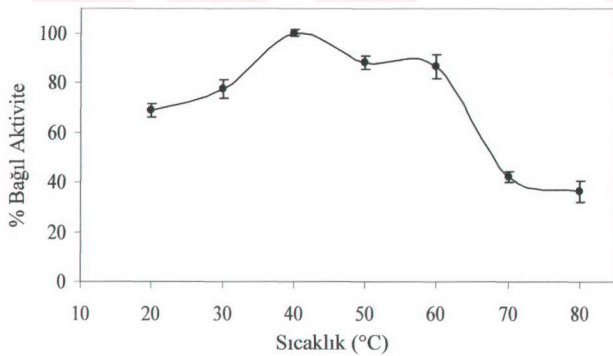
3.5. pH ve Sıcaklığın Termofil Bakterilerdeki Katalaz Aktivitesi Üzerine Etkisi

Termofilik kültürlerden elde edilen katalazların hepsinin pH 7,0'de en yüksek aktivite gösterdikleri saptanmıştır (Şekil 21). A3 suşundan elde edilen katalazın pH 7,0'de en yüksek aktiviteyi (%100) gösterdiği ve pH 8,0'de %99, pH 9,0'da %97, pH 10'da %94 oranında ilk aktiviteyi koruduğu gözlenmiştir. Aynı şekilde TK4 suşundan elde edilen katalazın da pH 6,0'da %97, pH 7,0'de %100, pH 8,0'de %95, pH 9,0'da %90 ve pH 10'da %88 oranında ilk aktiviteyi koruduğu belirlenmiştir. Diğer suşlardan elde edilen katalazlarda pH 8,0'de Ay 9'un %88, A9'un %83, K1'in %72, A4'un %83, K4'un %56, A5'in %76, A6'in %69 ve A2'in %89 oranında ilk aktiviteyi koruduğu bulunmuştur. A3 suşundan elde edilen katalazın pH 4,0'de %3 ve pH 5,0'de %69 oranında aktivitesini koruduğu görülmüşken, diğer bütün suşlardan elde edilen katalazların ise bu pH değerlerinde aktivite göstermedikleri tespit edilmiştir.



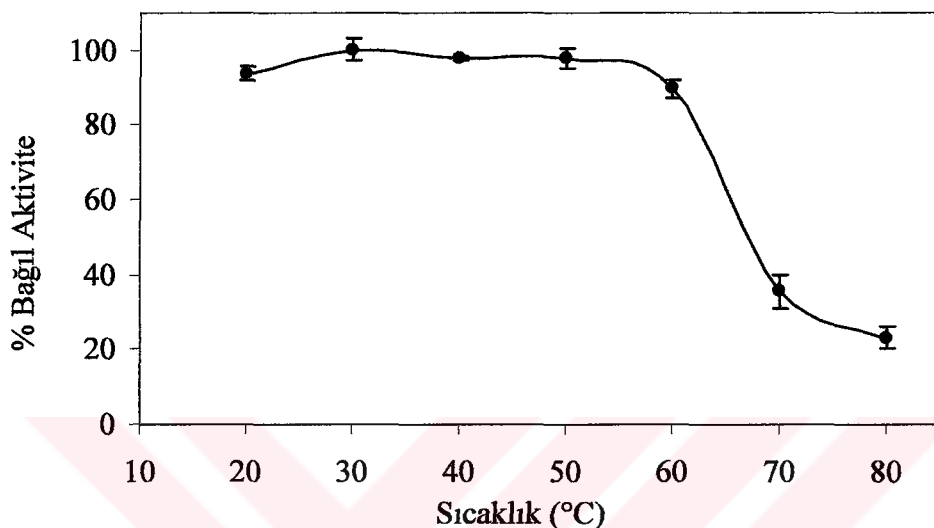
Şekil 21. Termofilik suşlardan elde edilen katalazların aktivite-pH değişimi

Termofilik bakterilerden elde edilen katalaz aktiviteleri 20–80 °C arasındaki sıcaklıklarda ölçülmüştür. A3 suşundan elde edilen katalaz 40 °C'de en yüksek aktiviteyi gösterirken, 30 °C'de %77, 50–60 °C'lerde %88, 70 °C'de %42 ve 80 °C'de ise %36 oranında aktiviteyi koruduğu belirlenmiştir (Şekil 22).



Şekil 22. A3 suşundan elde edilen katalaz aktivitesinin sıcaklıkla ilişkisi

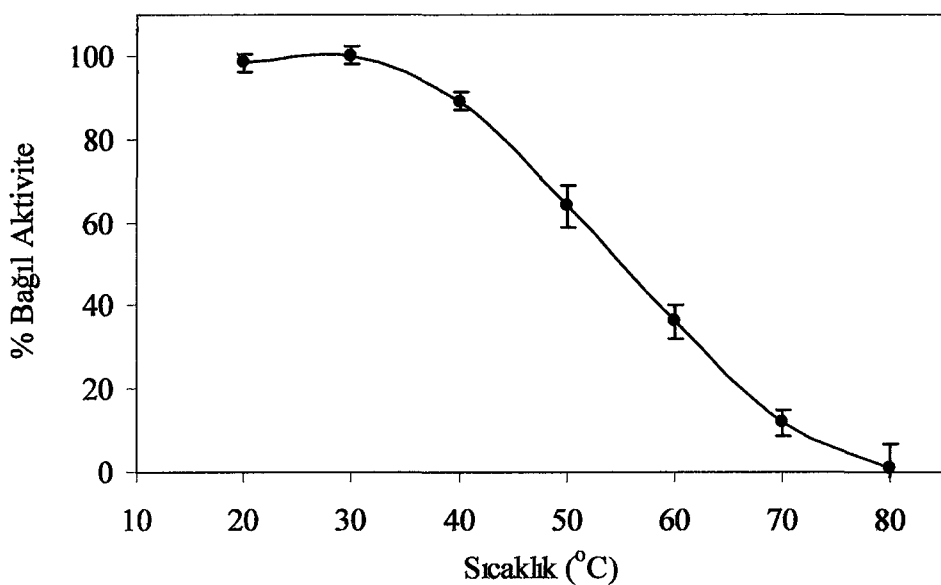
Ay9 suşundan elde edilen katalazın 20–60 °C gibi geniş bir aralıkta aktivitesini koruduğu (%90–100) ve en yüksek aktiviteyi 30 °C’de gösterdiği tespit edilmiştir (Şekil 23). Ayrıca Ay9 katalazının, 70 ve 80 °C’lerde sırasıyla %35 ile %23 oranlarında aktivite gösterdiği belirlenmiştir.



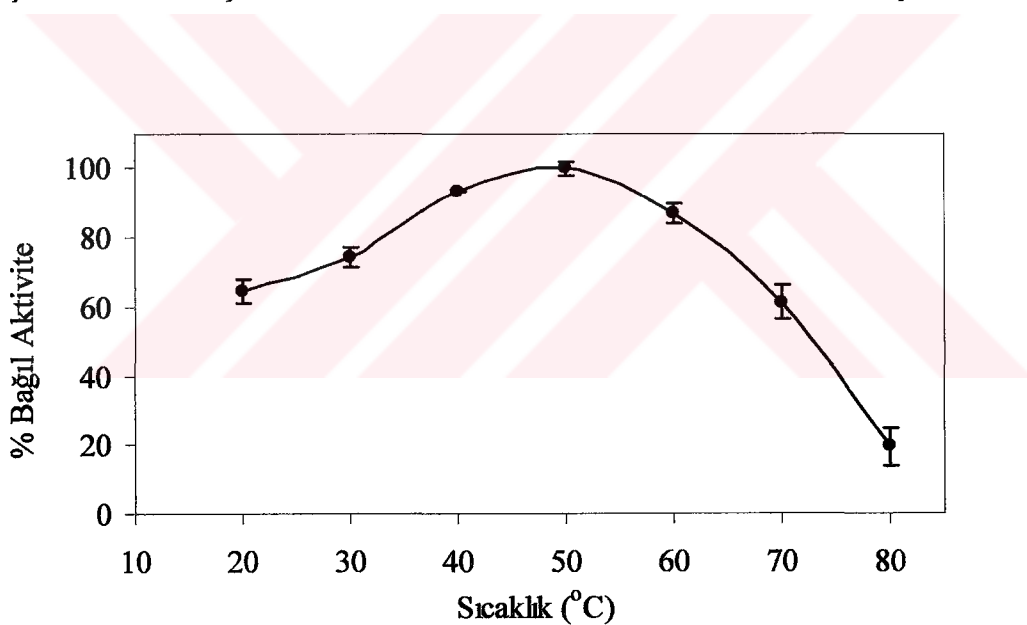
Şekil 23. Ay9 suşundan elde edilen katalaz aktivitesinin sıcaklıkla ilişkisi

TK4 suşundan elde edilen katalazın en yüksek aktiviteyi 30 °C’de gösterdiği ve 20 °C’de %94, 40 °C’de %89 oranında aktivite gösterdiği belirlenmiştir. 50 °C üzerindeki sıcaklıklarda aktivitenin % 64’ün altına düştüğü ve 80 °C’de ise katalaz aktivitesinin tamamen kaybolduğu tespit edilmiştir (Şekil 24).

A9 suşundan elde edilen katalazın 50 °C’de en yüksek aktiviteyi gösterdiği belirlenmiştir. Ayrıca 40 °C’de %94 ve 60 °C’de %87 oranında aktivite gösterirken, 70 °C’de % 61 oranında aktivite gösterdiği, 80 °C’de ise bu aktivitenin %19'a düşüğü gözlenmiştir (Şekil 25).

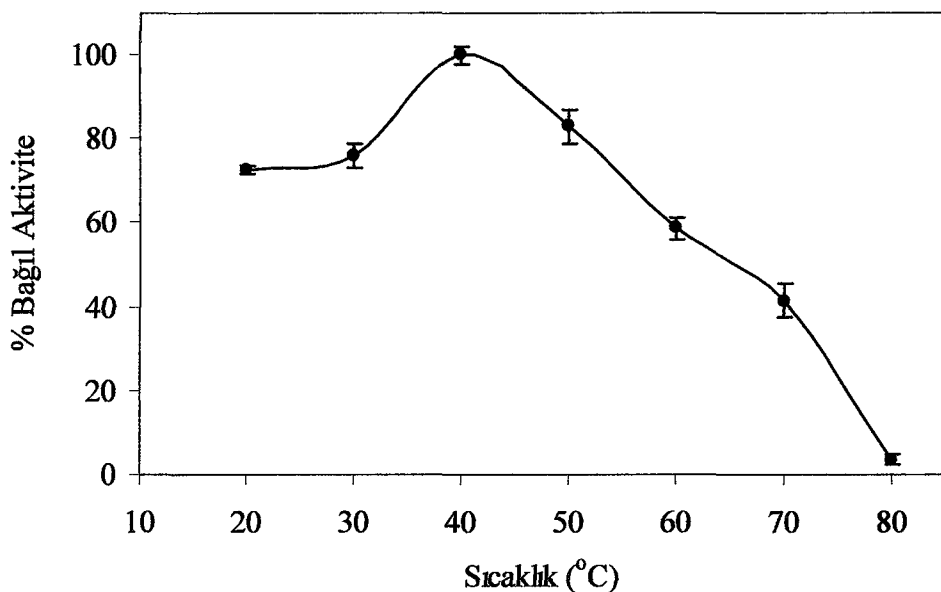


Şekil 24. TK4 suşundan elde edilen katalaz aktivitesinin sıcaklıkla ilişkisi



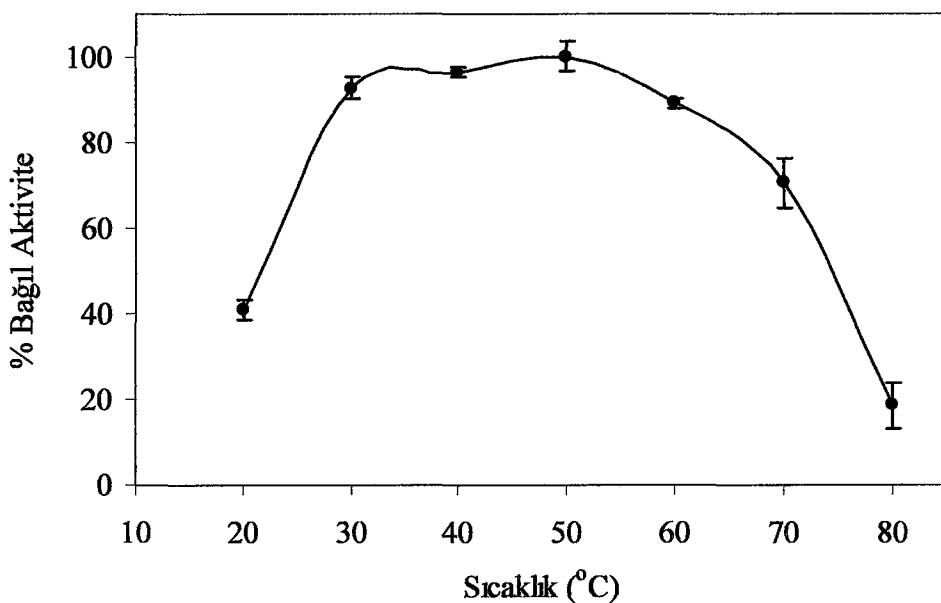
Şekil 25. A9 suşundan elde edilen katalaz aktivitesinin sıcaklıkla ilişkisi

K1 suşundan elde edilen katalazın 20 °C'de %72, 30 °C'de %76, 50 °C'de %83 oranında aktivite gösterdiği belirlenirken, 40 °C'de en yüksek aktivite gösterdiği tespit edilmiştir. Ayrıca, 60 °C'nin üzerindeki sıcaklıklarda aktivitenin % 60'ın altına düştüğü ve 80 °C'de ise, aktivitenin hemen kaybolduğu belirlenmiştir (Şekil 26).



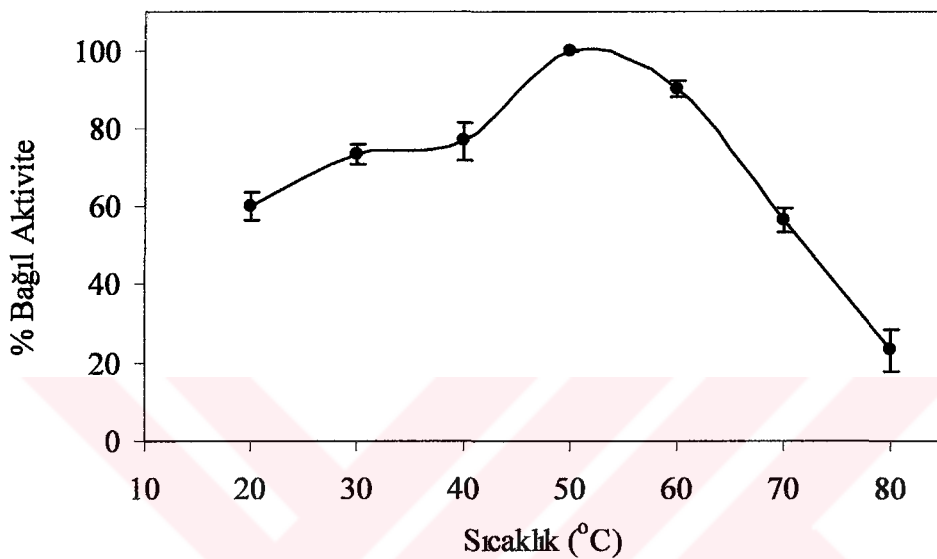
Şekil 26. K1 suşundan elde edilen katalaz aktivitesinin sıcaklıkla ilişkisi

A4 suşundan elde edilen katalazın 30 ile 60 °C arasında yüksek aktivite (%90–100 arasında) gösterdiği tespit edilmiştir (Şekil 27). A4 katalazının en yüksek aktiviteyi 50 °C’de gösterdiği, 70 °C’de % 70 oranında aktiviteyi koruduğu ve 80 °C’de % 20 oranında aktivite gösterdiği saptanmıştır.



Şekil 27. A4 suşundan elde edilen katalaz aktivitesinin sıcaklıkla ilişkisi

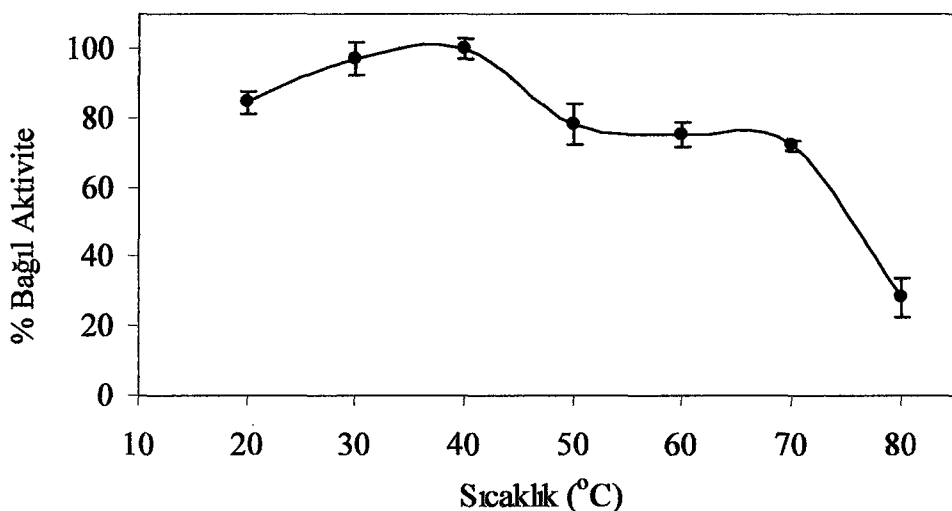
K4 suşundan elde edilen katalazın %100 oranındaki aktiviteyi, 50 °C'de gösterdiği tespit edilmiştir. Ayrıca bu suştan elde edilen katalazın 20 °C'de %60, 30 °C'de %73, 40 °C'de %77, 60 °C'de %90, 70 °C'de %57 ve 80 °C'de %23 oranında aktivite gösterdiği belirlenmiştir (Şekil 28).



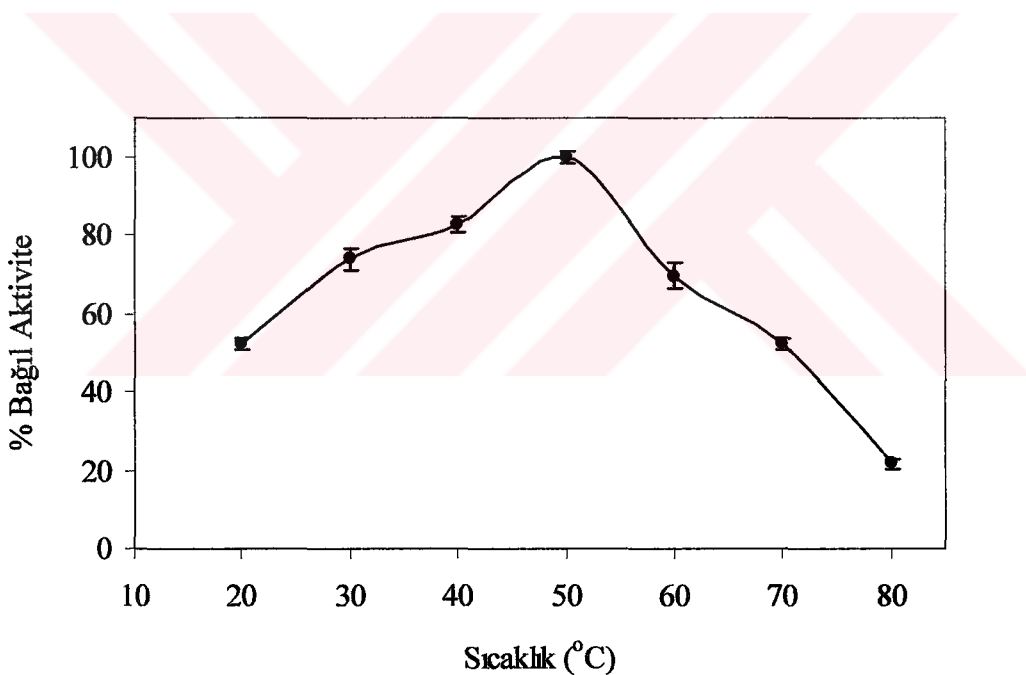
Şekil 28. K4 suşundan elde edilen katalaz aktivitesinin sıcaklıkla ilişkisi

A5 suşundan elde edilen katalazın en yüksek aktiviteyi 40 °C'de gösterdiği ve 20 °C'de %84, 30 °C'de %97 oranında aktivite gösterdiği gözlenmiştir. Yine bu katalaz 50 °C'de %78, 60 °C'de %75, 70 °C'de %72 oranında aktivite gösterirken, 80 °C'de ise sadece % 28 oranında aktivite gösterdiği belirlenmiştir (Şekil 29).

A6 suşundan elde edilen katalazın en yüksek aktiviteyi 50 °C'de gösterdiği tespit edilmiştir. A6 katalazının 20°C'de %52, 30 °C'de %74, 40 °C'de %83, 60 °C'de %70, 70 °C'de % 52 oranlarında aktiviteyi koruduğu ve 80 °C'de aktivitenin % 22 oranına düşüğü belirlenmiştir (Şekil 30).

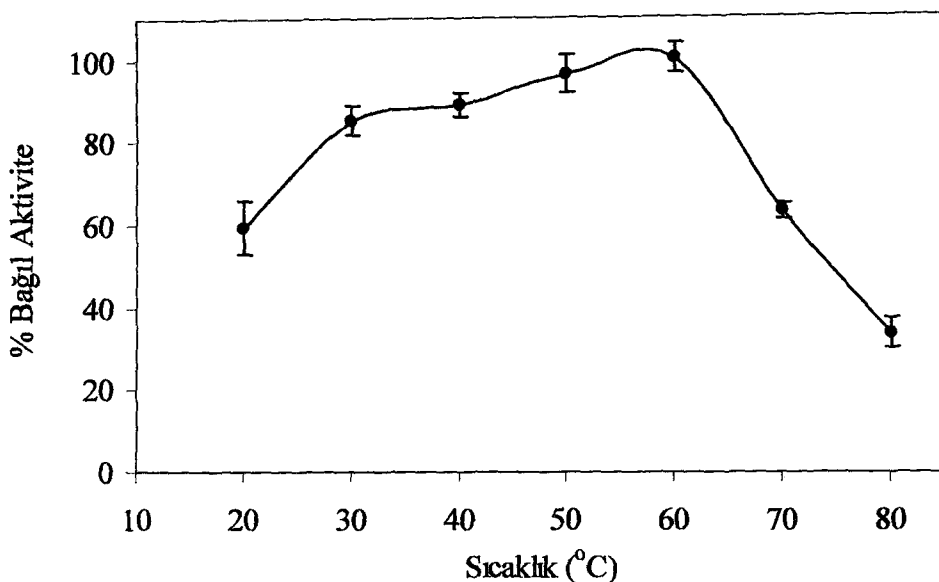


Şekil 29. A5 suşundan elde edilen katalaz aktivitesinin sıcaklıkla ilişkisi



Şekil 30. A6 suşundan elde edilen katalaz aktivitesinin sıcaklıkla ilişkisi

A2 suşundan elde edilen katalazın ise, en yüksek aktivite gösterdiği sıcaklık 60 °C olarak belirlenmiş olup, 50 °C'de de %96 oranında aktivite gösterdiği tespit edilmiştir. Ayrıca bu suştan elde edilen katalazın 20 °C'de %59, 30 °C'de %85, 40 °C'de %89, 70 °C'de %63 ve 80 °C'de %33 oranında aktiviteyi koruduğu saptanmıştır (Şekil 31).

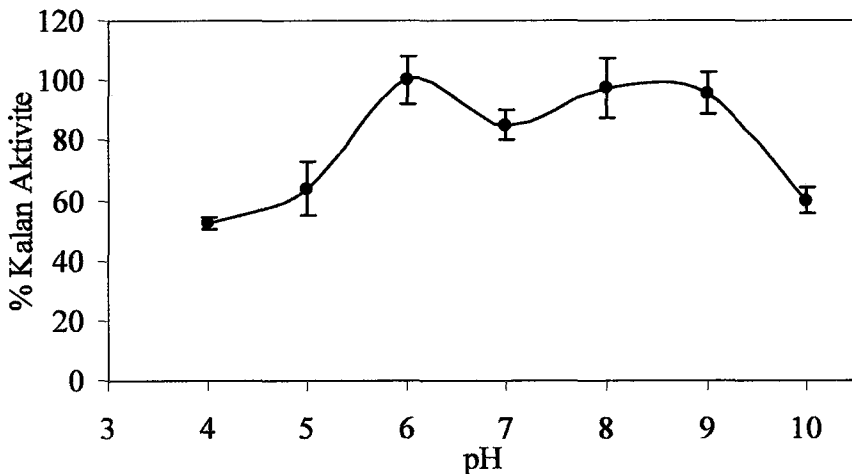


Şekil 31. A2 suşundan elde edilen katalaz aktivitesinin sıcaklıkla ilişkisi

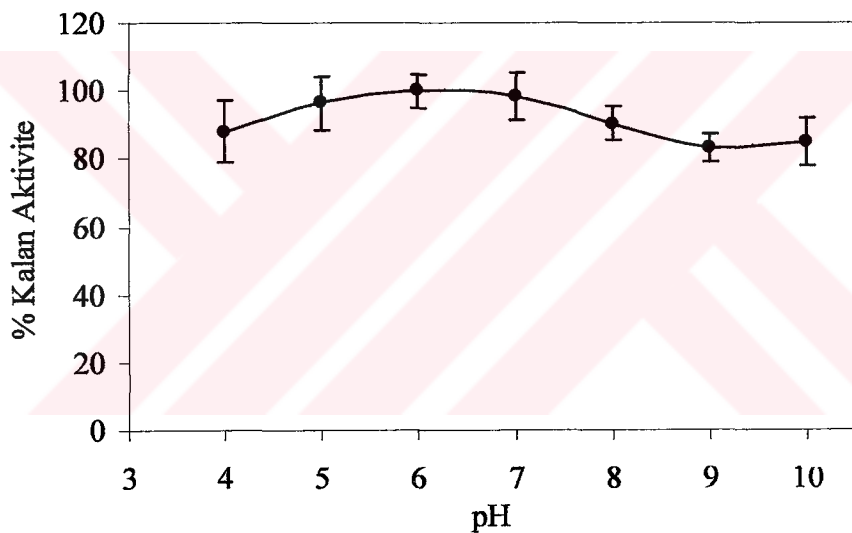
3.6. Termofilik Katalazların pH Kararlılıklarını

Termofilik suşlardan elde edilen katalazların pH 4,0-10,0 arasında 24 saat bekletildikten sonra ölçülen aktiviteleri, ilk aktivitelerine oranlanarak kalan aktiviteleri yüzde olarak hesaplanmıştır. A3 suşundan elde edilen katalazın 24 saat bekletilme sonrası pH 6,0'da en kararlı olduğu ve pH 7,0-9,0 arasında da ilk aktivitesini büyük bir oranda (%85-98) koruduğu belirlenmiştir (Şekil 32). A3 katalazının pH 10,0'da ise, ilk aktivitesini %40 oranda kaybettiği görülmüştür.

Ay9 suşundan elde edilen katalazın tüm pH değerlerinde büyük oranda ilk aktiviteyi koruduğu belirlenmiştir. Ay9 katalazı en yüksek oranda ilk aktiviteyi pH 6,0'da korurken bunu sırasıyla, pH 7,0 (%98), pH 5,0 (%96), pH 8,0 (%90), pH 4,0 (%87), pH 10,0 (%85) ve pH 9,0'un (%84) izlediği görülmüştür (Şekil 33).

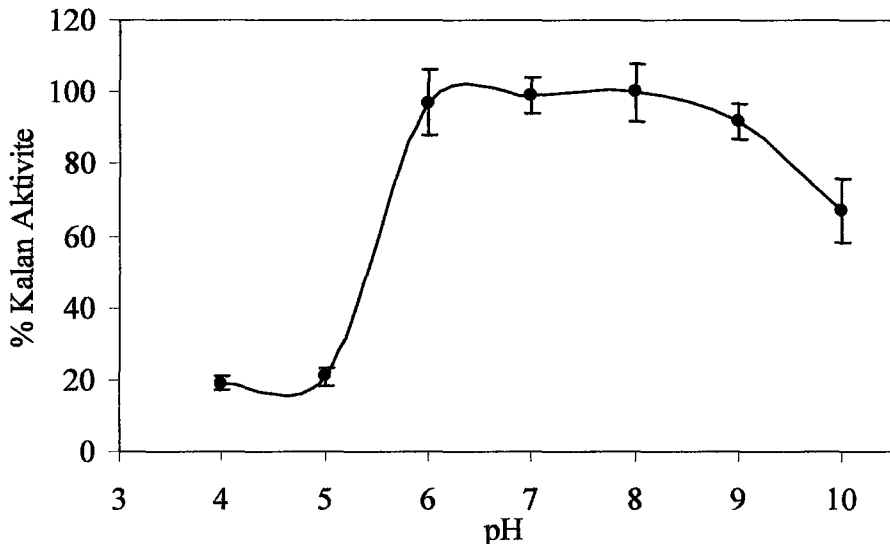


Şekil 32. A3 suşundan elde edilen katalazın pH kararlılık grafiği



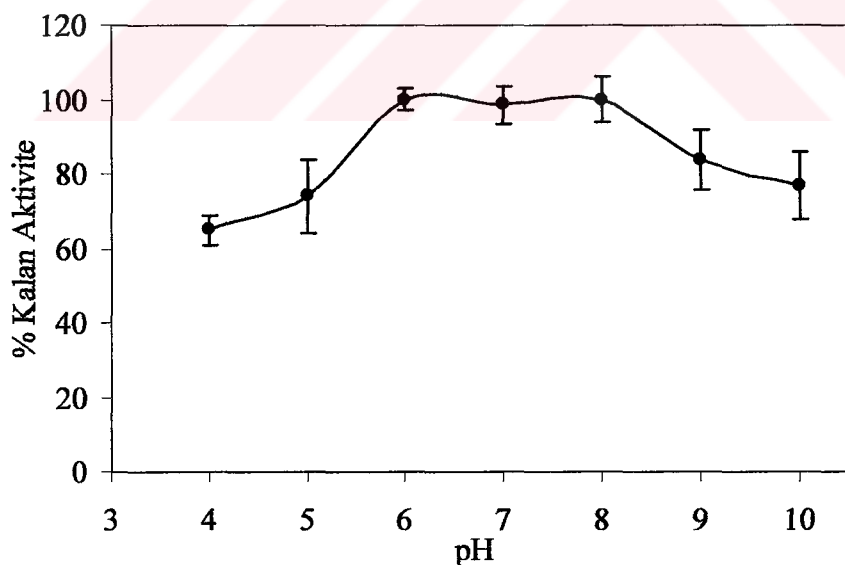
Şekil 33. Ay9 suşundan elde edilen katalazın pH kararlılık grafiği

TK4 suşundan elde edilen katalazın pH 6,0-9,0 arasında kararlı kaldığı tespit edilmiştir. pH 8,0'de en kararlı olan TK4 katalazı pH 7,0'de %99, pH 6,0'da %97, pH 9,0'da %92 oranlarında kararlı olduğu belirlenmiştir. Ayrıca pH 4,0 ve pH 5,0'de aktivitesini büyük bir oranda kaybettiği, pH 10,0'da ise ilk aktivitesini %67 oranında koruduğu gözlenmiştir (Şekil 34).



Şekil 34. TK4 suşundan elde edilen katalazın pH kararlılık grafiği

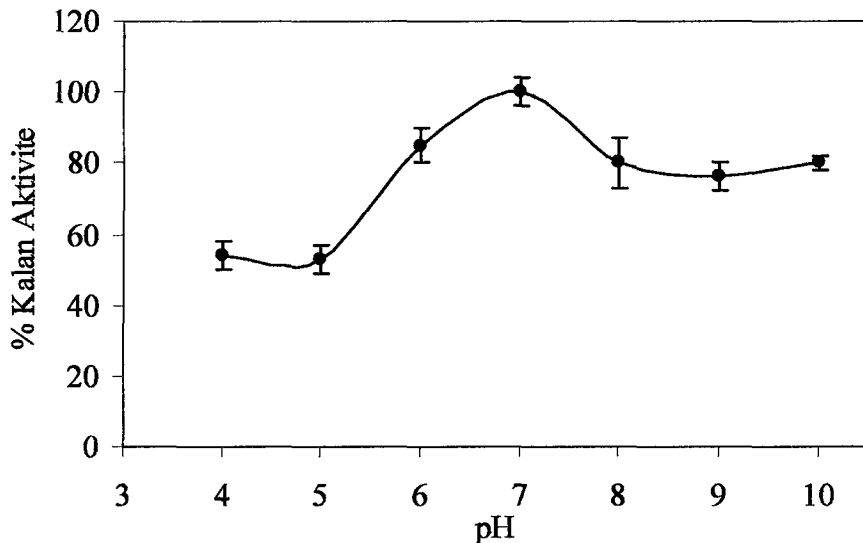
A9 suşundan elde edilen katalazın pH 6,0-8,0 arasında kararlı olduğu tespit edilmiş ve pH 9,0'da %84, pH 10,0'da %77, pH 5,0'de %74 ve pH 4,0'de %65 oranlarında ilk aktivitesini koruduğu belirlenmiştir (Şekil 35).



Şekil 35. A9 suşundan elde edilen katalazın pH kararlılık grafiği

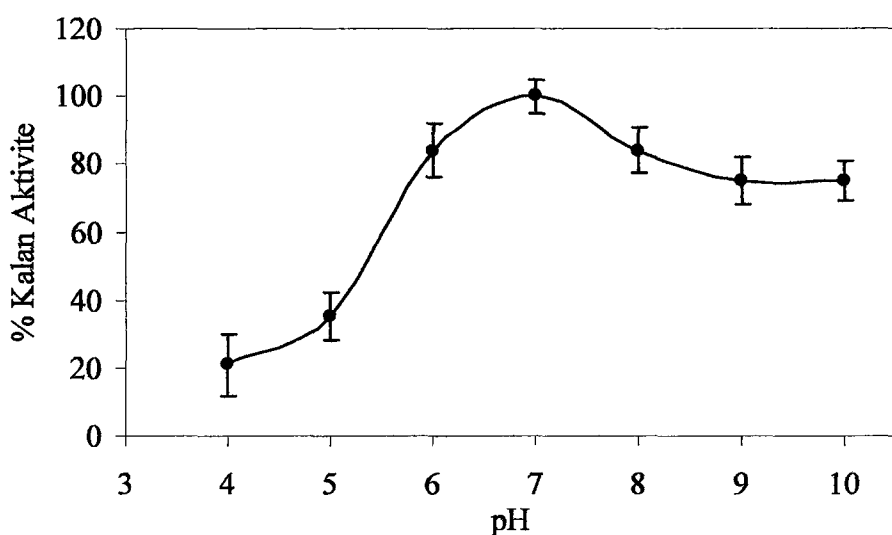
K1 suşundan elde edilen katalazın pH 7,0'de kararlı olduğu tespit edilmiştir. Bunun yanında pH 6,0'da ilk aktivitesini %85 oranında, pH 8,0 ve pH 10,0'da %80, pH 9,0'da

%76 oranlarında korurken, pH 4,0 ve 5,0'de ise bu oranın %55'in altına düşüğü görülmüştür (Şekil 36).



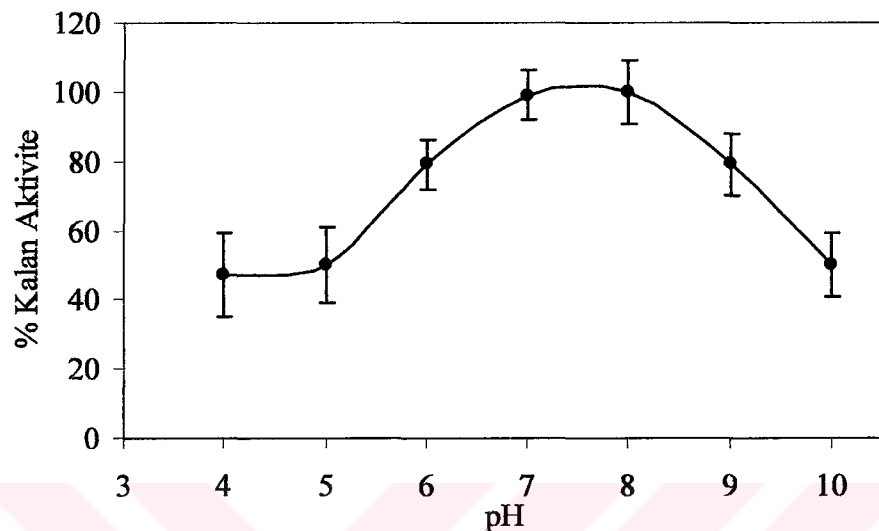
Şekil 36. K1 suşundan elde edilen katalazın pH kararlılık grafiği

A4 suşundan elde edilen katalazın pH 7,0 'de en kararlı olduğu, pH 6,0 ve 8,0'de aktivitesini büyük bir oranda (%84) koruduğu gözlenmiştir (Şekil 37). Yüksek pH'lar da ilk aktivitesini %75 oranında muhafaza ederken, düşük pH'larda ilk aktivitesini ortalama %70 oranında kaybettiği gözlenmiştir.



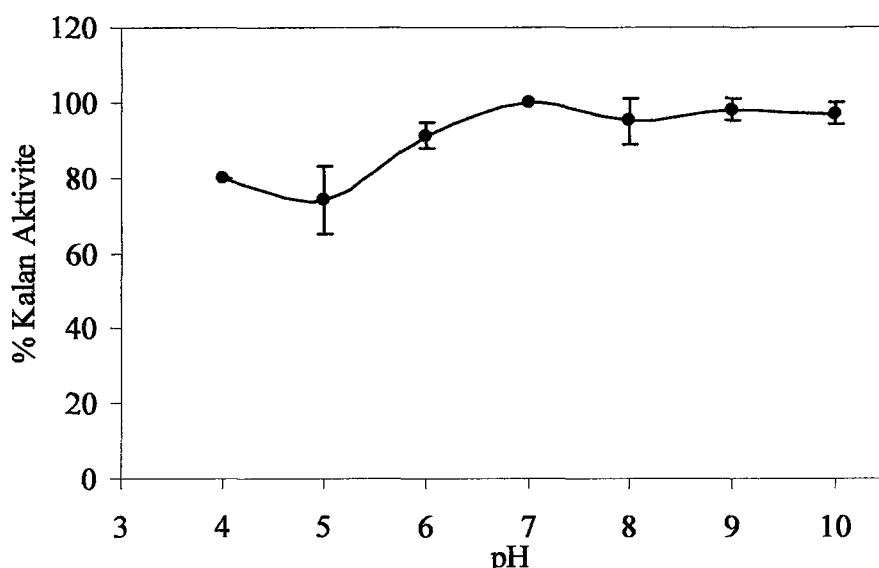
Şekil 37. A4 suşundan elde edilen katalazın pH kararlılık grafiği

K4 suşundan elde edilen katalazın, pH 7,0-8,0 arasında kararlı kaldığı, pH 6,0 ve 9,0'da aktivitesini %79 oranında koruduğu belirlenmiştir. Diğer pH değerlerinde K4 katalazının ilk aktivitesinin % 50'sini kaybettiği tespit edilmiştir (Şekil 38).



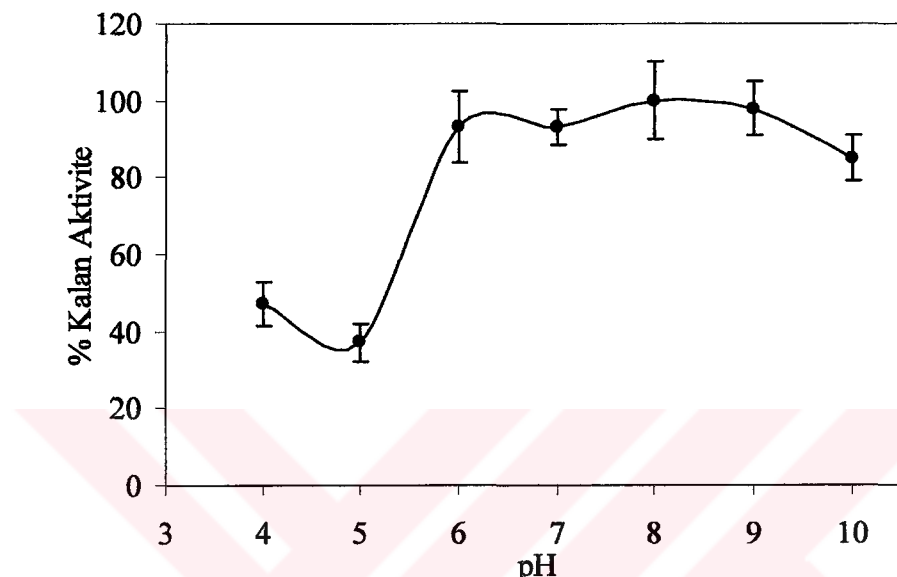
Şekil 38. K4 suşundan elde edilen katalazın pH kararlılığı grafiği

A5 suşundan elde edilen katalazın 6,0–10,0 arasındaki pH değerlerinde büyük bir oranda (%91–100) kararlı olduğu tespit edilmiştir (Şekil 39). A5 katalazının, düşük pH değerlerinde ise ilk aktivitesini %74–80 oranlarında koruyıldığı görülmüştür.



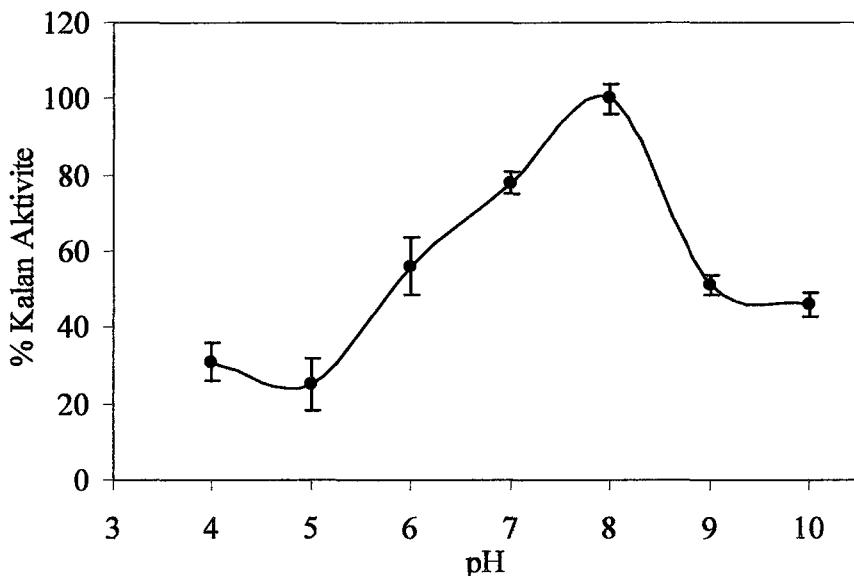
Şekil 39. A5 suşundan elde edilen katalazın pH kararlılığı grafiği

A6 suşundan elde edilen katalazın pH 6,0'ın üzerindeki değerlerinde büyük oranda kararlılığını korurken, düşük pH değerlerinde ise ilk aktivitesini büyük oranda kaybettiği belirlenmiştir (Şekil 40). A6 katalazının, pH 6,0 ile pH 7,0 değerlerinde %93 oranında, pH 9,0'da %98 ve pH 10,0'da %85 oranlarında kararlı olduğu tespit edilmiştir.



Şekil 40. A6 suşundan elde edilen katalazın pH kararlılık grafiği

A2 katalazı ise 24 saat bekletme süresi sonunda pH 4,0'de %31, pH 5,0'de %25, pH 6,0'da %56, pH 7,0'de %78, pH 8,0'de %100, pH 9,0'da %51, pH 10,0'da %46 oranlarında ilk aktiviteyi koruduğu tespit edilmiştir (Şekil 41). Bu verilerden de anlaşıldığı gibi, A2 katalazının pH 8,0'de kararlı iken, pH 7,0'de kısmen kararlı olduğu ve diğer pH değerlerinde ise oldukça kararsız olduğu görülmüştür.

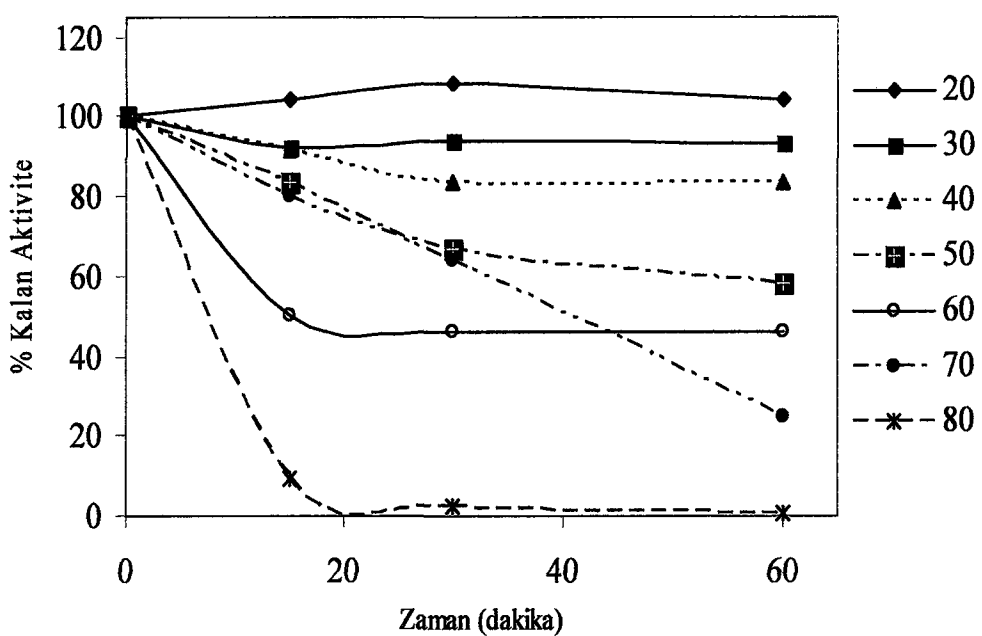


Şekil 41. A2 suşundan elde edilen katalazın pH kararlılık grafiği

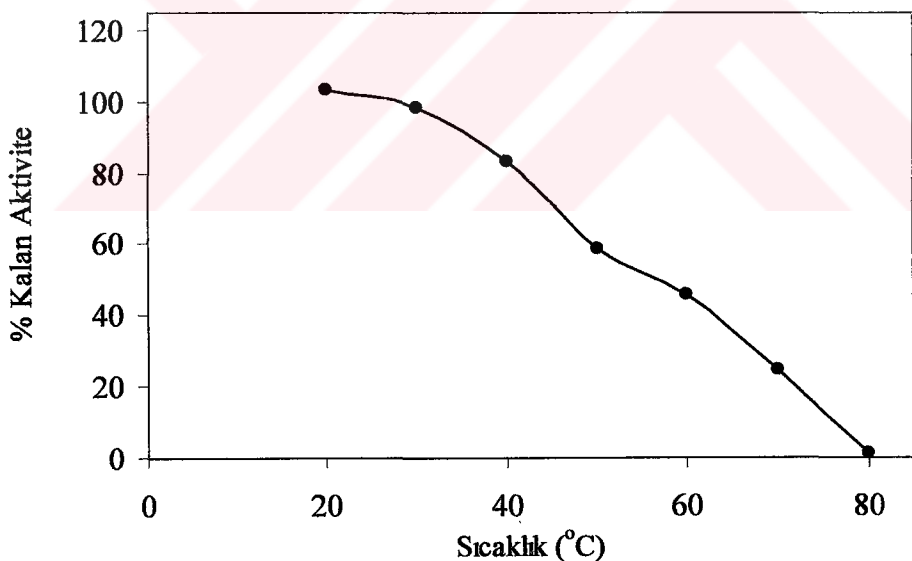
3.7. Termofilik Katalazların İşıl Kararlılıklarını

Termofilik suşlardan elde edilen katalazların, 20–80 °C arasındaki sıcaklıklarda 15, 30 ve 60 dakikalık inkübasyon süreleri sonucunda bulunan aktiviteleri, ısıtılmadan önceki aktivitelerine oranlanarak kalan aktiviteleri hesaplanmıştır.

A3 suşundan elde edilen katalazın 20 ile 40 °C arasında işıl kararlılığı gösterdiği, 80 °C'de ise aktivitesini kaybettiği gözlenmiştir (Şekil 42). A3 katalazının ilk aktivitesini 15 dakika bekletme süresi sonunda 20 °C'de %104, 30 ile 40 °C'de %92, 50 °C'de %84, 70 °C'de %80 oranlarında koruduğu saptanmıştır. 20 °C'de ilk aktivitenin 30 dakika sonunda %108'ini, 60 dakika sonunda %104'ünü koruduğu tespit edilmiştir. 30 °C'de 30 ile 60 dakika bekletme süreleri sonunda %2 oranında, 40 °C'de ise 30 ile 60 dakika sonunda % 16 oranında aktivitede bir azalmanın olduğu belirlenmiştir. 60 °C'de aktivitenin 15 dakika bekletme sonrasında % 50, 30 ve 60 dakika sonunda ise %46 oranında korunduğu gözlenmiştir. 80 °C'de 15 dakika bekletme süresi sonunda %9 oranında korunan aktivitenin, 60 dakika sonunda tamamen kaybolduğu gözlenmiştir (Şekil 43). Ayrıca A3 katalazının aktivasyon enerjisi (E_a) 70207 J mol^{-1} olarak hesaplanmış olup, termodinamik verilerden de 30 °C'ye kadar kararlı olduğu, 40 °C'de kısmen kararlı olduğu belirlenmiştir (Tablo 9).



Şekil 42. A3 katalazının termal kararlılık grafiği

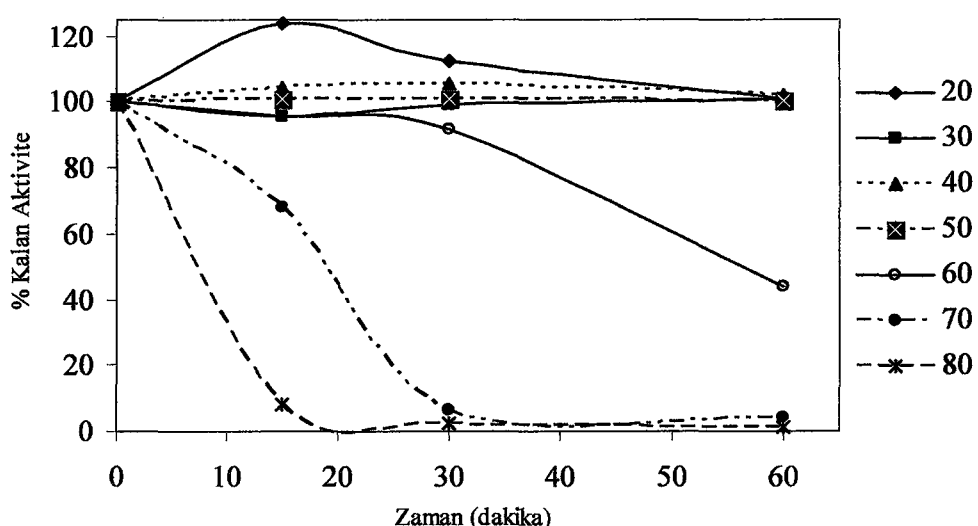


Şekil 43. A3 katalazının 60. dakikadaki termal kararlılık grafiği

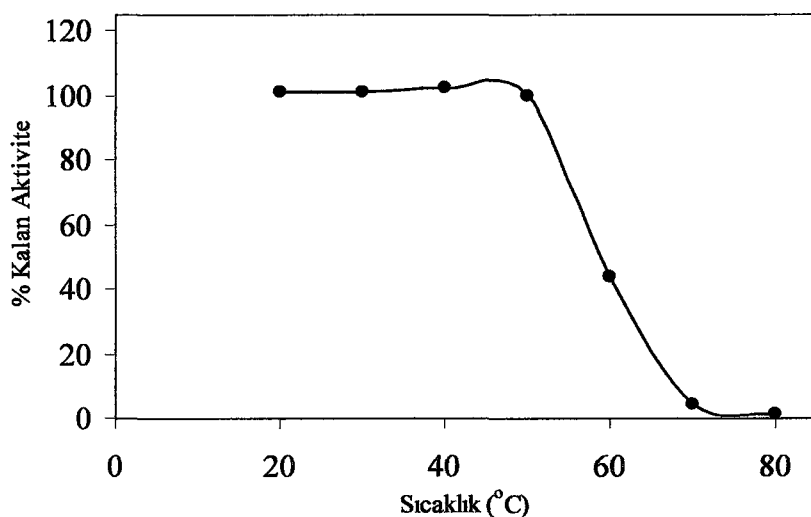
Tablo 9. A3 katalazına ait termodinamik parametreler

Sıcaklık (°K)	$k \times 10^{-5}$ (s ⁻¹)	$\Delta G^\#$ (J mol ⁻¹)	$\Delta H^\#$ (J mol ⁻¹)	$\Delta S^\#$ (J mol ⁻¹ K ⁻¹)
293	1,3	300775	67771	-795
303	1,9	312081	67688	-806
313	5,0	325014	67605	-822
323	15,0	338401	67521	-838
333	21,6	349972	67438	-848
343	38,0	362177	67355	-860
353	132,0	376475	67272	-876

Ay9 suşundan elde edilen katalazın 20-60 °C gibi geniş bir sıcaklık aralığında kararlı kaldığı, 70 ve 80 °C'lerde 60 dakika bekletme süreleri sonunda aktivitelerinin büyük bir kısmını kaybettikleri tespit edilmiştir (Şekil 44-45). Ayrıca 60 °C'de 15 dakika bekleme süresi sonunda ilk aktivitesini %96, 30 dakika sonunda %92 oranında korurken, 60 dakika bekleme süresi sonunda bu oranın % 44'e düşüğü belirlenmiştir. Yine aynı şekilde 70 °C'de ilk 15 dakikada %68 oranında korunan aktivitenin, 60 dakika sonunda %96 oranında azlığı gözlenmiştir. Ayrıca Ay9 katalazının Ea değeri 140598 J mol⁻¹ olarak hesaplanmış olup, termodinamik verilerden de 50 °C'ye kadar kararlı olduğu tespit edilmiştir (Tablo 10).



Şekil 44. Ay9 katalazının termal kararlılık grafiği

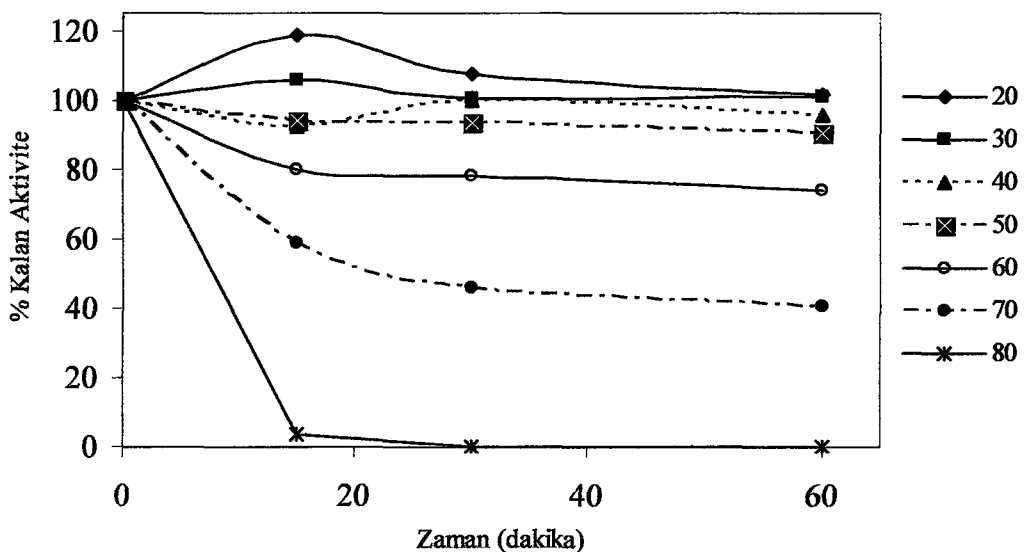


Şekil 45. Ay9 katalazının 60. dakikadaki termal kararlılık grafiği

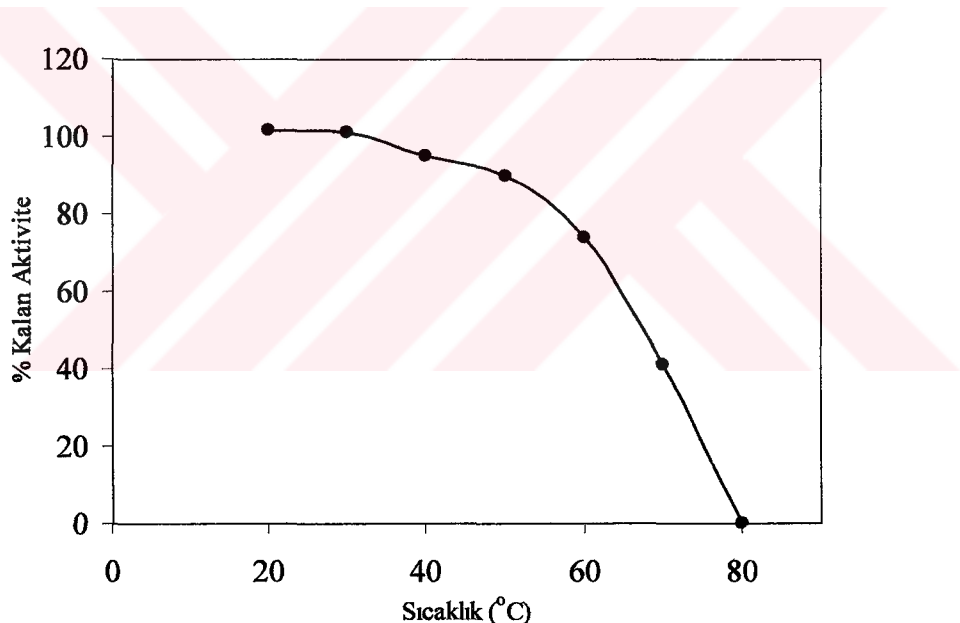
Tablo 10. Ay9 katalazına ait termodinamik parametreler

Sıcaklık (°K)	$k \times 10^{-5}$ (s ⁻¹)	$\Delta G^\#$ (J mol ⁻¹)	$\Delta H^\#$ (J mol ⁻¹)	$\Delta S^\#$ (J mol ⁻¹ K ⁻¹)
293	0,69	299232	81926	-742
303	0,69	309529	81843	-751
313	0,69	319829	81760	-761
323	0,69	330132	81677	-769
333	22,8	350122	81594	-806
343	88,0	364572	81510	-825
353	127,0	376362	81427	-836

TK4 katalazının 20 ile 30 °C'lerde kararlı kaldığı ve 40 ile 50 °C'lerde ise aktivitenin büyük bir kısmının (%91-96 oranlarında) korunduğu saptanmıştır (Şekil 46). 60 dakika bekleme süresi sonunda 20 ile 30 °C sıcaklıklarda %101, 40 °C'de %96, 50 °C'de %91, 60 °C'de %74 oranlarında aktivite gösterdiği, 70 °C'de %41 oranında korunan aktivitenin 80 °C'de tamamen kaybolduğu belirlenmiştir (Şekil 47).



Şekil 46. TK4 katalazının termal kararlılık grafiği



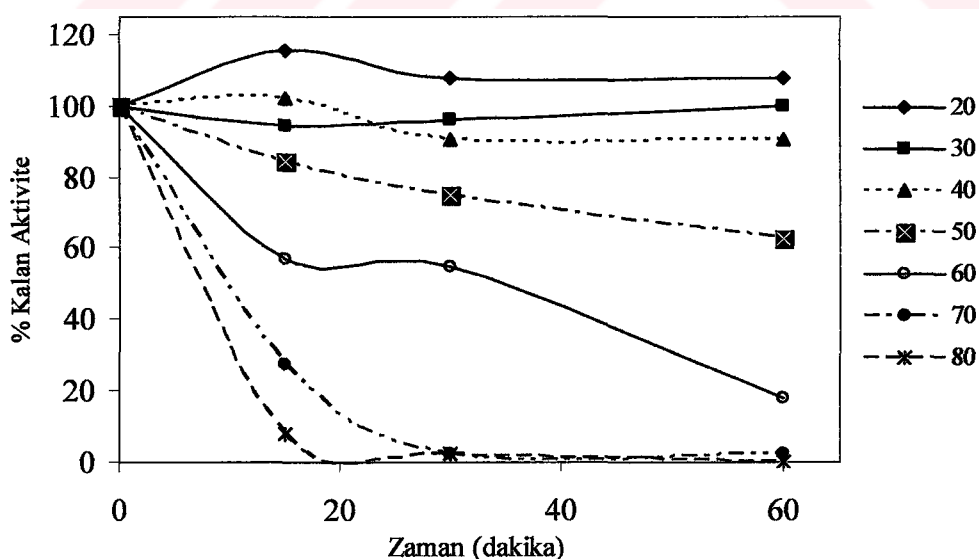
Şekil 47. TK4 katalazının 60. dakikadaki termal kararlılık grafiği

Ayrıca TK4 katalazının E_a değeri $108190 \text{ J mol}^{-1}$ olarak hesaplanmış olup, termodinamik verilerden de $50 \text{ }^{\circ}\text{C}$ 'ye kadar kararlı olduğu tespit edilmiştir. $60 \text{ }^{\circ}\text{C}$ 'nin üzerindeki sıcaklıklarda $\Delta S^\#$ değerinin aniden arttığı ve enzimin denatüre olmaya başladığı belirlenmiştir (Tablo 11).

Tablo 11. TK4 katalazına ait termodinamik parametreler

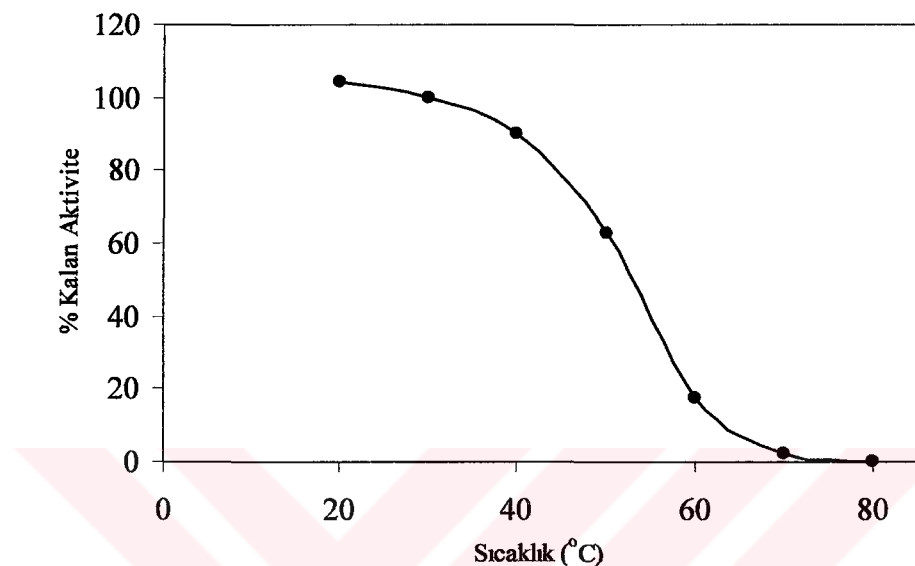
Sıcaklık (°K)	$k \times 10^{-5}$ (s ⁻¹)	$\Delta G^\#$ (J mol ⁻¹)	$\Delta H^\#$ (J mol ⁻¹)	$\Delta S^\#$ (J mol ⁻¹ K ⁻¹)
293	4,6	303854	105754	-676
303	1,6	311648	105671	-680
313	1,4	321708	105588	-691
323	2,9	334006	105505	-707
333	8,4	347344	105421	-727
343	24,7	360949	105338	-745
353	184,0	377450	105255	-771

A9 suşundan elde edilen katalazın 20 °C'de kararlı olduğu, aynı zamanda 30 ve 40 °C'erde aktivitesinin büyük bir kısmını muhafaza ettiği gözlenmiştir (Şekil 48). 40 °C'de ilk 15 dakikada başlangıç aktivitesini tamamen koruduğu, 60 dakika sonunda aktivitesinin %10'unu kaybettiği gözlenmiştir. 50 °C'de ilk 15 dakika sonunda ilk aktivitenin %84'ünü gösterirken, bu oranın 30 dakika sonunda %75'e, 60 dakika sonunda ise %63'e inmiş olduğu belirlenmiştir.



Şekil 48. A9 katalazının termal kararlılık grafiği

A9 katalazı, 60 °C'de 15 dakika bekletme süresi sonunda ilk aktivitenin % 57'sini, 30 dakika sonunda %55'ini, 60 dakika sonunda ise %18'ini gösterdiği tespit edilmiştir. 70 °C'de 60 dakika bekletme süresi sonunda aktivite %2 oranında korunurken, 80 °C'de aktivitenin tamamen kaybolduğu görülmüştür (Şekil 49).



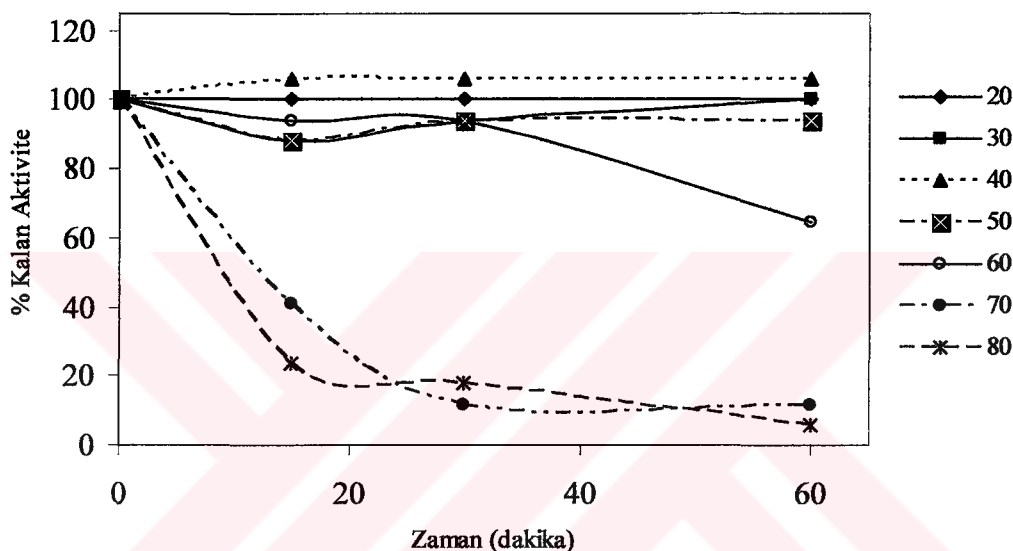
Şekil 49. A9 katalazının 60. dakikadaki termal kararlılık grafiği

A9 katalazının Ea değeri $100284 \text{ J mol}^{-1}$ olarak hesaplanmıştır. Ayrıca A9 katalazına ait termodinamik verilerin de 30 °C'ye kadar kararlı olduğu, 40 °C'de kısmen kararlı olduğu belirlenmiştir (Tablo 12).

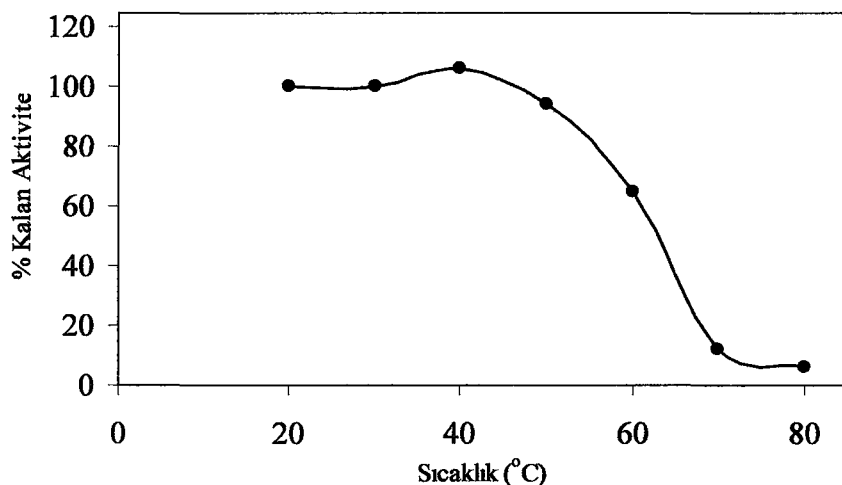
Tablo 12. A9 katalazına ait termodinamik parametreler

Sıcaklık (°K)	$k \times 10^{-5}$ (s^{-1})	$\Delta G^\#$ (J mol^{-1})	$\Delta H^\#$ (J mol^{-1})	$\Delta S^\#$ ($\text{J mol}^{-1}\text{K}^{-1}$)
293	2,3	302165	97848	-697
303	2,3	312563	97764	-709
313	2,9	323584	97681	-722
323	12,8	337975	97598	-744
333	48,2	352194	97515	-765
343	108,0	365156	97432	-781
353	230,0	378105	97349	-795

K1 suşundan elde edilen katalazın 20 ile 40 °C'lerde oldukça kararlı olduğu, 30, 50 ve 60 °C'lerde aktivitesini büyük bir oranda koruduğu tespit edilmiştir (Şekil 50). K1 katalazı 50 ile 60 °C sıcaklıklarda ilk 30 dakika aktivitesini %94 oranında korurken, 60 dakika sonunda 50 °C'de bu oranın sabit kaldığı 60 °C'de ise bu oranın %65'e düştüğü belirlenmiştir. İlk aktivitenin 70 ve 80 °C sıcaklıklarda ilk 15 dakikada sırasıyla %41'i ile %24'ü korunurken, 60 dakika sonunda bu oranların %12 ve %6'ya düşüğü görülmüştür (Şekil 51).



Şekil 50. K1 katalazının termal kararlılık grafiği



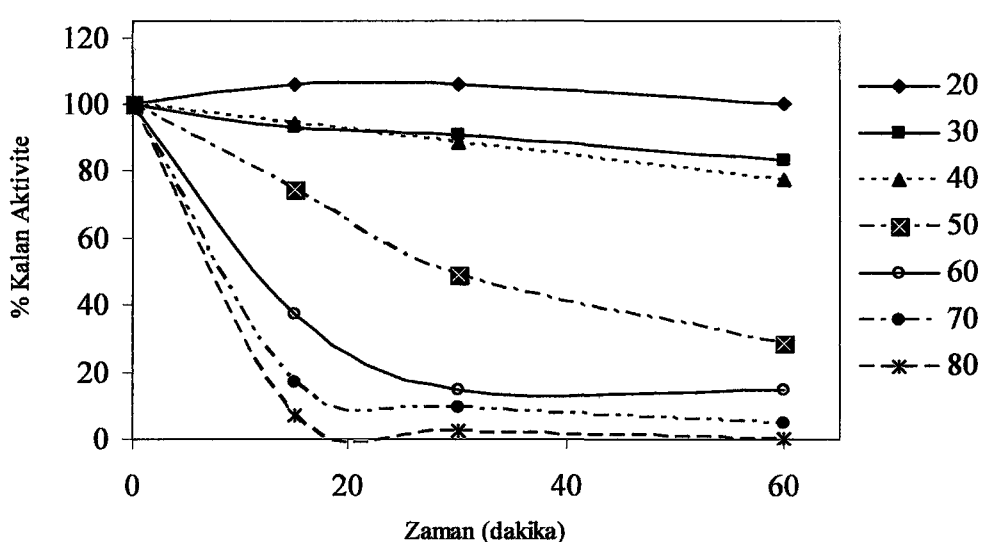
Şekil 51. K1 katalazının 60. dakikadaki termal kararlılık grafiği

Ayrıca K1 katalazının E_a değeri $124677 \text{ J mol}^{-1}$ olarak hesaplanmış olup, termodinamik verilerden de 50°C 'ye kadar kararlı olduğu tespit edilmiştir (Tablo 13). 60°C 'in üzerinde ise $\Delta G^\#$, $\Delta H^\#$ ve $\Delta S^\#$ değerlerindeki ani artışlar katalazın denatüre olduğunu göstermektedir.

Tablo 13. K1 katalazına ait termodinamik parametreler

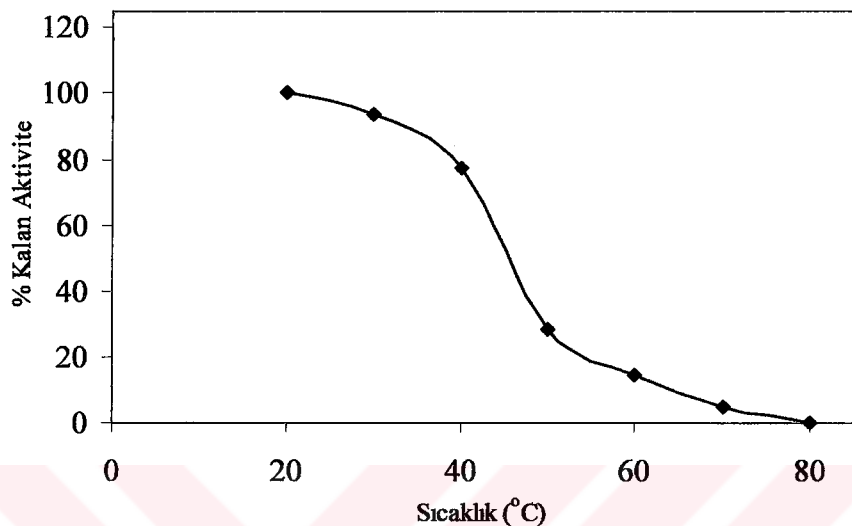
Sıcaklık (°K)	$k \times 10^{-5}$ (s^{-1})	$\Delta G^\#$ (J mol^{-1})	$\Delta H^\#$ (J mol^{-1})	$\Delta S^\#$ ($\text{J mol}^{-1}\text{K}^{-1}$)
293	2,9	302747	122241	-616
303	2,9	313164	122158	-630
313	2,9	323584	122074	-644
323	1,7	332554	121991	-652
333	11,9	348321	121908	-680
343	58,0	363383	121825	-704
353	78,0	374931	121742	-717

A4 suşundan elde edilen katalazın $20\text{-}40^\circ\text{C}$ sıcaklıklar arasında ilk 30 dakika boyunca oldukça kararlı olduğu tespit edilmiştir (Şekil 52).



Şekil 52. A4 katalazının termal kararlılık grafiği

A4 katalazının, 60 dakika bekletme süresi sonunda ilk katalaz aktivitesini 20 °C'de %100, 30 °C'de %84, 40 °C'de %77, 50 °C'de %27, 60 °C'de %14, 70 °C'de %5 oranında koruduğu ve 80 °C'de aktivitesini tamamen kaybettiği gözlenmiştir (Şekil 53).



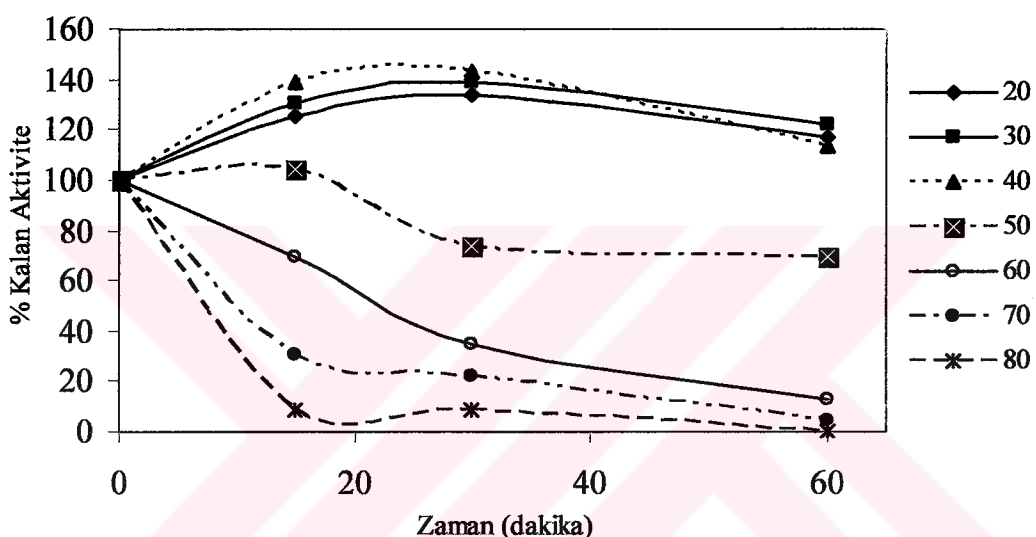
Şekil 53. A4 katalazının 60. dakikadaki termal kararlılık grafiği

A4 katalazının Ea değeri 76823 J mol^{-1} olarak hesaplanmıştır. Ayrıca A4 katalazından elde edilen termodinamik veriler A4 katalazının 30 °C'ye kadar kararlı olduğunu göstermektedir (Tablo 14).

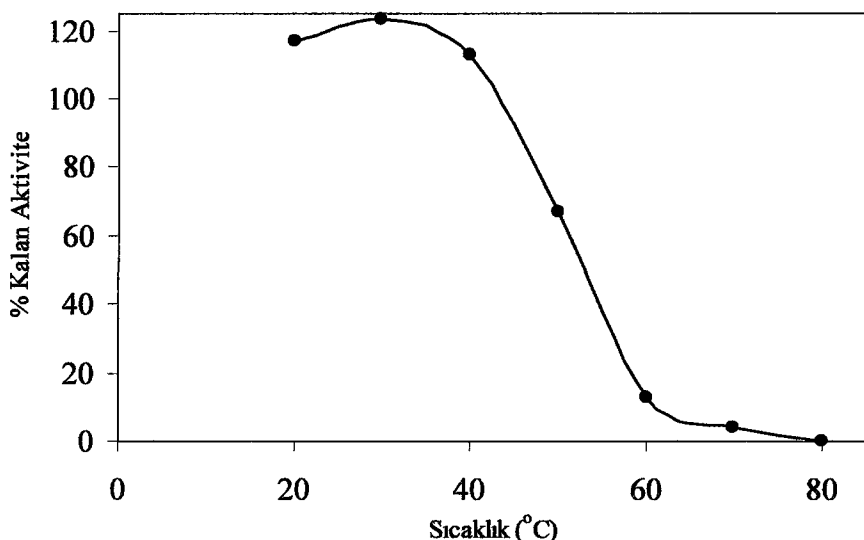
Tablo 14. A4 katalazına ait termodinamik parametreler

Sıcaklık (°K)	$k \times 10^{-5}$ (s^{-1})	$\Delta G^\#$ (J mol^{-1})	$\Delta H^\#$ (J mol^{-1})	$\Delta S^\#$ ($\text{J mol}^{-1}\text{K}^{-1}$)
293	2,3	302165	74387	-777
303	1,9	312108	74304	-785
313	7,2	325932	74221	-804
323	34,7	340654	74138	-825
333	54,0	352509	74054	-836
343	84,3	364449	73971	-847
353	160,0	377040	73888	-859

K4 suşundan elde edilen katalazın $50\text{ }^{\circ}\text{C}$ 'ye kadar kararlı olduğu, yalnızca $50\text{ }^{\circ}\text{C}$ 'de 30 dakikadan sonra aktivitesinin yaklaşık %30'unu kaybettiği gözlenmiştir (Şekil 54). K4 katalazının 60 dakika bekleme periyodundan sonra $40\text{ }^{\circ}\text{C}$ 'ye kadar aktivitesini muhafaza ettiği tespit edilmiştir. Ayrıca, bu bekleme süresi sonunda $50\text{ }^{\circ}\text{C}$ 'de % 30 oranında azalan aktivitenin, $60\text{ }^{\circ}\text{C}$ ve üstündeki sıcaklıklarda %15 oranının altına düşüğü ve $80\text{ }^{\circ}\text{C}$ 'de ise tamamen kaybolduğu belirlenmiştir (Şekil 55). Ayrıca K4 katalazının aktivasyon enerjisi 78616 J mol^{-1} olarak hesaplanmış olup, termodinamik verilerden de $40\text{ }^{\circ}\text{C}$ 'ye kadar kararlı olduğu, $50\text{ }^{\circ}\text{C}$ 'den sonra ise enzimin denatüre olduğu tespit edilmiştir (Tablo 15).



Şekil 54. K4 katalazının termal kararlılık grafiği

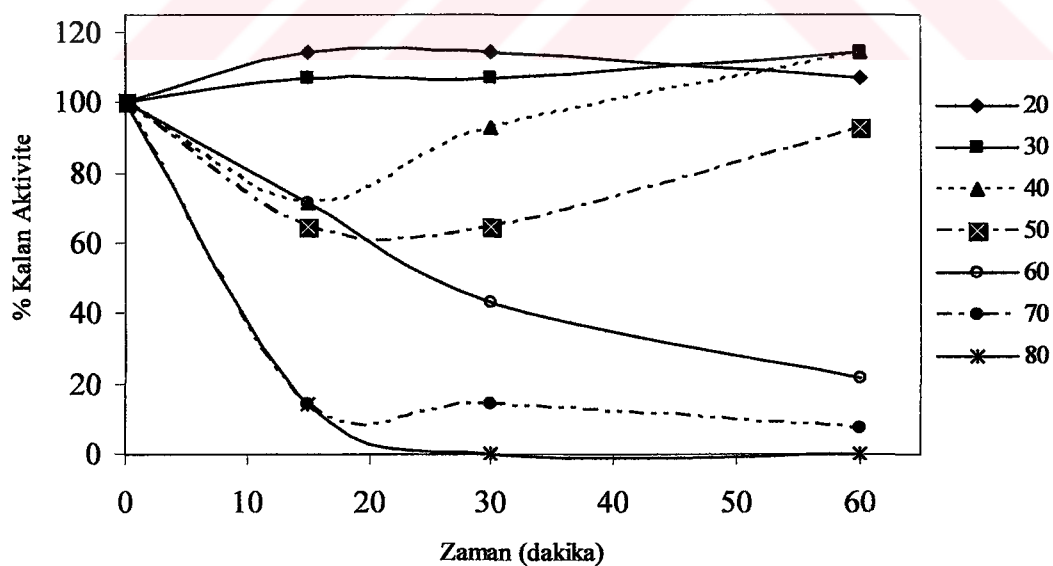


Şekil 55. K4 katalazının 60. dakikadaki termal kararlılık grafiği

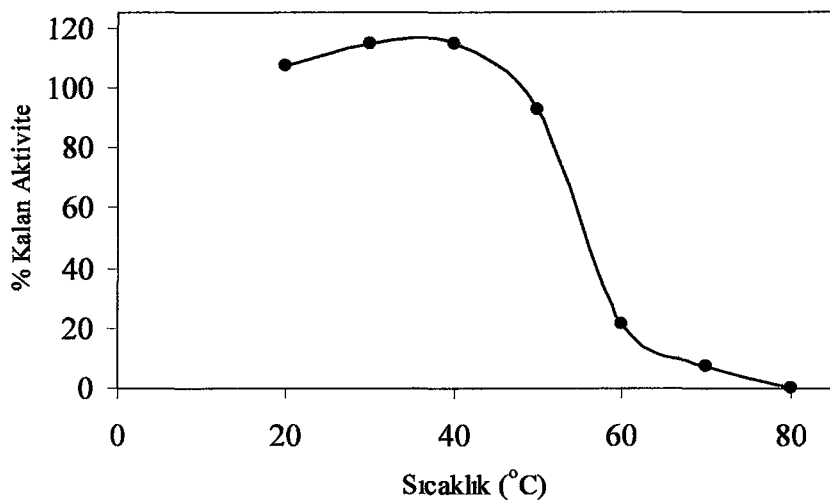
Tablo 15. K4 katalazına ait termodinamik parametreler

Sıcaklık (°K)	$k \times 10^{-5}$ (s ⁻¹)	$\Delta G^\#$ (J mol ⁻¹)	$\Delta H^\#$ (J mol ⁻¹)	$\Delta S^\#$ (J mol ⁻¹ K ⁻¹)
293	2,3	302165	76180	-771
303	2,3	312563	76097	-780
313	13,8	327626	76014	-804
323	11,0	337568	75931	-810
333	56,0	352610	75848	-831
343	87,0	364539	75765	-842
353	161,0	377058	75682	-854

A5 suşundan elde edilen katalazın 20-40 °C sıcaklıklarında kararlı olduğu, fakat, 50 °C'de ilk 30 dakikaya kadar %64 oranında olan aktivitenin 60 dakika sonunda %93'lere vardığı gözlenmiştir (Şekil 56). 60 dakika sonunda 60°C'de %22 oranında korunan aktivitenin 70 °C'de %7'ye düşüğü, 80 °C'de ise tamamen kaybolduğu tespit edilmiştir (Şekil 57).



Şekil 56. A5 katalazının termal kararlılık grafiği



Şekil 57. A5 katalazının 60. dakikadaki termal kararlılık grafiği

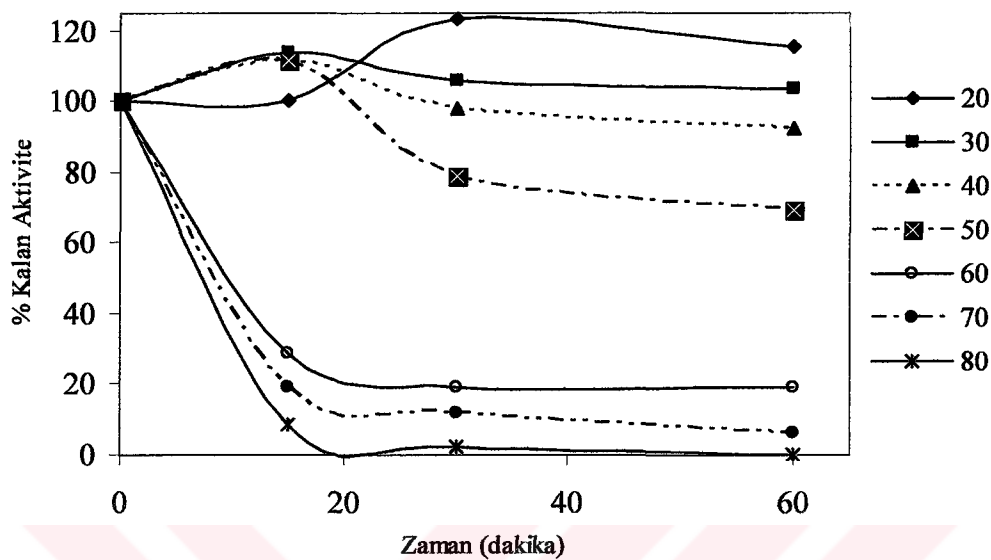
A5 katalazı için E_a değeri 77991 J mol^{-1} olarak hesaplanmış olup, termodinamik verilerden de ısıl olarak $50 \text{ }^{\circ}\text{C}$ 'ye kadar kararlı olduğu tespit edilmiştir (Tablo 16). $60 \text{ }^{\circ}\text{C}$ 'den sonra $\Delta G^\#$ ve $\Delta S^\#$ değerlerindeki ani artışlar katalazın denatüre olduğunu göstermektedir.

Tablo 16. A5 katalazına ait termodinamik parametreler

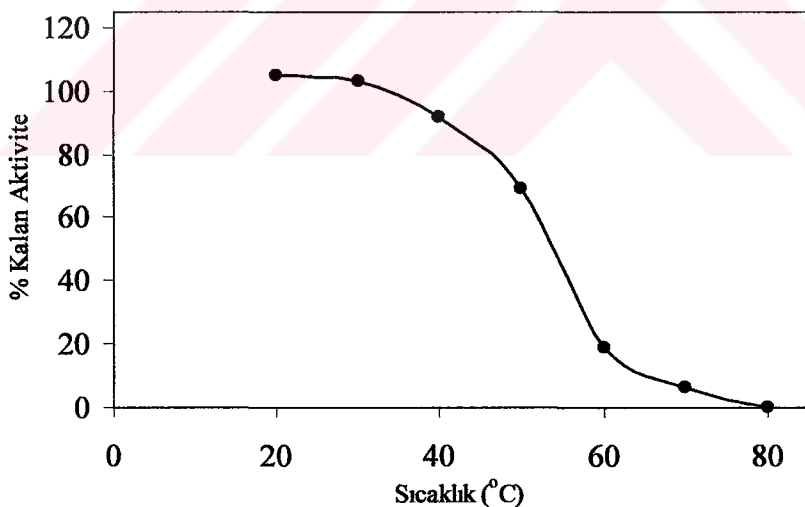
Sıcaklık (°K)	$k \times 10^{-5}$ (s^{-1})	$\Delta G^\#$ (J mol^{-1})	$\Delta H^\#$ (J mol^{-1})	$\Delta S^\#$ ($\text{J mol}^{-1}\text{K}^{-1}$)
293	2,3	302165	75555	-773
303	2,3	312562	75472	-782
313	4,6	324766	75389	-797
323	2,0	333043	75306	-798
333	42,8	351865	75222	-831
343	73,4	364055	75139	-842
353	161,0	377058	75056	-855

A6 suşundan elde edilen katalazın $40 \text{ }^{\circ}\text{C}$ 'ye kadar oldukça kararlı olduğu gözlenmiştir. A6 katalazının $50 \text{ }^{\circ}\text{C}$ 'de ilk 15 dakika sonunda % 112 oranında kararlı olduğu, 30 dakika sonunda bu oranın %79'a, 60 dakika sonunda ise %69'a düşüğü tespit edilmiştir (Şekil 58). 60 dakika bekleme süresi sonunda A6 katalazının ilk aktivitesini 40

$^{\circ}\text{C}$ 'ye kadar büyük bir oranda koruduğu, $50\text{ }^{\circ}\text{C}$ 'den sonra bu oranın düşüğü ve $80\text{ }^{\circ}\text{C}$ 'de tamamen kaybolduğu belirlenmiştir (Şekil 59).



Şekil 58. A6 katalazının termal kararlılık grafiği



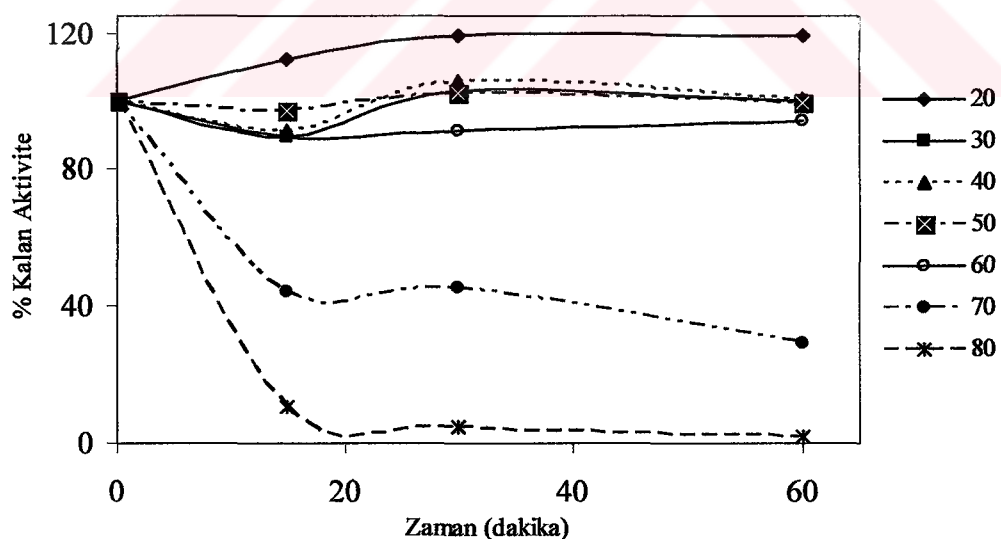
Şekil 59. A6 katalazının 60. dakikadaki termal kararlılık grafiği

A6 katalazının termodinamik verilerinden de $30\text{ }^{\circ}\text{C}$ 'ye kadar kararlı, 40 derecede kısmen kararlı olduğu gözlenmiştir. Ayrıca aktivasyon enerjisi 99602 J mol^{-1} olarak hesaplanan katalazın $50\text{ }^{\circ}\text{C}$ 'den sonra denatüre olmaya başladığı tespit edilmiştir (Tablo 17).

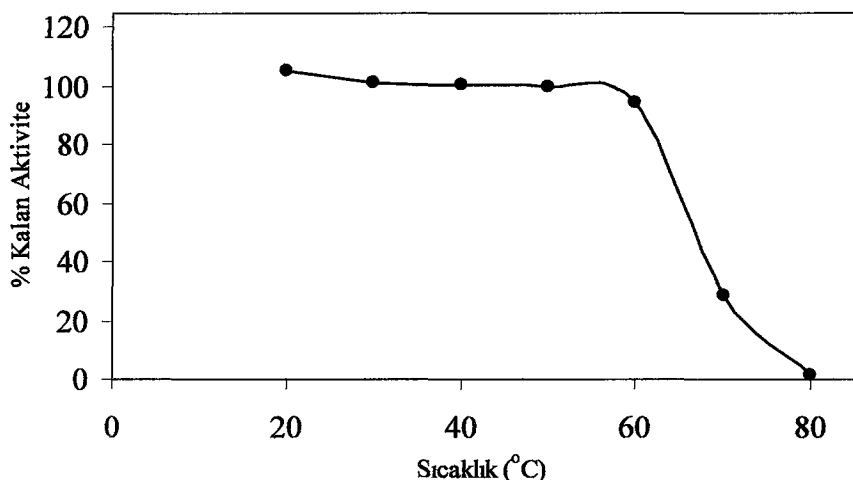
Tablo 17. A6 katalazına ait termodinamik parametreler

Sıcaklık (°K)	$k \times 10^{-5}$ (s ⁻¹)	$\Delta G^\#$ (J mol ⁻¹)	$\Delta H^\#$ (J mol ⁻¹)	$\Delta S^\#$ (J mol ⁻¹ K ⁻¹)
293	4,6	303859	97166	-705
303	2,3	312563	97083	-711
313	2,3	322974	96999	-722
323	10,3	337392	96916	-745
333	46,1	352071	96833	-766
343	78,2	364235	96750	-780
353	184,0	377450	96667	-795

A2 suşundan elde edilen katalazın ise, 50 °C'ye kadar ıslık gösterdiği, bunun yanında 60 °C'de ilk aktivitesini büyük bir oranda (%95) koruduğu gözlenmiştir (Şekil 60). 60 dakika bekleme süresi sonunda, 60 °C'ye kadar büyük oranda saklanan aktivitenin 70 °C'de %29 oranına düşüğü ve 80 °C'de hemen hemen kaybolduğu tespit edilmiştir (Şekil 61).



Şekil 60. A2 katalazının termal kararlılık grafiği



Şekil 61. A2 katalazının 60. dakikadaki termal kararlılık grafiği

A2 katalazı için E_a değeri $227529 \text{ J mol}^{-1}$ olarak hesaplanmış olup, termodinamik verilerden ıslık olarak $50 \text{ }^{\circ}\text{C}$ 'ye kadar kararlı olduğu tespit edilmiştir (Tablo 18). $60 \text{ }^{\circ}\text{C}$ 'de ise kısmen kararlı olan katalazın, $70 \text{ }^{\circ}\text{C}$ 'den sonra denatüre olmaya başladığı belirlenmiştir.

Tablo 18. A2 katalazına ait termodinamik parametreler

Sıcaklık (°K)	$k \times 10^{-5}$ (s^{-1})	$\Delta G^\#$ (J mol^{-1})	$\Delta H^\#$ (J mol^{-1})	$\Delta S^\#$ ($\text{J mol}^{-1}\text{K}^{-1}$)
293	6,9	304842	225093	-272
303	1,6	311664	225010	-286
313	2,3	322963	224927	-313
323	1,1	331409	224844	-330
333	1,6	342766	224761	-354
343	34,6	361910	224678	-400
353	116,0	376096	224594	-429

3.8. Termofilik Suşlardan Elde Edilen Katalazların Kinetiği

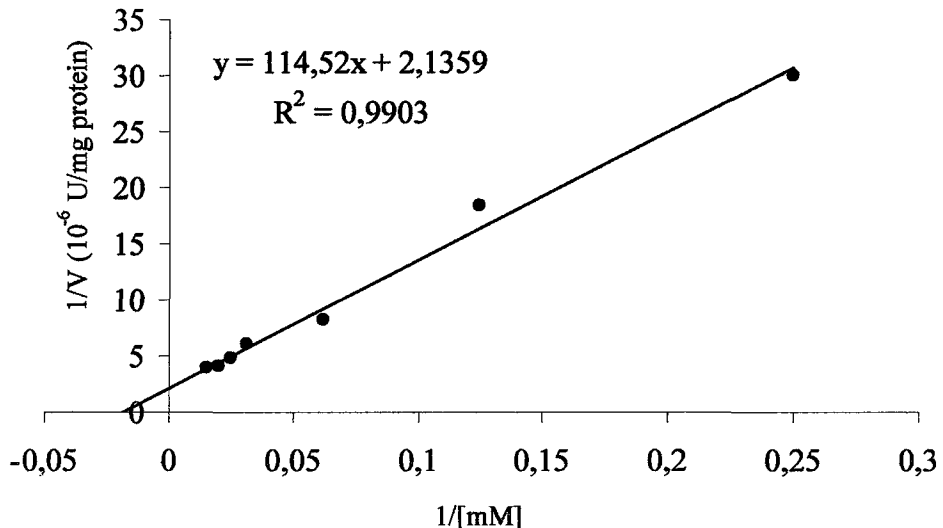
Enzim kinetiği çalışmalarında, termofilik suşlardan elde edilen katalazların optimize edilmiş deneme ortamında ulaşabileceği maksimum hız (V_{maks}) değerleri ve her bir suşun katalazının H_2O_2 substratına ilgisini gösteren Michaelis sabiti (K_m) değerleri, Lineweaver-Burk grafikleri çizilerek tespit edilmiştir (Tablo 19). Ayrıca değişen substrat

konsantrasyonlarına karşılık okunan hız (V) ve buna karşılık gelen V_{maks} değerleri kullanılarak elde edilen $V/(V_{maks}-V)$ oranları Hill eşitliği gereğince grafiğe geçirilerek, substratının katalaz üzerindeki substrat-bağlanma bölgelerinin sayısı ve kooperativitenin olup olmadığı da belirlenmiştir.

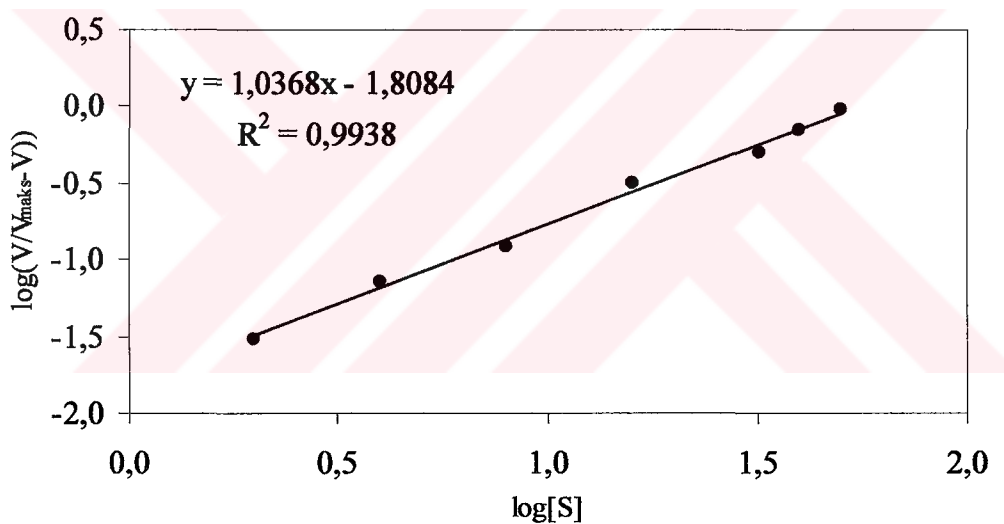
Tablo 19. Termofilik katalazlara ait bazı kinetik veriler

	V_{maks} (U/mg protein)	K_m (mM)	V_{maks}/K_m ($dk^{-1}mg\ protein^{-1}$)
A3	468186,7	53,6	8,74
Ay9	11457,3	24,5	0,47
TK4	16228,7	26,6	0,61
A9	10778,1	21,7	0,50
K1	6202,3	44,8	0,14
A4	4762,0	21,6	0,22
K4	6346,0	31,8	0,20
A5	10492,0	33,8	0,31
A6	3306,0	32,5	0,10
A2	5841,8	31,2	0,19

A3 suşundan elde edilen katalazın H_2O_2 substratı varlığında yapılan kinetik çalışması sonucunda V_{maks} değeri $468186,7 \pm 1200$ U/mg protein ve K_m değeri $53,6 \pm 1,7$ mM olarak belirlenmiştir (Şekil 62). Ayrıca Hill eğrisinden elde edilen Hill sabitinin (h) değerinin 1'e yakın çıkması, A3 katalazının birden fazla substrat bağlanma bölgesinin olduğunu, fakat enzimin kooperatif davranışını göstermektedir (Şekil 63).

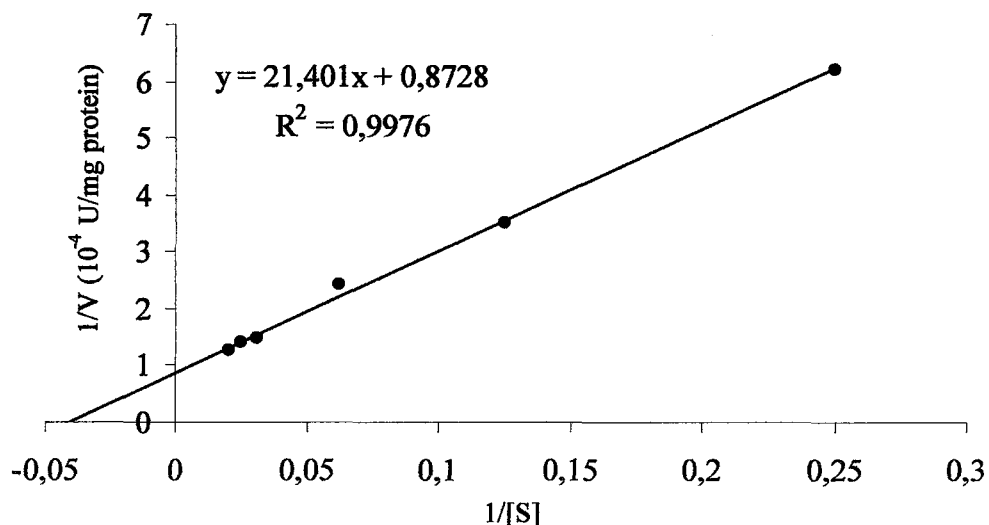


Şekil 62. A3 katalazının H_2O_2 varlığında Lineweaver-Burk grafiği

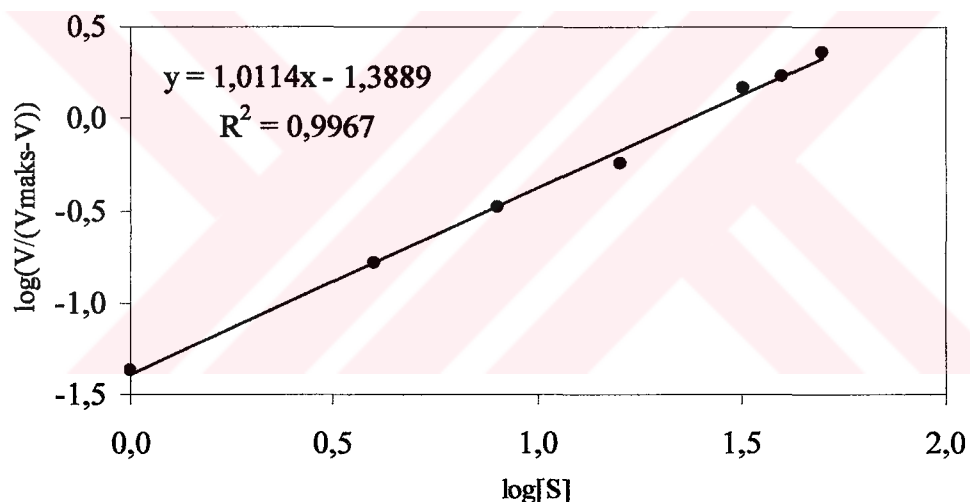


Şekil 63. A3 katalazının H_2O_2 varlığında elde edilen Hill grafiği

Ay9 suşundan elde edilen katalazın H_2O_2 substrati varlığında yapılan kinetik çalışması sonucunda V_{max} değeri $11457,3 \pm 487 \text{ U}/\text{mg protein}$ ve K_m değeri $24,5 \pm 1,2 \text{ mM}$ olarak tespit edilmiştir. (Şekil 64). Ay 9 katalazının H_2O_2 substratının varlığında elde edilen Hill eğrisinin eğiminin dolayısıyla h değerinin 1'e yakın çıkmasıyla birden fazla bağlanma bölgesinin olduğunu, fakat kooperativitenin olmadığını belirtmektedir (Şekil 65).

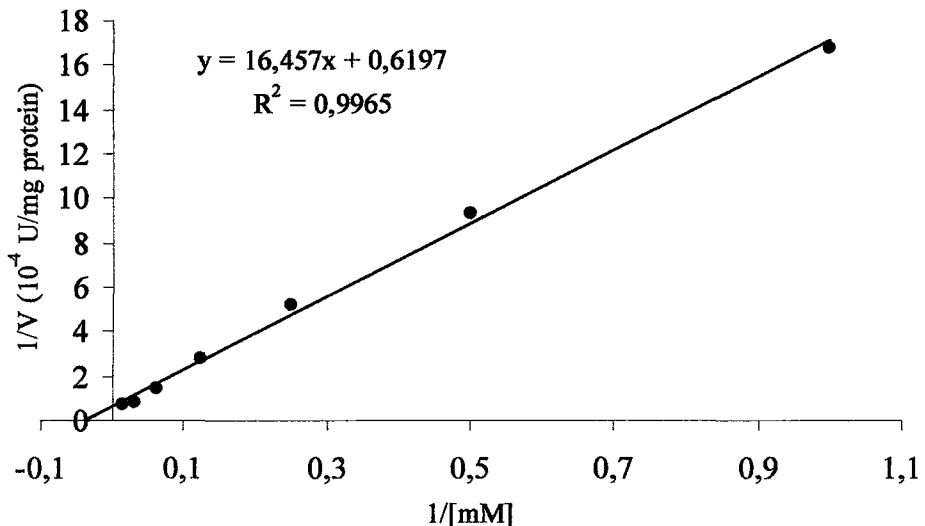


Şekil 64. Ay9 katalazının H_2O_2 varlığında Lineweaver-Burk grafiği

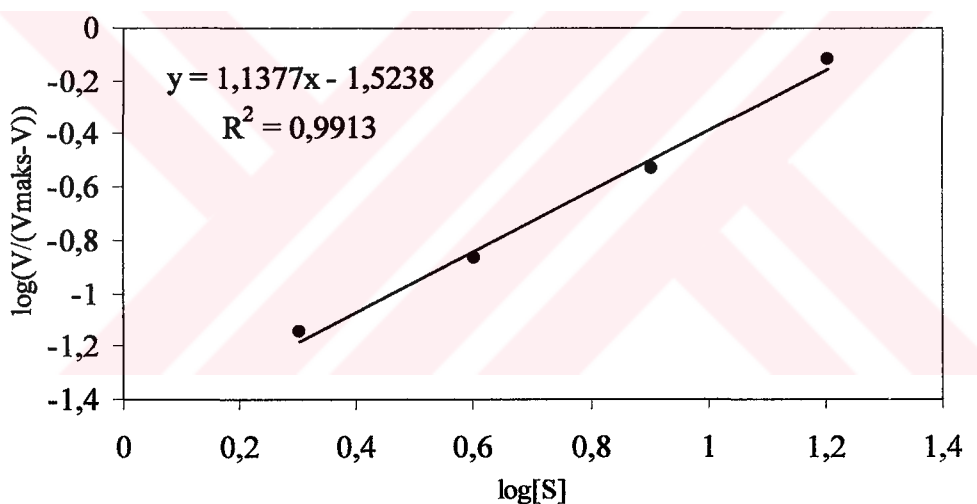


Şekil 65. Ay9 katalazının H_2O_2 varlığında elde edilen Hill grafiği

TK4 suşundan elde edilen katalazın H_2O_2 substrati varlığında yapılan kinetik çalışması sonucunda V_{maks} değeri $16228,7 \pm 950 \text{ U}/\text{mg protein}$ ve K_m değeri $26,6 \pm 1,6 \text{ mM}$ olarak belirlenmiştir (Şekil 66). Ayrıca Hill grafiğinden elde edilen h değerinin 1'e yakın çıkması birden fazla substratinin bağlanma bölgesinin olduğunu, fakat kooperativitenin olmadığını göstermektedir (Şekil 67).

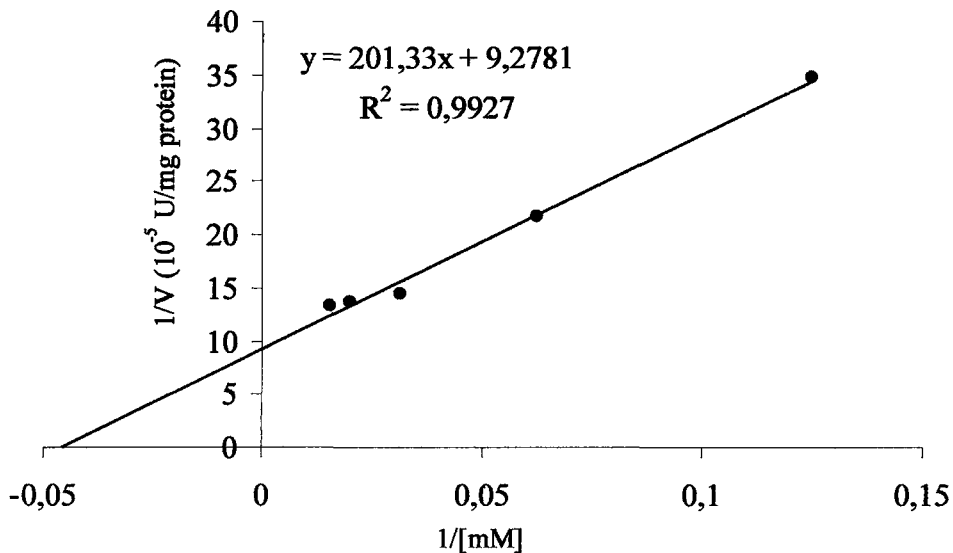


Şekil 66. TK4 katalazının H_2O_2 varlığındaki Lineweaver-Burk grafiği

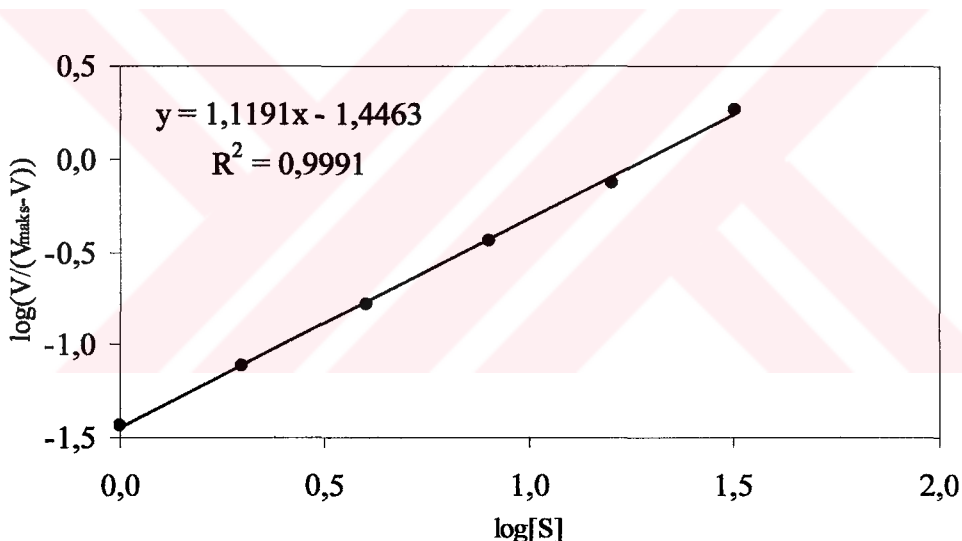


Şekil 67. TK4 katalazının H_2O_2 varlığında elde edilen Hill grafiği

A9 suşundan elde edilen katalazın H_2O_2 substrati varlığında yapılan kinetik çalışması sonucunda V_{maks} değeri $10778,1 \pm 451$ U/mg protein ve K_m değeri $21,7 \pm 1,3$ mM olarak belirlenmiştir (Şekil 68). Hill grafiğinden elde edilen h değerinin 1'e yakın çıkması birden fazla substratinin bağlanması bölgesinin olduğunu, fakat kooperativitenin olmadığı göstermektedir (Şekil 69).

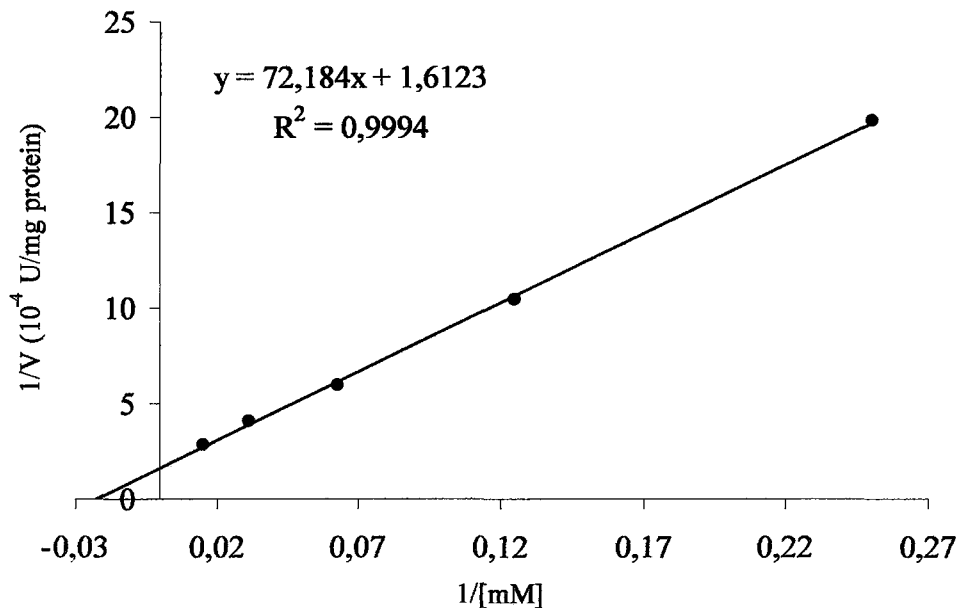


Şekil 68. A9 katalazının H_2O_2 varlığındaki Lineweaver-Burk grafiği

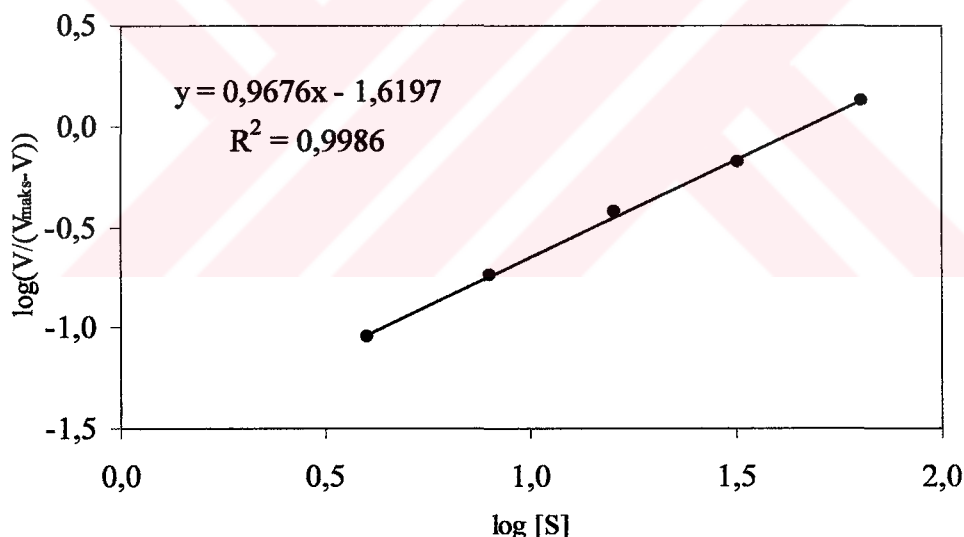


Şekil 69. A9 katalazının H_2O_2 varlığında elde edilen Hill grafiği

K1 suşundan elde edilen katalazın H_2O_2 substrati varlığında yapılan kinetik çalışması sonucunda V_{max} değeri $6202,3 \pm 158$ U/mg protein ve K_m değeri $44,8 \pm 1,3$ mM olarak belirlenmiştir (Şekil 70). Hill grafiğinden elde edilen h değerinin 1'e yakın çıkması birden fazla substratının bağlanması bölgesinin olduğunu, fakat kooperativitenin olmadığı göstermektedir (Şekil 71).

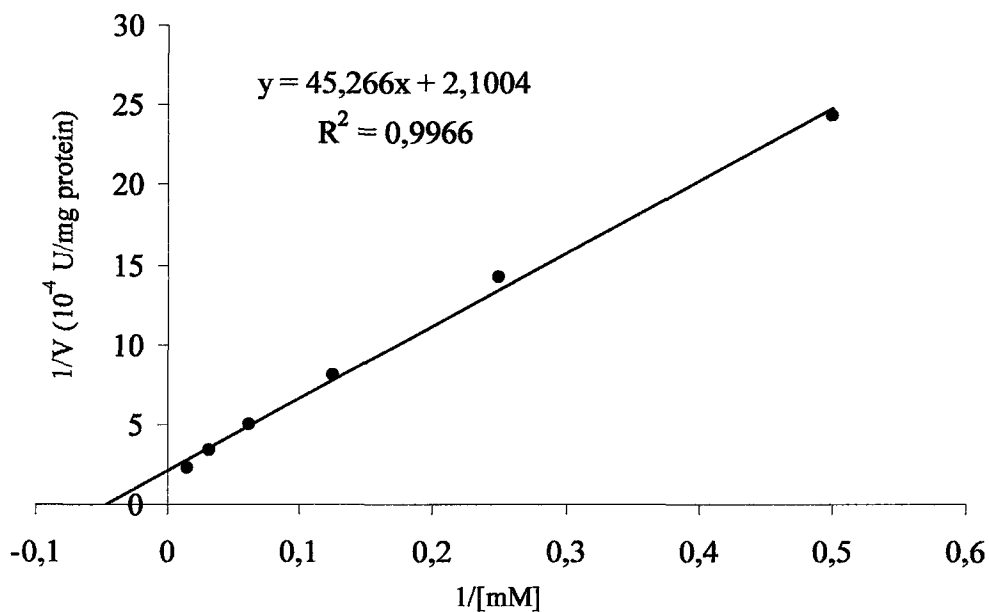


Şekil 70. K1 katalazının H_2O_2 varlığında Lineweaver-Burk grafiği

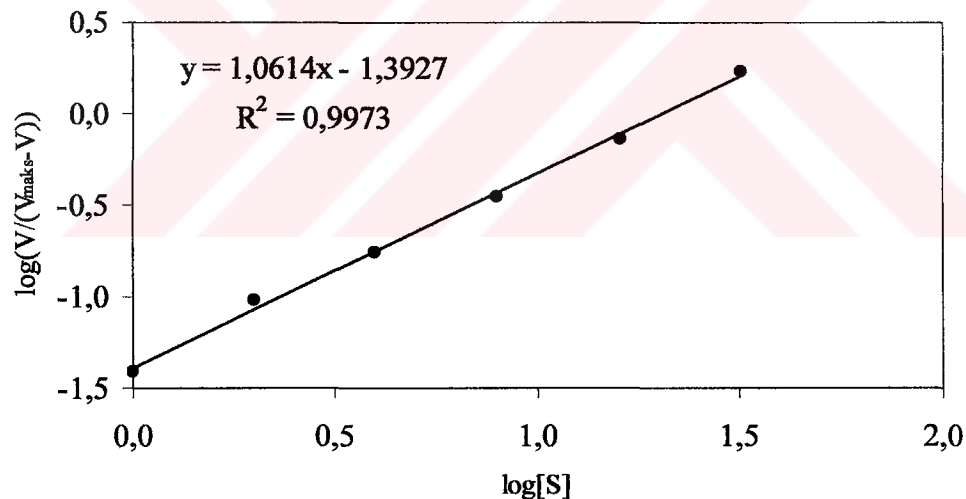


Şekil 71. K1 katalazının H_2O_2 varlığında elde edilen Hill grafiği

A4 suşundan elde edilen katalazın H_2O_2 substrati varlığında yapılan kinetik çalışması sonucunda V_{maks} değeri $4762,0 \pm 341$ U/mg protein ve K_m değeri $21,6 \pm 1,1$ mM olarak belirlenmiştir (Şekil 72). Ayrıca Hill grafiğinden elde edilen h değerinin 1'e yakın çıkması birden fazla substratının bağlanma bölgesinin olduğunu, fakat kooperativitenin olmadığı göstermektedir (Şekil 73).

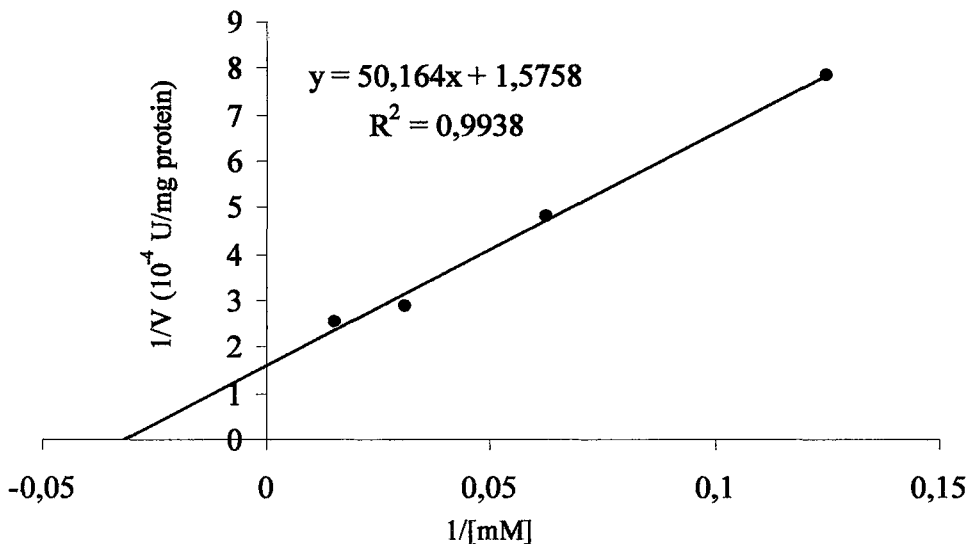


Şekil 72. A4 katalazının H_2O_2 varlığındaki Lineweaver-Burk grafiği

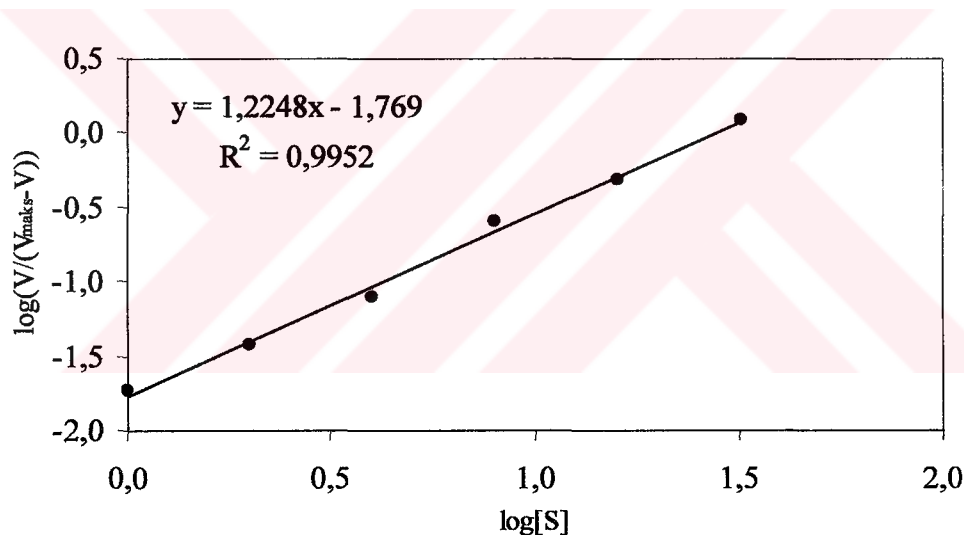


Şekil 73. A4 katalazının H_2O_2 varlığında elde edilen Hill grafiği

K4 suşundan elde edilen katalazın H_2O_2 substrati varlığında yapılan kinetik çalışması sonucunda V_{maks} değeri 6346 ± 268 U/mg protein ve K_m değeri $31,8 \pm 1,4$ mM olarak tespit edilmiştir (Şekil 74). K4 katalazının H_2O_2 substratının varlığında elde edilen Hill eğrisinin eğiminin dolayısıyla h değerinin 1'e yakın çıkmasıyla birden fazla bağlanma bölgesinin olduğunu, fakat kooperativitenin olmadığı görülmüştür (Şekil 75).

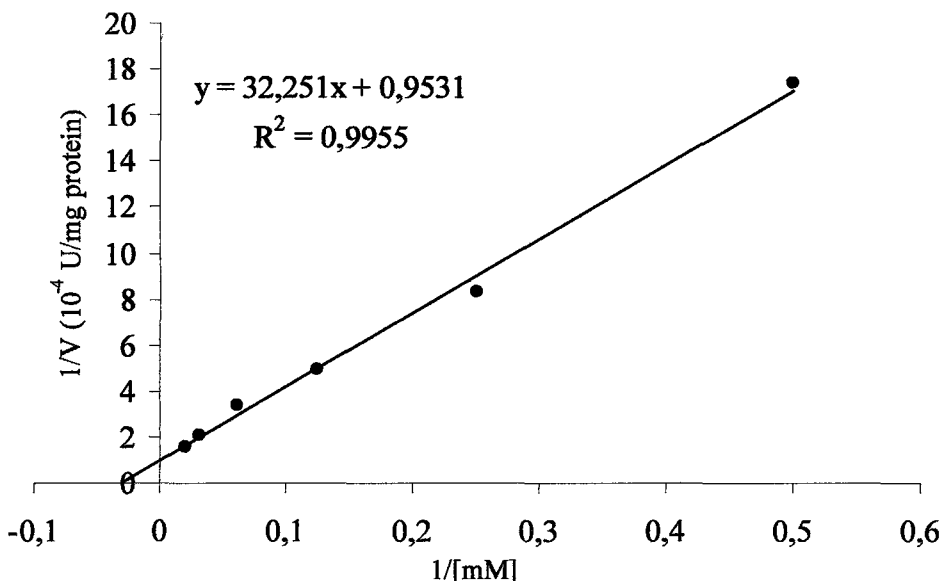


Şekil 74. K4 katalazının H_2O_2 varlığında Lineweaver-Burk grafiği

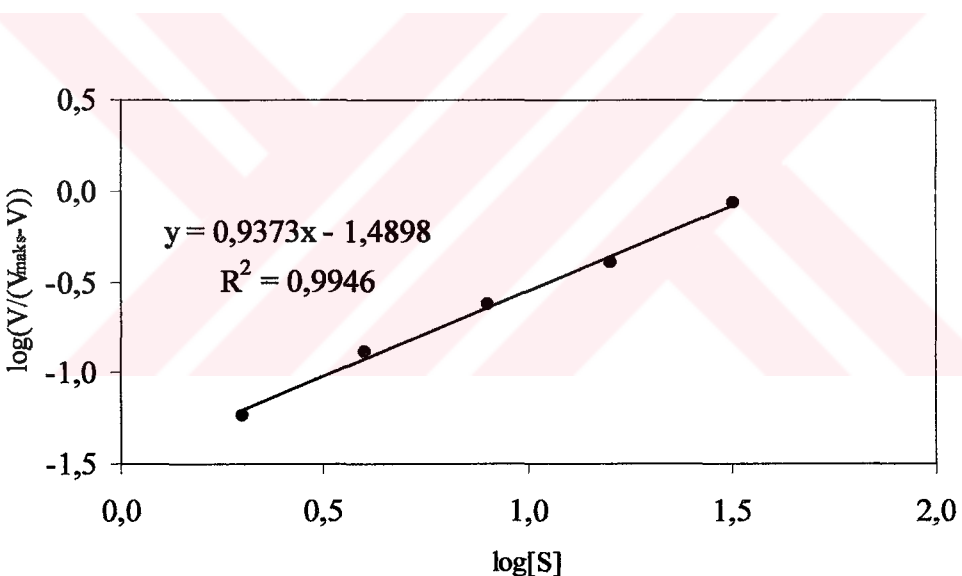


Şekil 75. K4 katalazının H_2O_2 varlığında elde edilen Hill grafiği

A5 suşundan elde edilen katalazın H_2O_2 substrati varlığında yapılan kinetik çalışması sonucunda V_{max} değeri $10492,1 \pm 309$ $\text{U}/\text{mg protein}$ ve K_m değeri $33,8 \pm 1,4$ mM olarak belirlenmiştir (Şekil 76). A5 katalazı için Hill grafiğinden elde edilen h değerinin 1'e yakın çıkmasıyla birden fazla bağlanma bölgesinin olduğunu, fakat kooperativitenin olmadığı görülmüştür (Şekil 77).

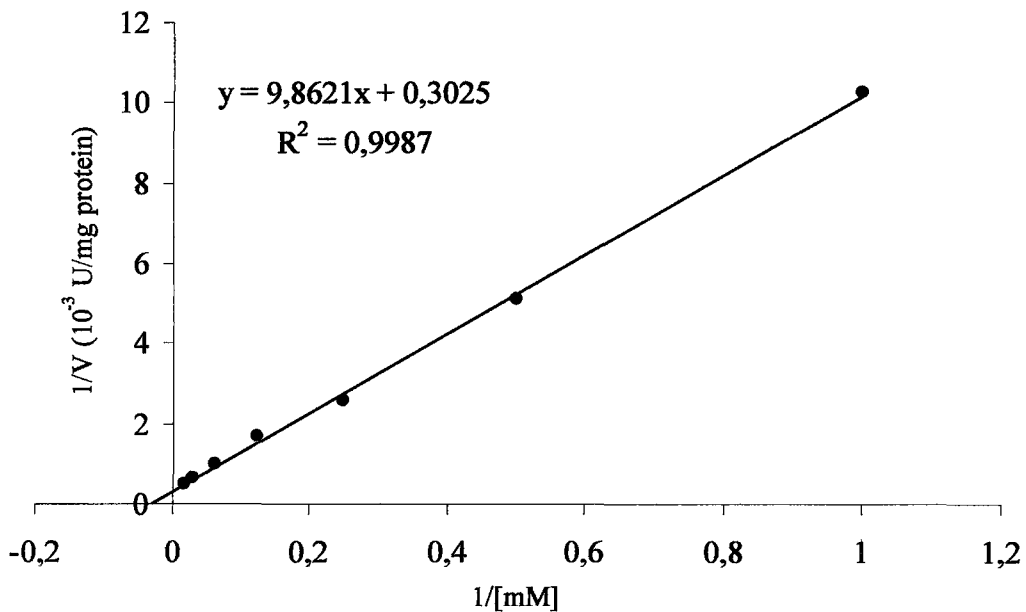


Şekil 76. A5 katalazının H_2O_2 varlığındaki Lineweaver-Burk grafiği

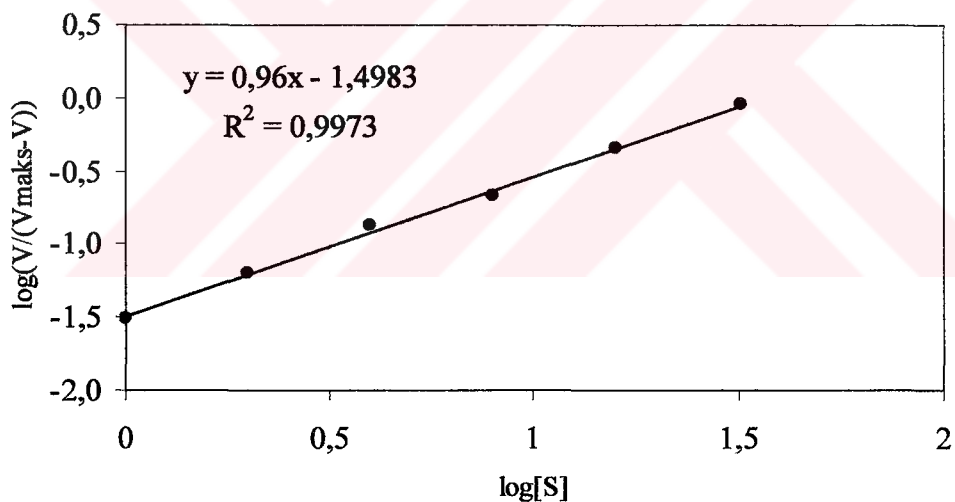


Şekil 77. A5 katalazının H_2O_2 varlığında elde edilen Hill grafiği

A6 suşundan elde edilen katalazın H_2O_2 substrati varlığında yapılan kinetik çalışması sonucunda V_{maks} değeri $3306,0 \pm 74$ $\text{U}/\text{mg protein}$ ve K_m değeri $32,5 \pm 1,5$ mM olarak tespit edilmiştir (Şekil 78). Ayrıca A6 katalazının Hill grafiğinden elde edilen h değerinin 1'e yakın çıkması birden fazla substratının bağlanmasıının olduğunu, fakat kooperativitenin olmadığı göstermektedir (Şekil 79).

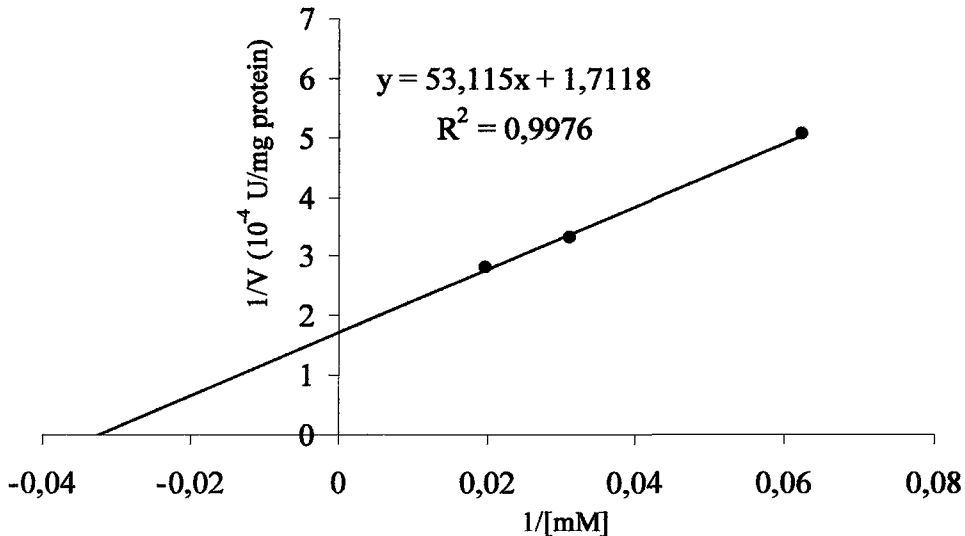


Şekil 78. A6 katalazının H_2O_2 varlığında Lineweaver-Burk grafiği

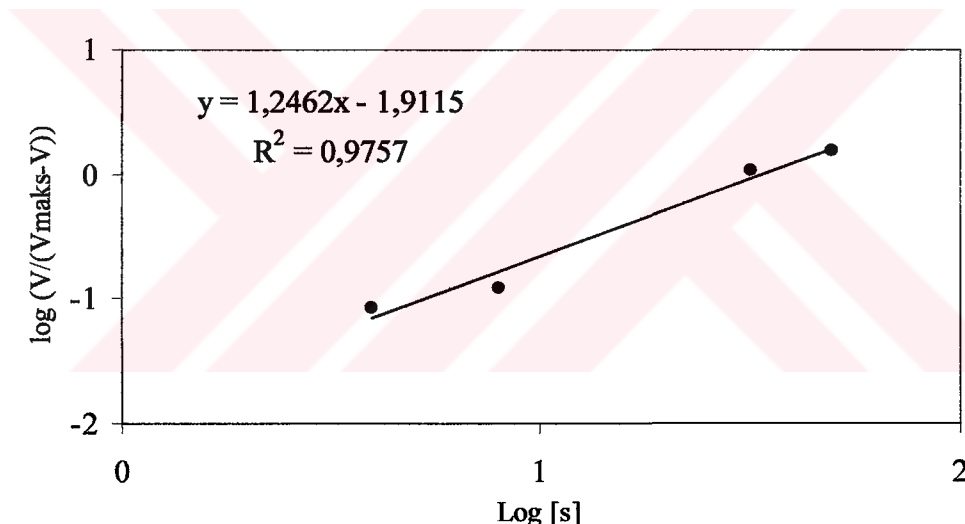


Şekil 79. A6 katalazının H_2O_2 varlığında elde edilen Hill grafiği

En son olarak, A2 suşundan elde edilen katalazın H_2O_2 substrati varlığında yapılan kinetik çalışması sonucunda V_{\max} değeri $5841,8 \pm 202$ U/mg protein ve K_m değeri $31,2 \pm 1,6$ mM olarak hesaplanmıştır (Şekil 80). Ayrıca A2 katalazının da Hill grafiğinden elde edilen Hill sabitinin (h) değerinin 1'e yakın çıkması birden fazla substratının bağlanma bölgesinin olduğunu, fakat kooperatifitenin olmadığını göstermektedir (Şekil 81).



Şekil 80. A2 katalazının H_2O_2 varlığındaki Lineweaver-Burk grafiği



Şekil 81. A2 katalazının H_2O_2 varlığında elde edilen Hill grafiği

3.9. Bazı İyon ve Deterjanların Termofilik Katalazların Aktivitesi Üzerine Etkisi

Bazı katyonların termofilik katalazların aktivitesi üzerine etkisinin belirlenmesi için, 0,1–10 mM arasındaki konsantrasyonlarda metallerin klor tuzları kullanılmıştır (Tablo 20). A3 katalazını 0,5 mM Mn^{2+} , Zn^{+2} , Cd^{+2} ve Co^{+2} katyonlarının aktive ettiği, 0,5 mM Al^{+3} katyonun aktivitesini değiştirmediği, diğer katyonların ise inhibe ettikleri

belirlenmiştir. Ay9 ve TK4 katalazlarının kullanılan tüm katyonlarla inhibe olduğu gözlenmiştir. 0,5 mM Hg⁺² katyonu varlığında çalışmada kullanılan tüm katalazların aktivitesini tamamen kaybettiği belirlenmiştir. A9 suşundan elde edilen katalazın 10 mM NH₄⁺ katyonu varlığında aktive olduğu, 0,5 mM Ca²⁺ ve Cr³⁺ katyonları varlığında aktivitesini koruduğu, diğer katyonlar varlığında inhibe olduğu tespit edilmiştir. A4 katalazının, 10 mM NH₄⁺, 0,5 mM Mn²⁺, Al³⁺ ve 0,5-10 mM Cr³⁺ iyonlarının varlığında aktivitesinin arttığı, 10 mM NaCl tuzu konsantrasyonunda ilk aktiviteyi gösterdiği gözlenmiştir. K1 katalazının NH₄⁺ ile Cr³⁺ katyonlarıyla aktive olduğu, 0,5 mM Ca²⁺ katyonu varlığında aktivitesini koruduğu, diğer katyonlar varlığında inhibe olduğu belirlenmiştir. K4 katalazının 0,5 mM Ni²⁺, Ca²⁺ ile Cr³⁺ ve 0,1 mM Fe³⁺ katyonları varlığında aktivitesinin arttığı, 0,5 mM Al³⁺ varlığında aktivitesini koruduğu gözlenmiştir. A5 katalazının, 10 mM NH₄⁺, 0,5 mM Ca²⁺ ve 0,1 mM Fe³⁺ katyonları aktivitesini arttırırken, Mn²⁺ katyonunun aktivitesini değiştirmediği fakat diğer katyonların aktivitesini azalttığı tespit edilmiştir. A6 katalazının Mn²⁺ katyonu varlığında aktivitesinin arttığı, diğer katyonlar varlığında ise aktivitesinin azaldığı belirlenmiştir. A2 katalazının ise, 0,5 mM Ca²⁺ ve Co²⁺ katyonları varlığında aktive olduğu, 10 mM NaCl ile 0,5 mM AlCl₃ tuzlarının varlığında aktivitesini muhafaza ettiği, diğer katyonların varlığında inhibe olduğu tespit edilmiştir.

Bazı anyonların termofilik katalazların aktivitesi üzerine etkisinin belirlenmesi için, 0,1–10 mM arasındaki konsantrasyonlarda sodyum tuzları kullanılmıştır (Tablo 21). CO₃⁻² anyonunun A3, TK4, K4, A6 ve A2 katalazlarının aktivitesini artırdığı, diğer suşların katalazlarını inhibe ettiği gözlenmiştir. HCO₃⁻ anyonunun A3, A9, K1, A4 ve A5 katalazlarını aktive ederken, Ay9 katalazının aktivitesini koruduğu, diğer katalazların ise aktivitesinin büyük oranda azaltıldığı tespit edilmiştir. Sodyum asetatın (NaAce) A9 ve K1 katalazlarının, SO₄²⁻ anyonunun ise A9, K1, A4, K4, A5 katalazlarının aktivitelerini artırdığı belirlenmiştir. C₂O₄⁻² anyonunun TK4, K1 ve A4 katalazlarının aktivitesini değiştirmezken, A9 ile K4 katalazlarının aktivitesini artırdığı gözlenmiştir. Termofilik katalazların, bu anyonların haricinde Na₂SO₃, Na₂S₂O₃, Na₂S₂O₅, Na₂MoO₄, NaNO₃, NaNO₂, NaDT (sodyum ditiyonit), NaN₃ tuzu anyonlarının varlığında inhibe oldukları tespit edilmiştir. Özellikle hem grubu içeren enzimlerin bir inhibitörü olan 0,5 mM NaN₃ ve KCN varlığında, tüm katalazların aktivitelerini tamamen kaybettikleri gözlenmiştir.

Tablo 20. Termofilik katalazların aktivitesi üzerine bazı katyonların etkisi

(mM)	Katyon	A3	Ay9	TK4	A9	K1	A4	K4	A5	A6	A2
% Bağlı Aktivite*											
10,0	NH ₄ Cl	85,6	93,3	88,7	113,3	105,9	118,9	73,3	107,3	68,2	73,7
10,0	NaCl	70,2	91,9	67,9	98,3	17,6	100,0	83,3	103,7	40,9	100,0
0,5	MnCl ₂	144,4	66,7	89,6	96,7	11,8	118,9	80,0	100,0	109,1	78,9
0,5	CuCl ₂	20,5	19,3	36,8	8,3	17,6	24,3	60,0	28,0	9,1	42,1
0,5	ZnCl ₂	149,0	28,1	69,8	10,0	11,8	2,7	33,3	36,6	31,8	52,6
0,5	NiCl ₂	47,7	77,0	68,9	76,7	50,0	81,1	113,3	85,4	86,4	68,4
0,5	CdCl ₂	137,7	63,7	37,7	56,7	8,8	2,7	13,3	36,5	9,1	98,2
0,5	CoCl ₂	105,3	22,2	76,4	38,3	52,9	18,9	83,3	82,9	9,3	115,6
0,5	CaCl ₂	99,3	88,2	94,7	100,0	100,0	94,6	106,7	104,9	81,8	104,8
3,0	CaCl ₂	33,4	19,3	26,8	21,7	31,6	27,0	3,3	25,4	14,7	79,3
0,5	AlCl ₃	100,0	84,4	79,8	86,7	5,9	129,7	100,0	96,3	72,7	100,0
10,0	AlCl ₃	21,2	11,9	2,2	13,3	5,1	2,7	26,7	22,0	4,5	9,6
0,5	CrCl ₃	98,9	47,4	75,5	100,0	223,7	202,7	166,7	93,9	81,8	78,9
10,0	CrCl ₃	50,3	1,3	2,2	50,0	2,6	145,9	6,7	1,2	13,6	1,8
0,1	FeCl ₃	35,8	81,5	80,3	90,0	92,1	95,2	110,0	108,5	69,2	84,1

* Katyon ihtiva etmeyen reaksiyon karışımındaki katalaz aktivitesi %100 olacak şekilde hesaplanmıştır.

Tablo 21. Termofilik katalazların aktivitesi üzerine bazı anyonların etkisi

(mM)	Anyon	A3	Ay9	TK4	A9	K1	A4	K4	A5	A6	A2
% Bağlı Aktivite*											
10,0	Na ₂ CO ₃	106,6	13,8	115,2	19,6	27,8	18,9	158,1	16,1	107,0	125,6
10,0	NaHCO ₃	104,0	100,0	21,2	107,1	108,3	105,4	3,2	104,6	19,4	3,4
10,0	NaAc	21,2	95,4	51,5	101,8	105,6	97,3	64,5	97,7	88,2	1,8
10,0	Na ₂ SO ₃	4,0	63,1	19,7	73,2	55,6	32,4	22,6	1,1	21,2	20,5
10,0	Na ₂ SO ₄	41,7	96,9	94,6	112,5	116,7	129,7	109,7	105,7	98,1	92,3
0,5	Na ₂ S ₂ O ₃	24,5	86,2	87,5	96,4	94,4	97,3	80,6	87,4	80,2	59,0
0,5	Na ₂ S ₂ O ₅	89,2	97,9	92,2	99,1	33,3	81,1	87,1	79,3	86,9	25,6
0,5	Na ₂ C ₂ O ₄	27,2	89,2	100,0	107,2	100,0	100,0	112,9	95,4	98,8	74,4
0,5	Na ₂ MoO ₄	31,1	84,6	87,5	89,3	80,6	81,1	41,9	35,6	49,4	51,3
10,0	NaNO ₃	30,2	69,2	57,1	89,3	88,9	89,2	58,1	97,7	58,5	30,8
0,5	NaNO ₂	49,6	68,9	32,1	85,7	75,0	78,4	64,5	65,5	60,0	23,1
0,5	NaDT	88,9	86,2	52,9	85,7	91,7	86,5	6,5	86,2	82,3	12,8

* Anyon ihtiva etmeyen reaksiyon karışımındaki katalaz aktivitesi %100 olacak şekilde hesaplanmıştır.

0,5 mM Merkапtoetanol (MKE) varlığında K4 katalazı ilk aktivitesini %10, TK4 katalazı %13,1 ve A2 katalazı %3,5 oranlarında kaybederken, diğer suşların katalazlarının ise ilk aktivitelerini büyük oranda kaybettikleri tespit edilmiştir. A9, A4 ve A2 katalazlarının 0,5 mM etilendiamintetraasetik asit (EDTA) varlığında aktive oldukları, K1 katalazının aktivitesini koruduğu, diğer katalazların inhibe oldukları belirlenmiştir. Ayrıca bir katalaz inhibitörü olan 3- amino-1,2,4 triazol (3-ATA) ile enzimin 1 saat inkübasyondan sonra, tüm katalazların inhibe oldukları tespit edilmiştir (Tablo 22).

0,5 mM sodyum dodesilsülfat (SDS) deterjanı varlığında tüm suşlardan elde edilen katalazların büyük oranda aktive oldukları gözlenmiştir. %0,1 TX-100 deterjanı varlığında ise Ay9, TK4, K1, A6 ve A2 katalazlarının aktivitelerinin azaldığı, diğer suş katalazlarının aktivitelerinin arttığı tespit edilmiştir (Tablo 22).

Tablo 22. Termofilik katalazların aktivitesi üzerine bazı iyon ve deterjanların etkisi

(mM)	Bileşik	A3	Ay9	TK4	A9	K1	A4	K4	A5	A6	A2
% Bağlı Aktivite*											
0,5	MKE	46,0	34,1	86,9	31,7	28,9	27,0	90,0	31,7	27,3	96,5
0,5	EDTA	41,7	90,4	85,3	105,0	100,0	113,5	93,3	102,4	45,5	107,0
50	3-ATA	80,5	80,3	95,7	87,8	85,7	82,5	90,8	88,9	82,9	90,6
100	3-ATA	65,8	71,2	93,2	71,4	71,1	70,0	25,4	77,8	74,0	88,1
0,5	SDS	110,9	106,7	127,9	121,7	105,3	119,0	120,0	159,8	200,0	122,0
% 0,1	TX-100	103,5	96,3	93,4	135,0	84,2	114,3	123,3	118,3	92,3	97,4

* Bileşik ihtiva etmeyen reaksiyon karışımındaki katalaz aktivitesi %100 olacak şekilde hesaplanmıştır.

4. TARTIŞMA

Günümüzde birçok endüstri alanında, klasik kimyasal yöntemlerin yerini, enzimlerin kullanıldığı biyolojik sistemler almaktadır. Biyoteknolojinin de katkılarıyla bu işlemler hem daha ılıman şartlarda gerçekleştirilmekte, hem de oluşan yan ürünlerin çevreye verdikleri zararlar en aza indirgenmektedir. Bir endüstriyel enzim olan katalaz da gıda, süt, tekstil, medikal, kağıt gibi ağartma ve sterilizasyon işlemlerinin yapıldığı endüstri alanlarında, hidrojen peroksidin ortamdan uzaklaştırılması için kullanılmaktadır (Dhaese, 1996). Ayrıca bilinen termofilik türler arasında yer alan termofilik *Bacillus sp.* ve *Clostridium sp.* türleri, spor oluşturabilmeleri, yüksek sıcaklıkta yaşayabilmeleri ve ısıya dayanıklı enzimler üretmelerinden dolayı ilgi çekmektedirler (Sonnleither, 1983; Sharp vd., 1991; Cangenella ve Wiegel, 1993). Bu çalışmada kullanılan katalazların termofilik *Bacillus* cinsi bakterilerden elde edilmiş olması, bunların termofilik davranışabileceğini göstermektedir. Bununla birlikte bu çalışma, kullanılan 18 bakteri suşunun yeni izole edilmiş ve bu suşlarda katalazın çalışmamış olması, bu termofilik bakterilerin alternatif katalaz kaynağı olup olmayacağı hususunda önem arz etmektedir.

Mevcut çalışmada kullanılan tüm termofilik suşların katalaz aktivitesine sahip oldukları saptanmıştır. Benzer şekilde, aynı suşların katalaz üretebilme yeteneğinde oldukları rapor edilmiştir (Dülger, 1997; Çanakçı, 2003).

20 mM H₂O₂ varlığında ve pH 7,0'de yapılan aktivite çalışmasında tüm katalazların oldukça yüksek aktiviteye sahip oldukları tespit edilmiştir (Tablo 8). Çalışmada kullanılan katalazlar, en düşük (A2 katalazı) 857,7 U/mg protein ve en yüksek (A3 katalazı) 64610,5 U/mg protein aktivite göstermişlerdir. Bir sülfat indirgeyici bakteri olan *Desulfovibrio gigas*'dan saflaştırılan katalazın ham özütünde 52,6 U/mg protein, saflaştırma işlemlerinden sonra ise 4200 U/mg protein aktiviteye sahip olduğu belirtilmektedir (Dos Santos vd., 2000). Thompson ve arkadaşları (2003) *Thermus brockianus*'dan izole ettikleri katalazın ham özütteki özgü aktivitesinin 82 U/mg protein, saflaştırıldıktan sonraki aktivitesinin 5320 U/mg protein olduğunu belirtilmektedir. *Trigonopsis variabilis*'ten elde edilen katalazın ham özütünde 188 U/mg protein, saflaştırma işlemlerinden sonra ise 55000 U/mg protein aktiviteye sahip olduğu ifade edilmektedir (Monti vd., 2003). Saflaştırılmış *H. halobium* katalaz-peroksidazının katalaz aktivitesinin 43,2 U/mg protein olduğu belirtilmektedir. Ayrıca Paar ve arkadaşları (2001) tekstil atık sularından izole

ettikleri üç izolatin katalazlarından olan *B.pallidus* katalazının 8300 U/mg protein, *Bacillus* sp. LF katalazının 63000 U/mg protein, *Bacillus* sp. SF katalazının 107,900 U/mg protein aktivite gösterdiklerini rapor etmişlerdir.

Tüm suşlardan elde edilen katalazların, pH 7,0'da en yüksek aktiviteyi gösterdikleri belirlenmiştir. Ayrıca A3 ve TK4 katalazlarının pH 6,0-10,0 arasında da yüksek aktivite gösterdikleri belirlenmiştir. Diğer taraftan A3, K1 ve A5 katalazlarının 40 °C'de, Ay9 katalazının 20-60 °C arasında, TK4 katalazının 30 °C'de, A9, A6 ve K4 katalazlarının 50 °C'de, A4 katalazının 30-60 °C arasında, A2 katalazının ise 60°C'de en yüksek aktiviteyi gösterdikleri tespit edilmiştir. Konuya ilgili birçok literatürde de katalazların optimum pH değerlerinin 7,0 olduğu ve 4,0-10,0 geniş bir pH aralığında da aktivite gösterdikleri ifade edilmektedir (Brown-Peterson ve Salin, 1993; Brown-Peterson ve Salin, 1995; Terzenbach ve Blaut, 1998; Wang vd., 1998; Zou ve Schrempt, 2000; Akgöl vd., 2001; Hidalgo vd., 2004). Ayrıca, *Thermoascus aurantiacus*'un UV radyasyonundaki mutantından (M-3) elde edilen termofilik katalazın 70 °C'de en yüksek aktivite gösterdiği (Wang vd., 1998) ve halofilik bir bakteri olan *Halobacterium halobium*'den elde edilen mezofilik katalazın en yüksek aktiviteyi 40 °C'de gösterdiği (Brown-Peterson ve Salin, 1995) belirtilmiştir. Brown-Peterson ve Salin (1993) yaptıkları çalışmalarında *Halobacterium halobium*'den izole ettikleri peroksidaz-katalaz enziminin katalaz aktivitesinin 50 °C'de aktivite gösterdiğini ortaya koymuşlardır. Ayrıca USA Yellowstone Ulusal Parkı'ndaki bir kaplıcadan izole edilen *Thermus brokianus* kültüründen saflaştırılan katalazın 85 °C'de en yüksek aktivitesini gösterdiği ifade edilmiştir (Thompson vd., 2003). A2, A9, A6 ve K4 katalazlarının literatür bilgileri ile kıyaslandığında mezofilik katalazlara göre daha yüksek sıcaklıklarda aktivite gösterebildikleri, fakat termofilik katalazlara göre de daha düşük sıcaklıklarda aktivite gösterebildikleri tespit edilmiştir.

Termofilik suşlardan elde edilen katalazların yapılan pH ve ısıl kararlılıklarını çalışması sonucunda; A3 katalazının pH 6-9 ile 20-30 °C arasında; Ay9 katalazının pH 5-8 ile 20-50 °C arasında; TK4 katalazının pH 6-9 ile 20-50 °C arasında; A9 katalazının pH 6-8 ile 20-40 °C arasında; K1 katalazının pH 7'de ve 20-50 °C arasında; A4 katalazının pH 7'de ve 20-40 °C arasında; K4 katalazının pH 7-8 ile 20-40 °C arasında; A5 katalazının pH 6-10 ile 20-50 °C arasında; A6 katalazının pH 6-9 ile 20-40 °C arasında; A2 katalazının pH 8 ve 20-60 °C arasında kararlı oldukları belirlenmiştir. Bu veriler incelendiğinde K1, A4 ve A2 hariç, diğer katalazların hepsinin geniş bir pH aralığında aktivitesini koruduğu tespit edilmiştir. *Thermoascus aurantiacus* kültüründen elde edilen termofilik katalazın 30 °C'de

60 dakika bekletilmesinden sonra pH 4,5-13,0 arasında kararlı olduğu ve 60 dakika bekleme süresi boyunca 85 °C'ye kadar aktivitesini koruduğu görülmüştür (Wang vd., 1998). *Aspergillus niger*'den izole edilen katalazın pH 4,5-11,0 arasında kararlı olduğu ve 65 °C'de 60 dakika boyunca aktivitesini koruduğu rapor edilmiştir (Kikuchii vd., 1982). Bir başka çalışmada ise *Bacillus pallidus*, *Bacillus* sp. LF, *Bacillus* sp. SF kültürlerinden izole edilen termoalkalofilik katalazların pH 7,0'de 50 °C'de sırasıyla 3, 5 ve 15 saat sonra, 60 °C'de ise 3, 1, 22 saat sonra % 50 oranında aktivitelerini kaybettikleri ifade edilmektedir (Paar vd., 2001). Bir nevi termofilik özelliği ortaya koyan ıslık kararlılığı bakıldığından, A2 katalazının aktivitesinin daha düşük olmasına rağmen, çalışmada kullanılan diğer katalazlara göre daha çok termofilik davranışının görülmektedir. Ay9, K1, TK4, A5 katalazları da 50 °C'ye kadar aktivitelerini büyük bir oranda koruduklarından dolayı, termofilik katalazlar arasında yer alabilirler.

Ayrıca bu termofilik bakterilerden elde edilen katalazların, 20-80 °C arasındaki sıcaklıklarda 60 dakika bekleme süreleri sonunda elde edilen aktivitelerden hesaplanan termodinamik veriler de termal kararlılık verilerini destekledikleri görülmüştür. $\Delta G^\#$ ve $\Delta S^\#$ değerlerindeki ani artış, $\Delta H^\#$ değerindeki ani azalının görüldüğü sıcaklıklarda enzim yapısının bozulduğu ve kararsız bir hale geçtiğini göstermektedir.

En yüksek katalaz aktivitesi gösteren 10 suusta yapılan kinetik çalışmalarında, değişik substrat konsantrasyonlarına karşılık gelen hızlarının çizilen 1/S-1/V grafiğinden V_{maks} , K_m değerleri ve birbirlerine oranlanarak V_{maks}/K_m değerleri hesaplanmıştır (Tablo 18). Özgüllük (spesifite) oranları olarak tanımlanan bu değerler, bir substratin hangi enzime ya da enzimin hangi substrata ne kadar ilgi duyduğunu ifade eder. V_{maks} değerleri yalnızca katalaz enzimi konsantrasyonuna bağlıdır ve böyle bir hız eşitliği katalitik hız sabiti ya da dönüşüm sayısı olarak da tanımlanan bir sabiti (k_{kat})'de içerir. Toplam enzim konsantrasyonunun bilinmediği durumlarda, spesifite sabitinin bulunmasında V_{maks} değerlerinin kullanılması uygunudur. Dolayısıyla V_{maks}/K_m oranları böyle durumlarda spesifite oranı olarak ifade edilir. Bu oranlar, çalışmada kullanılan tüm suşların katalazları için değerlendirilecek olursa, H_2O_2 substrati yapılan deney şartlarında en fazla ilgiliyi A3 katalazına duyduğu ve bu ilginin sırasıyla A3>TK4>A9>Ay9>A5>A4>K4>A2>K1>A6 şeklinde olduğu söylenebilir.

Sığır ciğerinden elde edilen saf katalazla yapılan immobilizasyon çalışmasında, serbest enzim için V_{maks} değeri 236000 U/mg protein, K_m değeri 16,5 mM olarak ve immobilize edilmiş enzim için V_{maks} değeri 118000 U/mg protein ve K_m 25,8 mM olarak

bulunmuştur (Akgöl vd., 2001). Bir fototrofik bakteri olan *Rhodobacter sphaeroides* ATH 2.4.1'den saflaştırılan katalazın K_m değerinin 40 mM ve V_{maks} değerinin 285000 U/mg protein olduğu hesaplanmıştır (Terzenbach ve Blaut, 1998). *Thermus brockianus*'dan saflaştırılan katalazın H_2O_2 substratı varlığında V_{maks} değerinin 20,3 U/mg protein olduğu ve K_m değerinin 35,5 mM olduğu belirtilmiştir (Thompson vd., 2003). *Thermoascus aurantiacus*'dan izole edilen termal-kararlı katalazın 48 mM K_m değerine ve $1.07 \times 10^5 \text{ s}^{-1}$ k_{kat} değerine sahip olduğu belirtilmektedir (Wang vd., 1998). Bir mutant olan *Mycobacterium sp.* JCI DSM 3803'den saflaştırılan katalaz-perokidazın katalaz aktivitesi için yapılan kinetik çalışma sonucunda V_{maks} değerinin 15,9 $\mu\text{mol/dak/mg}$ protein ve K_m değeri 1,47 mM olarak bulunduğu belirtilmektedir (Ro vd., 2003). Ayrıca katalazın H_2O_2 substratına ilgisini gösteren K_m değeri Çetin (2000) tarafından tavuk karaciğeri katalazı için 100 mM, Chatterge ve arkadaşları (1989) tarafından keçi karaciğeri katalazı için 110 mM olarak rapor edilmiştir. Roka (*Eruca sativa*) bitkisinden saflaştırılan katalaz için K_m değerinin 62,5 mM olarak bulunduğu belirtilmiştir (Dinçer, 2000).

Çalışmada kullanılan katalazların saflaştırılmış olmamalarına rağmen V_{maks} ve K_m değerlerinin literatürlerdeki V_{maks} ve K_m değerlerine yakın çıktıkları görülmektedir. Özellikle A3 suyu, k_{kat} değerine bakıldığından oldukça yüksek potansiyel katalaz kaynağı olarak önem arz etmektedir. Ayrıca diğer suşlardan elde edilen katalazların K_m değerlerinin (Tablo 18), literatürlerde yer alan birçok katalazdan daha düşük bir K_m değerine sahip olduğu ve H_2O_2 substratına daha çok ilgi duydukları görülmektedir.

Hill grafiklerinden elde eğim (h) ile enzimlerin üzerindeki substrat-bağlanma bölgelerinin sayısı ve kooperativitenin olup olmadığı hakkında bilgi vermektedir. Hill sabitinin $h=1$ olması durumunda enzimin birden fazla bağlanma bölgesi olduğunu, fakat bu birimler arasında kooperativitenin olmadığını göstermektedir (Stenesh, 1984; Noble ve Oberdick, 1988). Çalışmada kullanılan tüm katalazlar için H_2O_2 substratı varlığında elde edilen kinetik veriler ile çizilen Hill grafiklerinde eğimin 1'e yakın çıktığı ve bu enzimler üzerinde birden fazla substrat bağlanma bölgesinin olduğunu ve bu altbirimler arasında kooperativitenin olmadığı tespit edilmiştir.

Termofilik suşlardan elde edilen özütlerde yapılan doğal elektroforez sonucunda tüm suşlarda katalaz aktivitesi olduğu belirlenmiştir. Ayrıca yine doğal elektroforez sonucunda, suşların içerdikleri katalazların ve muhtemel izoenzimlerinin yaklaşık molekül ağırlıklarının 202-640 kDa arasında olduğu hesaplanmıştır (Tablo 19). *Trigonopsis variabilis*'ten saflaştırılan katalazın yaklaşık 230 kDa (Monti vd., 2003),

Thermaascus aurantiacus'dan izole edilen katalazın yaklaşık 75 kDa altbirimlere sahip yaklaşık 330 kDa (Wang vd., 1998), *Halobacterium halobium* katalazının yaklaşık 240 kDa (Brown-Peterson ve Salin, 1995), *Thermus brockianus*'dan saflaştırılan ısil-alkali kararlılığı sahip katalazın 178 kDa (Thompson vd., 2003), *Bacillus sp.* katalazının 282 kDa (Yumoto vd., 1990), *Vibrio rumoensis* S-1T (Yumoto vd. 2000) ve *Thermus thermophilus*'dan (Hidalgo vd., 2004) saflaştırılan katalazların yaklaşık 230 kDa molekül ağırlığına sahip oldukları rapor edilmiştir. Çalışmada kullanılan suşlardaki katalazların molekül ağırlıklarının hemen hemen hepsinin literatürlere yakın çıktıgı, sadece bazı suşlardaki izoenzimlerin molekül ağırlıklarının beklenenden büyük olduğu görülmüştür.

Çalışmada kullanılan termofilik suşlardan elde edilen katalazların NaN_3 , KCN , HgCl_2 , sodyum ditiyonit ve 3-amino-1,2,4-triazol gibi bilinen katalaz inhibitörleri ile inhibe oldukları görülmüştür. TK4 suşundan elde edilen katalazın sodyum ditiyonit ile % 48 oranında inhibe olmasına rağmen 3-ATA ile %7 oranında inhibe olması ve dar bir pH aralığında aktivite göstermesi, TK4 suşundaki aktivitenin katalaz-peroksidaz aktivitesinden kaynaklanabilecegi ihtimalini artırmaktadır. Katalazların ditiyonite karşı dirençli oldukları, 3-amino-1,2,4-triazolle inhibe oldukları bilinmektedir (Terzenbach ve Blaut, 1998; Thompson vd., 2003). Tüm suşlardaki katalaz aktivitesinin NaN_3 , KCN ile inhibe olması, bu suşlardaki katalazların hem grubu içeren enzimler oldukları ve bunların diğer hemokatalazlar ile uyum içinde oldukları göstermektedir (Wang vd., 1998). *Thermaascus aurantiacus*'dan izole edilen katalazın 0,1 mM siyanür ve azid ile yaklaşık %90 oranında, 1 mM Ca^{+2} , Co^{+2} , Mn^{+2} , Ni^{+2} , Zn^{+2} ve Hg^{+2} metallerinin varlığında ise yalnızca Hg^{+2} ile %70 oranında inhibe olduğu belirtilmektedir (Wang vd., 1998). *Rhodobacter sphaeroides* ATH 2.4.1'den saflaştırılan katalazın inhibisyon çalışması sonucunda CN^- , N_3^- , 2-merkaptoetanol ve sodyum ditiyonit ile inhibe olduğunu ve bu verilerin bu katalazın tek işlevli katalaz olduğunu kanıtladığı belirtilmektedir (Terzenbach ve Blaut, 1998).

Ayrıca en yüksek aktiviteyi gösteren 10 suştan elde edilen katalazların hepsinin 408-417 nm arasında Soret piki vermeleri, bu katalazların hem grubu içerdiklerini kanıtlamaktadır. Ayrıca bu katalazların indirgenmesiyle Soret piklerinin görünür bölgeye doğru kaydıkları ve 520 ile 550 nm civarında pik verdikleri tespit edilmiştir. Bununla birlikte, KCN ile α ve β bantlarına ait piklerin genişlediği görülmüştür. *Halobacterium halobium*'dan saflaştırılan katalazın 406 nm'de Soret piki verdiği ve KCN ile elde edilen piklerin genişleyip 12 nm kadar kırmızı bölgeye kaydığını ifade edilmektedir (Brown-Peterson ve Salin, 1995). Yumoto ve arkadaşlarının (2000) yapmış oldukları bir

karşılaştırmada ökaryotik katalazların Soret pikini 405 nm'de, *V.rumoiensis* S-1^T katalazının 406 nm'de ve *R.capsularas* katalaz-peroksidazının ise 403 nm'de gösterdiklerini belirtmektedir. *Thermus brockianus* katalazının doğal formu 410 nm'de Soret piki ve 534 nm ile bunun iz piki olan 560 nm'de pik verdikleri, ditiyonit ile indirgenmesi sonucu Soret pikinin 419 nm'ye kaydığı ve 534 nm'deki pikin kaybolup 523 nm ile 553 nm'de piklerin çıktıgı belirtilmektedir (Thompson vd., 2003). *Desulfovibrio gigas*'dan saflaştırılan katalazın doğal halinin 405 nm Soret piki gösterdiği, alkali-piridinditiyonit karışımında indirgenmiş halinin ise 522 ve 565.5 nm'lerde yüksek spinli ferrik pikleriyle 418 nm'de Soret piki gösterdiği ifade edilmektedir (Dos Santos vd., 2000).

5. SONUÇLAR

Bu çalışmada kullanılan termofilik suşların katalaz üretebildikleri petri testi ve doğal elektroforezle ortaya konmuş ve bu katalazların saflaştırılmamış olmalarına rağmen oldukça yüksek aktiviteye sahip oldukları tespit edilmiştir. Özellikle A3 katalazının diğer suşlardan elde edilen katalazlara ve literatürlerde yer alan katalazlara göre oldukça yüksek aktiviteye sahip olduğu görülmüştür.

Tüm suşlardan elde edilen katalazların pH 7,0'da en yüksek aktivite gösterdikleri ve A3 ile Ay9 katalazlarının geniş bir pH aralığında aktivite gösterdikleri belirlenmiştir. A3, Ay9, TK4, A9, A5 ve A6 katalazlarının geniş bir pH aralığında kararlı oldukları görülmüştür.

En yüksek aktiviteyi gösterdikleri sıcaklık ve ıslık kararlılıklarına bakıldığından, aktivitesi düşükmasına rağmen A2 katalazının hem daha termofilik, hem de daha alkalofilik olduğu tespit edilmiştir. Bunun yanında Ay9, TK4, K1 ve A5 katalazlarının da 50 °C'ye kadar aktivitelerini büyük oranda koruduğu belirlenmiştir.

H_2O_2 substratinin en fazla ilgiliyi A3 katalazına duyduğu ve bu ilginin sırasıyla A3>TK4>A9>Ay9>A5>A4>K4>A2>K1>A6 şeklinde olduğu görülmüştür.

En yüksek aktiviteyi gösteren 10 suştan elde edilen katalazların 0,5 mM NaN_3 , KCN ve $HgCl_2$ varlığında aktivitelerini tamamen kaybettikleri tespit edilmiştir. Bununla birlikte, tüm katalazların 100 mM 3-amino-1,2,4-triazol ile inhibe oldukları belirlenmiştir. Yalnızca TK4 katalazının 3-ATA ile çok düşük oranda ve ditiyonitle oldukça yüksek bir oranda inhibe olması, bu suştaki aktivitenin katalaz-peroksidazdan kaynaklanabiliyor olabileceği ihtimalini ortaya koyduğu tespit edilmiştir. 0,5 mM SDS'li ortamda tüm katalazların aktivitesinin arttığı görülmüştür. %0,1 TX-100'lü ortamda ise A3, A4, K4, A5 katalazlarının aktivitesi artarken, diğer katalazların aktivitesinin küçük oranlarda azaldığı belirlenmiştir. Ayrıca birçok iyon varlığında bazı katalazların oldukça dirençli oldukları görülmüştür.

En yüksek aktiviteyi gösteren 10 suştan elde edilen katalazların hepsinin 408-417 nm arasında Soret piki verdikleri ve ayrıca bu katalazların indirgenmesiyle 520 ile 550 nm'de pik verdikleri tespit edilmiştir.

Sonuç olarak; çalışmada kullanılan termofilik kültürlerin birer potansiyel katalaz kaynağı oldukları, bu suşlardan elde edilen katalazların gerek pH-ıslık kararlılıkları, gerek

bazı iyon ve deterjanlar varlığında kararlı kalmaları bakımından, H₂O₂'in kullanıldığı tüm endüstri alanlarında rahatlıkla kullanma imkanı bulabilecekleri söylenebilir. Özellikle, A2 katalazının yüksek pH ve sıcaklıklarda kararlık göstermesinden dolayı, ağartma işlemlerinin yüksek sıcaklık (> 60 °C) ve alkali ortamlarda gerçekleştiği tekstil gibi endüstri alanlarında kullanılması önerilebilir.

6. ÖNERİLER

Bu çalışmada, bazı termofilik bakterilerin endüstriyel bir enzim olan katalazı üretemeye kapasitesi belirlenmiş ve bu katalazların bazı kinetik verileri ortaya konmuştur. Bu veriler, bu termofilik kültürlerdeki katalaz veya izoenzimlerinin genel davranışlarını göstermektedir. Bu katalazların 3-boyutlu yapılarılarındaki detaylı bilgilere ancak saf enzimlerle çalışıldığı takdirde ulaşılabilicektir. Bununla birlikte, endüstri alanlarında daha çok saf enzim veya immobilize edilmiş enzimler uygulama imkamı bulabilmektedir. Enzimlerin saflaştırılması pahalı ve zahmetli bir yöntem olmasından dolayı alternatif kaynakların bulunması oldukça önem arz etmektedir. Bu suşların oldukça yüksek aktiviteye sahip katalaz üretebilmeleri bunların önemli bir katalaz kaynağı olarak görev yapabileceklerini göstermektedir.

İleriki çalışmalarında, bu veriler ışığında, elde edilen bu katalazlar için uygun saflaştırma ve immobilizasyon tekniklerinin belirlenmesi faydalı olacaktır. Bu saflaştırma işlemlerinden sonra bulunacak kinetik veriler, bu katalazlar hakkında daha detaylı bilginin elde edilmesini sağlayacaktır. Ayrıca bu katalazların saflaştırılmasıyla, muhtemel olarak belirlenen enzim ve izoenzim molekül ağırlıkları daha detaylı olarak incelenebilecektir. Bununla birlikte, saf katalazlar ile elde edilecek spektroskopik veriler, aktif bölge hakkında daha çok bilgi verecektir.

İleride yapılacak böyle bir çalışmada, bu suşlardaki katalaz aktivitesi yanında peroksidaz aktivitesinin incelenmesi de, bu suşların içermiş olduğu katalazların sınıfının belirlenmesi açısından faydalı olacaktır. Ayrıca bu kültürlerdeki (özellikle A3 suşu) katalaz genlerinin belirlenip bir vektöre aktarılması sayesinde katalaz üretiminin artırılması sağlanabilecektir.

7. KAYNAKLAR

- Aebi, H. E., 1983. Catalase, in: Bergmeyer, H. U. (Ed.), Verlag Chemie GmbH (VCH), Methods of Enzymatic Analysis, Third Edition, Vol. III, 273-286.
- Aebi, H., 1984. Catalase *in vitro*, Method Enzymol., 105, 121-126.
- Afsar, H., Demirata, B., 1993. Indirect Spectrophotometric Determination of Hydrogen-Peroxide, Fresenius J. Anal. Chem., 347, 460-462.
- Aguilar, A., 1996. Extremophile Research in the European Union: from Fundamental Aspects to Industrial Expectation, FEMS Microbiol. Rev., 18, 89-92.
- Ahmad, I., 2001. Catalase, Free Radicals in Biology and Medicine, Iowa University, Iowa, Spring Term, 1-10.
- Akertek, E., Tarhan, L., 1995. Characterization of Immobilized Catalases and Their Application in Pasteurization of Milk With H₂O₂, Appl. Biochem. Biotechnol., 50, 291-303.
- Akgöl, S., Dinçkaya, E., 1999. A Novel Biosensor for Specific Determination of Hydrogen Peroxide: Catalase Enzyme Electrode Based on Dissolved Oxygen Probe, Talanta, 48, 363-367.
- Akgöl, S., Kaçar, Y., Özkara, S., Yavuz, H., Denizli, A., Arica, M. Y., 2001. Immobilization of Catalase Via Adsorption onto L-histidine Grafted Functional pHEMA Based Membran, J. Mol. Catal. B: Enzym., 15, 197-206.
- Allgood, G. S. ve Perry, J. J., 1986. Characterization of a Manganese-containing Catalase from the Obligate Thermophile *Thermoleophilum album*, J. Bacteriol., 168, 563-567.
- Amara, P., Andreoletti, P., Jouve, H. M. ve Field, M. J., 2001. Ligand Diffusion in the Catalase from *Proteus mirabilis*: a Molecular Dynamics Study, Protein Sci., 10, 1927-1935.
- Amelunxen, R. E., Lins, M., 1968. Comparative Thermostability of Enzymes from *Bacillus stearothermophilus* and *Bacillus cereus*, Arch. Biochem. Biophys., 125, 765-771.
- Anonim, 1986. Maden Suyu Ananliz Raporu, T.C. Sağlık ve Sosyal Yardım Başkanlığı, Refik Saydam Hıfzıssıhha Merkezi Başkanlığı, Çevre Sağlığı Müdürlüğü, Ankara.
- Anonim, 1994. Maden Suyu Analiz Raporu, T.C. İstanbul Üniversitesi Tıbbi Ekoloji ve Hidro-Klimatoloji Araştırma ve Uygulama Merkezi, İstanbul.
- Antonyuk, S. V., Melik-Adamyan, V. R., Popov, A. N., Lamzin, V. S., Hampstead, P. D., Harrison, P. M., vd., 2000. Crystal Structure of Manganese Catalase from *Lactobacillus plantarum*, Structure, 9, 725-738.
- Baker, R. D., Cook, C. O. ve Goodwin, D. C., 2004. Properties of Catalase-Peroxidase Lacking Its C-terminal Domain, Biochem. Biophys. Res. Commun., 320, 833-839.

- Baldwin, J. L., 1997. A Catalase Journey, Doktora Tezi, New Mexico Üniversitesi, New Mexico.
- Bartos, M., Falkinham, J. O., Pavlik, I., 2004. Mycobacterial Catalases, Peroxidases, and Superoxide Dismutases and Their Effects on Virulence and Isoniazid-susceptibility in Mycobacteria-a Review, *Vet. Med. -Czech*, 49, 5, 161-170.
- Barynin, V. V., Whittaker, M. M., Antonyuk, S. V., Lamzin, V. S., Harrison, P. M., Artymiuk, P. J. ve Whittaker, J. W., 2001. Crystal Structure of Manganese Catalase from *Lactobacillus plantarum*, *Structure (Camb)*, 9, 725-738.
- Beaumont, F., Jouvec, H. M., Gagnon, J., Gaillard, J. ve Pelmont, J., 1990. Purification and Properties of Catalase from Potato Tubers (*Solanum tuberosum*), *Plant Sci.*, 72, 1, 19-26.
- Belal, R., Momenteau, M., Meunier, B., 1989. Why an Oxygen and Not a Nitrogen Atom as Proximal Ligand in Catalase? Hydrogen Peroxide Dismutationcatalayzed by Synthetic Iron and Manganese Porphyrins, *New J. Chem.*, 13, 853-862.
- Bergmeyer, J. ve Grabl, M., 1983. Methods of Enzymatic Analysis (Third Edition), Germany, 190-302.
- Berthet, S., Nykyri, L. M., Bravo, J., Mate, M. J., Berthet-Colominas, C. Alzari, P. M., vd., 1997. Crystallization and Preliminary Structural Analysis of Catalase A from *Saccharomyces cerevisiae*. *Protein Sci.*, 6, 481-483.
- Betancor, L., Hidalgo, A., Fernández-Lorente, G., Mateo, C., Fernández-Lafuente, R. ve Guisan, J. M., 2003. Preparation of a Stable Biocatalyst of Bovine Liver Catalase Using Immobilization and Postimmobilization Techniques, *Biotechnol. Prog.*, 19, 763-767.
- Bonnichsen, R., In Colowick, S. P. ve Kaplan, N. O., 1955. Blood Catalase, Methods in Enzymology, Acamedic Pres, New York, Vol. II, 781-784.
- Bravo, J., Fita, I., Gouet, P., Jouve, H. M., Melik-Adamyan, W. ve Murshudov, G. N., 1997. Struture of catalases. In Oxidative Stress and the Molecular Biology of Antioxidant Defenses (Scandalios, J. G., ed), Cold Spring Harbor Laboratory Press, Cold Sprring Habor, NY., 407-445.
- Brock, T. D., 1985. Life at High Temperatures, *Science*, 230, 132-138.
- Brock, T. D., 1986. Thermophiles: General, Molecular and Applied Microbiology, Brock, T. D. (Ed.), John Wiley and Sons, New York.
- Brown-Peterson, N. J. ve Salin M. L., 1993. Purification of Catalase-Peroxidase from *Halobacterium halobium*: Characterization of Some Unique Properties of the Halophilic Enzyme, *J. Bacteriol.*, 175, 13, 4197-4202.
- Brown-Peterson, N. J. ve Salin M. L., 1995. Purification and Characterization of Mesohallic Catalase from Halophilic Bacterium *Halobacterium halobium*, *J. Bacteriol.*, 177, 2, 378-384.
- Cangenalla, F. ve Wiegel, J., 1993. The Clostridia and Biotechnology, Woods, B.W. (ed.), Batterworth Pres, Stoneham, MA.
- Carpena, X., Guarne, A., Ferrer, J. C., Alzari, P. M., Fita, I. ve Loewen, P. C., 2002. Crystallization and Preliminary X-ray Analysis of the Hydroperoxidase I C-

- terminal Domain from *Escherichia coli*. *Acta Crystallogr. D. Biol. Crystallogr.*, 58, 853-855.
- Carpena, X., Loprasert, S., Mongkolsuk, S., Switala, J., Loewen, P. C. ve Fita, I., 2003. Catalase-peroxidase KatG of *Burkholderia pseudomallei* at 1.7 Å Resolution, *J. Mol. Biol.*, 327, 475-487.
- Chance, B., Sies, H., Boveris, A., 1979. Hydroperoxide Metabolism in Mammalian Organs, *Physiol. Rev.*, 59, 3, 527-625.
- Chartterge, U., Kumar, A., Sanwal, G., 1989. Purification and Properties of Goat Liver Catalase: Two pH optima, *Indian J. Biochem. Biophys.*, 26, 140-147.
- Chary, P. ve Natvig, D. O., 1989. Evidence for three differentially regulated catalase genes in *Neurospora crassa*: effects of oxidative stress, heat shock, and development, *J. Bacteriol.* 171, 2646-2652.
- Chaudiere, J. ve Ferrari-Iliou, R., 1999. Intracellular Antioxidants from Chemical to Biochemical Mechanism, *Food Chem. Toxicol.*, 37, 949-962.
- Chelikani, P. V. G. B. K., 2004. Probing the Structure of *Escherichia coli* Catalase HPII, Doktora Tezi, Manitoba Üniversitesi, Manitoba.
- Chen, L. H., Boissonault, G. A., Glauert, H. P., 1988. Vitamin C, Vitamin E and Cancer (Review), *Anticancer Res.*, 8, 739-748.
- Claiborne, A., Malinowski, D. P. ve Fridovich, I., 1979. Purification and Characterization of Hydroperoxidase II of *Escherichia coli* B., *J. Biol. Chem.*, 254, 11664-11668.
- Colacino, F. ve Crichton, R. R., 1997. Enzyme Thermostabilization: The State of the Art, *Biotechnol. Genet. Eng. Rev.*, 14, 211-277.
- Company, R., Serafim, A., Bebianno, M. J., Cosson, R., Shillito, B., Fiala-Médioni, A., 2004. Effect of Cadmium, Copper and Mercury on Antioxidant Enzyme Activities and Lipid Peroxidation in The Gills of The Hydrothermal Vent Mussel *Bathymodiolus azoricus*, *Mar. Environ. Res.*, 58, 377-381.
- Costa, S. A., Tzanov, T., Paar, A., Gudelj, M., Gübitz, G. M., Cavaco-Paulo, A., 2001. Immobilization of Catalases from *Bacillus* SF on Alumina for the Treatment of Textile Bleaching Effluents, *Enzyme Microb. Technol.*, 28, 815-819.
- Çanakçı (Dülger), S., 2003. Gönen, Kestanbol ve Diyadin Kaplıcalarından Termofilik Bakterilerin İzolasyonu, Moleküller Yöntemlerle Karakterizasyonu ve Tanımlanması, Doktora Tezi, Karadeniz Teknik Üniversitesi, Fen Bilimleri Enstitüsü, Trabzon.
- Çetin, K., 2000. Tavuk Karaciğerinden Katalaz Enziminin Saflaştırılması, Yüksek Lisans Tezi, Celal Bayar Üniversitesi, Fen Bilimleri Enstitüsü, Manisa.
- Çetinus (Akkuş), Ş., 1998. Katalazın Değişik Materyaller Üzerinde Tutuklanma Özelliklerinin İncelenmesi, Doktora Tezi, Cumhuriyet Üniversitesi, Fen Bilimleri Enstitüsü, Sivas.
- Darr, D. ve Fridovich, I., 1986. Irreversible inactivation of Catalase by 3-amino-1,2,4-triazole, *Biochem. Pharmacol.*, 35, 20, 3642.
- Das, R. ve Gerstein, M., 2000. The Stability of Thermophilic Proteins: A Study Based on Comprehensive Genome Comparison, *Funct. Integr. Genom.*, 1, 76-88.

- De Vito, J. A., Morris, S., 2003. Exploring the Structure and Function of the Mycobacterial KatG Protein Using *trans*-Dominant Mutants, Antimicrob. Agents Chemother., 47, 1, 188-195.
- Dhaese, P., 1996. Catalase: An enzyme with growing industrial potential, Chim. Oggi., 14, (1-2), 19-21.
- Díaz, A., Horjales, E., Rudiño-Piñera, E., Arreola, R. ve Hansberg, W., 2004. Unusual Cys-Tyr Covalent Bond in a Large Catalase, J. Mol. Biol., 342, 971-985.
- Dinçer, A., 2000. Roka (*Eruca sativa*) Bitkisinden Katalaz Enziminin Saflaştırılması, Yüksek Lisans Tezi, Celal Bayar Üniversitesi, Fen Bilimleri Enstitüsü, Manisa.
- Donald, L. J., Krokhin, O. V., Duckworth, H. W., Wiseman, B., Deemagarn, T., Singh, R., Switala, J., Carpene, X., Fita, I. ve Loewen, P. C., 2003. Characterization of the Catalase-peroxidase KatG from *Burkholderia pseudomallei* by mass spectrometry, J. Biol. Chem., 278, 35687-35692.
- Donald, L. J., Krokhin, O. V., Duckworth, H. W., Wiseman, B., Deemagarn, T., Singh, R., Switala, J., Carpene, X., Fita, I. ve Loewen, P. C., 2003. Characterization of the Catalase-peroxidase KatG from *Burkholderia pseudomallei* by Mass Spectrometry, J. Biol. Chem., 278, 35687-35692.
- Dos Santos, W. G., Pacheco, I., Liu, M.-Y., Teixeira, M., Xavier, A. V. ve Legal, J., 2000. Purification and Chararcterization of an Iron Superoxide Dismutase and a Catalase from the Sulfate-Reducing Bacterium *Desulfovibrio gigas*, J. Bacteriol., 182, 3, 796-804.
- Dounce, A. L., 1983. A Proposed Mechanism for the catalytic action of Catalase, J. Theor. Biol., 105, 553-567.
- Dülger, S., 1997. Ayder Kaplıcasından Termofilik Bakteri İzolasyonu ve Teşhisi, Yüksek Lisans Tezi, Karadeniz Teknik Üniversitesi, Fen Bilimleri Enstitüsü, Trabzon.
- Dündar, Y. ve Aslan, R., 2000. Hekimlikte Osidatif Stres ve Antioksidanlar, I. Basım, Afyon Kocatepe Üniversitesi, Afyon.
- Eberhardt, A. M., Pedroni V., Volpe, M., Ferreira, M. L., 2004. Immobilization of Catalase from *Aspergillus niger* on Inorganic and biopolymeric Supports for H₂O₂ Decomposition, Appl. Catalysis B: Environ., 47, 153-163.
- Edge, R., Mc Garvey, D. J. ve Truscott, T. G., The Carotenoids as Antioxidants, a review, J. Photoc. Photobio., 41, 189-200.
- Erişen, B., Akkuş, İ., Uygur, N., Koçak, A., 1996. Türkiye Jeotermal Envanteri, Maden Tetkik ve Arama Genel Müdürlüğü, Ankara.
- Evans, S., 1993. SETOR: hardware lighted three-dimensional solid model representations of macromolecules, J. Mol. Graphics, 11, 134-138.
- Feinstein, R. N., 1949. J. Biol. Chem., 180, 1197.
- Fita, I., Rossmann, M. G., 1985. The Active Center of Catalase, J. Mol. Biol., 185, 1, 21-37.
- Fridovich, I., 1986. Biological Effects of Superoxide Radical, Arch. Biochem. Biophys., 247, 1-11.

- Frugoli, J. A., 1998. Characterization of Catalase in *Arabidopsis thaliana*, Doktora Tezi, Dartmouth College, Hanover, New Hampshire.
- Fruhwirth, G. O., Paar, A., Gudelj, M., Cavaco-Paulo, A., Robra, K.-H., Gubitz, G. M., 2002. An immobilized catalase peroxidase from the alkathermophilic *Bacillus* SF for the treatment of textile-bleaching effluents, *Appl. Microbiol. Biotechnol.*, 60, 313–319.
- Gonçalves, V. M., de Cerqueira Leite, L. C., Raw, I. ve Cabrera-Crespo, J., 1999. Purification of Catalase from Human Placenta, *Biotechnol. Appl. Biochem.*, 29, 73–77.
- Görenek, G., 1999. Aljinat Kürecikler İçinde Katalaz İmmobilizasyonu, Yüksek Lisans Tezi, Ege Üniversitesi, Fen Bilimleri Enstitüsü, İzmir.
- Green, M. T., 2001. The Structure and Spin Coupling of Catalase Compound I: A Study of Noncovalent Effects, *J. Am. Chem. Soc.*, 123, 9218-9219.
- Gupta, M., 1995. Thermostability of Enzymes, Springer, Berlin, Heidelberg, New York.
- Guagliardi, A., Martino, M., Iaccarino, I., de Rosa, M., Rossi, M., Bartolucci, S., 1996. Purification and Characterization of the Alcohol Dehydrogenase from a Novel Strain of *Bacillus stearothermophilus* Growing at 70 °C, *Int. J. Biochem. Cell Biol.*, 28, 239-246.
- Halliwell, B. ve Gutteridge, J. M. C., 1984. Oxygen Toxicity, Oxygen Radicals, Transition Metals and Disease, *Biochem. J.*, 219, 1-14.
- Halliwell, B. ve Gutteridge, J. M. C., 1990. Role of Free Radicals and Catalytic Metal Ions in Human Disease, *Method. Enzymol.*, 186, 1-80.
- Halliwell, B., 1999. Antioxidant Defence Mechanisms: from the Beginning to the End (of the Beginning). *Free Radic. Res.*, 31, 261-272.
- Halliwell, B., Gutteridge, J. M. C. ve Cross, E. C., 1992. Free Radical, Antioxidants, and Human Disease: Where are we now?, *J. Lab. Clin. Med.*, 119, 6, 598-620.
- Haney, P.J., Badger, J.H., Buldak, G.L., Reich, C.I., Woese, C.R., Olsen, G., 1999. Thermal Adaptation Analyzed by Comparison of Protein Sequences from Mesophilic and Extremly Thermophilic *Methanococcus* species, *Proc. Natl. Acad. Sci.*, 96, 3578-3583.
- Hatchikian, E. C., LeGall, J., Bruschi, M. ve Dubourdieu, M., 1972. Regulation of the Reduction of Sulfite and Thiosulfate by Ferredoxin, Flavodoxin and Cytochrome C₃ in Extracts of the Sulfate Reducer *Desulfovibrio gigas*, *Biochim. Biophys. Acta*, 258, 701–708.
- Hazell, S. L., Evans Jr, D. J., Graham, D. Y., 1991. *Helicobacter pylori* Catalase, *J. Gen. Microbiol.*, 137, 57–61.
- Hidalgo, A., Betancor, L., Mateo, C., Lopez-Gallego, F., Moreno, R., Berenguer, J., Guisan, J. M. ve Fernández-Lafuente, R., 2004. Purification of a Catalase from *Thermus thermophilus* via IMAC Chromatography: Effect of the Support, *Biotechnol. Prog.*, 20, 1578-1582.
- Hildebrandt, A. G. ve Roots, I., 1975. Reduced Nicotinamide Adenine Dinucleotide Phosphate (NADPH)-dependent Formation and Breakdown of Hydrogen Peroxide

- Daring Mixed Function Oxidation Reaction in Liver Microsomes, Arch. Biochem. Biophys., 171, 385-397.
- Hillar, A., Nicholls, P., Switala, J. ve Loewen, P. C., 1994. NADPH Binding and Control of Catalase Compound II Formation: Comparison of Bovine, Yeast, and *Escherichia coli* Enzymes, Biochem. J., 300, 531–539.
- Hillar, a., Peters, B., Pauls, R., Loboda, A., Zhang, H., Mauk, A. G. ve Loewen, P. C., 2000. Modulation of the Activities of Catalase-peroxidase HPI of *Escherichia coli* by Site-directed mutagenesis, Biochemistry, 39, 5868-5875.
- Hillenbrand, T., 1999. Die abwasser situation in der deutschen papier-, textile-, und lederindustrie, GWF, Wasser/Abwasser, 140, 4, 267-273.
- Huang, J., Kim-Shapiro, D. B. ve King, S. B., 2004. Catalase-Mediated Nitric Oxide Formation from Hydroxyurea, J. Med. Chem., 47, 3495-3501.
- Imlay, J. A., Chin, S. M., Linn, S., 1988. Toxic DNA Damage by H₂O₂ Through Fenton Reaction *in vivo* and *in vitro*, Science, 240, 640-642.
- İnal, T., 1990. Süt ve Süt Ürünleri Hijyen ve Teknolojisi, 1108.
- Jaenicke, R. ve Bohm, G., 1998. The Stability of Proteins in Extreme Environments, Curr. Opin. Struct. Biol., 8, 738-748.
- Jakopitsch, C., Auer, M., Ivancich, A., Rujer, F., Furtmuller, P. G. ve Obinger, C., 2003. Total Conversion of Bifunctional Catalase-peroxidase (KatG) to Monofunctional Peroxidase by Exchange of a Conserved Distal Side Tyrosine, J. Biol. Chem., 278, 20185-20191.
- Johnson, P., 2002. Antioxidant Enzyme Expression in Health and Disease: Effects of Exercise and Hypertension, Comp. Biochem. Phys., Part C, 133, 493-505.
- Johnsson K., Froland W. A. ve Schultz P. G., 1997. Overexpression, Purification, and Characterization of the Catalase-peksidase KatG from *Mycobacterium tuberculosis*, J. Biol. Chem., 272, 5, 2834-2840.
- Kagawa, M., Murakoshi, N., Nishikawa, Y., Matsumoto, G., Kurata, Y., Mizobata, T., Kawata, Y., Nagai J., 1999. Purification and Cloning of a Thermostable Manganese Catalase from a Thermophilic Bacterium, Arch. Biochem. Biophys., 362, 2, 346-355.
- Kalko, S. G., Gelpi, J. L., Fita, I. ve Orozco, M., 2001. Theoretical Study of the Mechanisms of Substrate Recognition by Catalase, J. Am. Chem. Soc., 123, 9665–9672.
- Kettle, A. J. ve Winterbourn, C. C., 2001. A Kinetic Analysis of the Catalase Activity of Myeloperoxidase, Biochemistry, 40, 34, 10204-10212.
- Kikuchii, K., Hayashi, S., Nakamoto, H. ve Nakamura, S., 1982. Properties of *Aspergillus niger* Catalase, J. Biochem., 92, 1449-1456.
- Kim, H., Lee, J. S., Hah, Y. C., Roe, J. H., 1994. Characterization of the Major Catalase from *Streptomyces coelicolor* ATCC 10147, Microbiol., 140, 3391-3397.
- Kirkman H. N., Gaetani G. F., 1984. Catalase: a Tetrameric Enzyme with Four Tightly Bound Molecules of NADPH, Proc. Natl. Acad. Sci., 81, 4343-4347.

- Kleywelt, G.J. ve Jones, T.A., 1994. In: From First Map to Final Model (S. Bailey, R. Hubbard, ve D.A. Waller, Eds.), SERC Daresbury Laboratory, Warrington, U.K., 59-66.
- Klotz, M. G. ve Loewen, P. C., 2003. The Molecular Evolution of Catalatic Hydroperoxidases: Evidence for Multiple lateral Transfer of Genes Between Prokaryota and from Bacteria into Eukaryota, Mol. Biol. Evol., 20, 1098-1012.
- Koffler, H., 1957. Protoplasmic Differences Between Mesophiles and Thermophiles, Bacteriol. Rev., 21, 227-232.
- Koller, F., 2005. Protein-engineering of Hydroperoxidases, Biyokimya Bölümü, Vienna Üniversitesi, <http://www.univie.ac.at/ibmz/groups/koller.htm>, 15 Mart 2005.
- Kono, Y. ve Fridovich, I., 1983. Isolation and Characterization of the Pseudocatalase of *Lactobacillus plantarum*, J. Biol. Chem., 258, 6015-6019.
- Kristjansson, J. K., 1989. Termophilic Organisms as Sources of Thermostable Enzymes, Trends Biotechnol., 7, 349.
- Kristjansson, J. K., Stetter, K .O., 1992. Thermophilic Bacteria, Kristjansson, J. K. (Ed.), CRC Press, Boca Raton.
- Kuusk, H., Björklund, M., Rydström, J., 2001. Purification and Characterization of a Novel Bromoperoxidase-Catalase Isolated from Bacteria Found in Recycled Pulp White Water, Enzyme Microb. Technol., 28, 617-624.
- Laemmli, U. K., 1970. Cleavage of Structural Proteins During the Assembly of the Head of Bacteriophage T4, Nature, 227, 680-685.
- Loew, O., 1901. U.S. Depent of Agri. Repts., 65, 5.
- Loewen, P.C., 1997. Bacterial catalases, in: J.G. Scandalios (Ed.), Oxidative Stress and the Molecular Biology of Antioxidant Defenses, Cold Spring Harbor Laboratory Press, Plainview, NY, 273–308.
- Lowry, O. H., Rosebrough, N. J., Farr, A. L. ve Randall R. J., 1951. Protein Measurement with the Folin Phenol Reagent. J. Biol. Chem. 193, 265-275.
- Madigan, M. T., Martinko, J. M., Parker, J., 2000. Brock Biology of Microorganisms, Prentice-Hall Inc., New Jersey.
- Matés, J. M., Pérés-Gomez, C., de Castro, I. N., 1999. Antioxidant Enzymes and Human Disease, Clin. Biochem., 32, 8, 595-603.
- Matsumura, M., Kataoka, Y., Imanaka, T., Aiba, S., 1984. Enzymatic and Nucleotide Sequence Studies of a Kanamycin-Inactivating Enzyme Encoded by a Plasmid from Thermophilic Bacilli in Comparison with That Encoded by Plasmid pUB110, J. Bacteriol., 160, 413-420.
- Matsunaga, I. ve Shiro, Y., 2004. Peroxide-Utilizing Biocatalysts: Structural and Functional Diversity of Heme-Containing Enzymes, Curr. Opin. Chem. Biol., 8, 127-132.
- Meister, A. ve Anderson, M. E., 1983. Glutathion, Annu. Rev. Biochem., 52, 711-760.
- Melik-Adamyan, W., Bravo, J., Carpena, X., Switala, J., Mate, M. J., Fita, I. ve Loewen, P. C., 2001. Substrate Flow in Catalases Deduced from the Crystal Structures of

- Active Site Variants of HPII from *Escherichia coli*, Proteins: Struct. Funct. Genet., 44, 270–281.
- Miquel, P., 1888. Monographie d'un Bacille Vant Au-Dela de 70 °C, Ann Micrographic, 1, 3.
- Monti, D., Baldaro, E., Riva, S., 2003. Separation and Characterization of Two Catalase Activities Isolated from the Yeast *Trigonopsis variabilis*, Enzyme Microb. Technol., 32, 596-605.
- Murthy, M. R., Reid, T. J. 3d, Sicignano, A., Tanaka, N., Rossmann, M. G., 1981. Structure of Beef Liver Catalase, J. Mol. Biol., 152, 2, 465-499.
- Nadler, V., Goldberg, I. ve Hochman, A., 1986. Comparative Study of Bacterial Catalases, Biochim. Biophys. Acta, 882, 234-241.
- Nicholls, P., Fita, I. ve Loewen, P. C., 2001. Enzymology and Structure of Catalases, Adv. Inorg. Chem., 51, 51-106.
- Noble, J. ve Oberdick, J. D., 1988. Biochemistry, Student's Solution Guide, Second Edition, Macmillan Publishing Company, New York, 93-94.
- Olson, L. P. ve Bruice, T. C., 1995. Electron Tunneling and Ab Initio Calculations Related to One-Electron Oxidation of NAD(P)H Bound to Catalase, Biochemistry, 34, 7335–7347.
- Oral, B., 2003. Salisilik Asit ve Düşük Sıcaklıkların İspanak Yapraklarına Nitrat Redüktaz, Katalaz ve Peroksidaz Aktivitesi ve Donma Hasarı Seviyesi Üzerine Etkilerinin İncelenmesi, Doktora Tezi, Atatürk Üniversitesi, Fen Bilimleri Enstitüsü, Erzurum.
- Paar, A., Costa, S., Tzanov T., Gudelj, M., Robra, K., H., Cavaco-Paulo, A., Gübitz, G. M., 2001. Thermo-alkali-stable Catalases from Newly Isolated *Bacillus* sp. For The Treatment and Recycling of Textile Bleaching Effluents, J. Biotechnol., 89, 147-153.
- Popescu,I.C., Zetterberg,G., Gorton, L., 1995. Influence of graphite powder, additives and enzyme immobilization procedures on a mediatorless HRP-modified carbon paste electrode for amperometric flow-injection detection of H_2O_2 , Biosens. Bioelectr., 10, 5, 443-461.
- Pürçüklü, S., 1996. Kırmızı Kan Hücrelerinden Katalaz Enziminin Saflaştırılması ve Kinetik Özelliklerinin İncelenmesi, Yüksek Lisans Tezi, Çukurova Üniversitesi, Fen Bilimleri Enstitüsü, Adana.
- Querol, E., Perez-Pons, J. A., Mozo-Villarians, A., 1996. Analysis of Protein Conformational Characteristics Related to Thermostability, Protein Eng., 9, 265-271.
- Redila, V. A., 1998. An Examination of the Effects the Catalase Inhibitor 3-Amino-1,2,4-triazole on Ethanol, Food and Water Intake, Yüksek Lisans Tezi, Concordia Üniversitesi, Montreal, Kanada.
- Regelsberger, G., Jakopitsch, C., Furthmuller, P. G., Rueker, F., Switala, J., Loewen, P. C. ve Obinger, C., 2001. The Role of Distal Tryptophan in the Bifunctional Activity of Catalase-peroxidase, Biochem. Soc. Trans., 29, 99-105.

- Regelsberger, G., Jakopitsch, C., Rueker, F., Krois, D., Peschek, G. A. ve Obinger, C., 2000. Effet of Distal Cavity Mutations on the Formation of Compound I in Catalase-Peroxidases, *J Biol. Chem.*, 275, 22854-22861.
- Reid, T. J. 3d, Murthy, M. R., Sicignano, A., Tanaka, N., Musick, W. D., Rossmann, M. G., 1981. Structure and Heme Environment of Beef Liver Catalase at 2.5 Å Resolution, *Proc. Natl. Acad. Sci. USA*, 78, 8, 4767-4771.
- Ro, Y. T., Lee, H. I., Kim, E. J., Koo, J. H., Kim, E., Kim, Y. M., 2003. Purification, Characterization, and Physiological Response of Catalase-Peroxidase in *Mycobacterium* sp. Strain JCI DSM 3803 Grown on Methanol, *FEMS Microbiol. Lett.*, 226, 397-403.
- Rovira, C. ve Fita, I., 2003. The Proximal Hydrogen-Bonded Residue Controls the Stability of the Compound II Intermediate of Peroxidases and Catalases, *J. Phys. Chem. B*, 107, 22, 5300-5305.
- Russell, R. J. M., Taylor, G. L., 1995. Engineering Thermostabilty: Lessons from Thermophilic Proteins, *Curr. Opin. Biotechnol.*, 6, 370-374.
- Sarp, R. S., Riley, P. W. ve White, D., 1991. Heterotrophic Thermophilic Bacilli. In: *Thermophilic Bacteria*, Krispiansson, J. K. (ed.), CRC Pres, Boca Raton.
- Scandurra, R., Consalvi, V., Chiaraluce, R., Politi, L., Engel, P. C., 1998. Protein Thermostability in Extremophiles, *Biochimie*, 80, 933-941.
- Schake, S. A., 1999. Analysis of Transgenic Tobacco That Express Maize Catalase3, Doktora Tezi, Texas Tech Universitesi, USA.
- Sonnleither, A., 1983. Biotechnology of Thermophilic Bacteria, Growth Products and Application, *Adv. Biochem. Eng. Biotech.*, 28, 69-138.
- Spink, C. H. ve Chaires, J. B., 1999. Effects of Hydration, Ion Release, and Excluded Volume on the Melting of Triplex and Duplex DNA, *Biochemistry*, 38, 496-508.
- Stenesh, J., 1984. Experimental Biochemistry, Allyn and Bacon, Inc., USA, 230-231.
- Storz, G. ve Imlay, J., 1999. Oxidative Stress, *Current Opin. Microbiol.*, 2, 188-194.
- Switala, J. ve Loewen, P. C., 2002. Diversity of Properties Among Catalases, *Arch. Biochem. Biophys.*, 401, 145-154.
- Takahara S., Hamilton, H.B., Neel, J.V., Kobara T. Y., Ogura, Y. ve Nishimura, E.T., 1960. *J. Clin. Invest.*, 39, 610.
- Tanaka, M., Ogawa, N., Ihara, K., Sugiyama, Y. ve Mukohata, Y., 2002. Cytochrome aa_3 in *Haloferax volcanii*, *J. Bacteriol.*, 184, 3, 840-845.
- Tarhan, L., Uslan, A. H., 1990. Characterization and Operational Stability of Immobilised Catalase, *Process Biochem.*, 25, 1, 14-18.
- Taub, J. J., 2001. Characterization of Catalase and its Role in Life-span Determination in *Caenorhabditis elegans*, Doktora Tezi, Dartmouth Collage, Hanover, New Hampshire.
- Terzenbach D. P., Blaut, M., 1998. Purification and Characterization of a Catalase from the Nonsulfur Phototrophic Bacterium *Rhodobacter sphaeroides* ATH 2.4.1 and Its Role in the Oxidative Stres Response, *Arch. Microbiol.*, 169, 503-508.

- Thomas, L. D., Dunkley, M. L., Moore, R., Reynolds, S., Bastin, D. A., Kyd, J. M., Cripps, A. W., 2001. Catalase Immunization from *Pseudomonas aeruginosa* Enhances Bacterial Clearance in the Rat Lung, *Vaccine*, 19, 348-357.
- Thompson, V. S., Schaller, K. D. Ve Apel, W. A., 2003. Purification and Characterization of a Novel Thermo-Alkali-Stable Catalase from *Thermus brockianus*, *Biotechnol. Prog.*, 19, 1292-1299.
- Triggs-Raine, B. L., Doble, B. W., Mulvey, M. R., Sorby, P. A. ve Loewen, P. C., 1988. Nucleotide Sequence of KatG, Encoding Catalase HPI of *Escherichia coli*, *J. Bacteriol.*, 170, 4415-4419.
- Tzanov, T., Costa, S., Gubitz, G. M., Cavaco-Paulo, A., 2001. Dyeing with catalase treated bleaching baths, *Color Tech.*, 117, 1-5.
- Unwin, P. N. T. (1975). Beef Liver Catalase Structure: Interpretation of Electron Micrographs, *J. Mol. Biol.*, 98, 235-242.
- Vieille, C., Burdette, D. S., Zeikus, J. G., 1996. Thermozymes, *Biotechnol. Ann. Rev.*, 2, 1-83.
- Vogt, G. ve Argos, P., 1997. Protein Thermal Stability: Hydrogen Bonds or Internal Packing?, *Folding Design*, 2, 40-46.
- Vogt, G., Woell, S., Argos, P., 1997. Protein Thermal Stability: Hydrogen Bonds, and Ion Pairs, *J. Mol. Biol.*, 269, 631-643.
- Wada, K., Tada, T., Nakamura, Y., Kinoshita, T., Tamoi, M., Shigeoka, S. ve Nishimura, K., 2002. Crystallization and Preliminary X-ray Diffraction Studies of Catalase-peroxidase from Synechococcus PCC 7942, *Acta Crystallogr. D. Biol. Crystallogr.*, 58, 157-159.
- Wang, H., Tokusige, Y., Shinoyama, H., Fujii, T. ve Urakami, T., 1998. Purification and Characterization of a Thermostable Catalase from Culture Broth of *Thermoascus aurantiacus*, *J. Ferment. Bioeng.*, 85, 2, 169-173.
- Watanabe, K., Oshima, T., Nishimura, S., 1976. CD Spectra of 5-methyl-2-thiouridine in tRNA-met-F from an Extreme Thermophile, *Nuc. Acids. Res.*, 3, 1703-1713.
- Wayne, L. G., Diaz, G. A., 1986. A Double Staining Method for Differentiating Between Two Classes of Mycobacterial Catalase in Polyacrylamide Electrophoresis Gels, *Anal. Biochem.*, 157, 89-92.
- Weck, M., 1991. Hydrogen peroxide—an environmentally acceptable textile bleaching agent, *Text. Prax. Int.*, 2, 144—147.
- Wei, C.-J., Lei, B., Musser, J. M. ve Tu, S.-C., 2003. Isoniazid Activation Defects in Recombinant *Mycobacterium tuberculosis* Catalase-Peroxidase (KatG) Mutants Evident in InhA Inhibitor Production, *Antimicrob. Agents Chemother.*, 47, 2, 670-675.
- Woodbury, W., Spencer, A. K., Stahmann, M. A., 1971. An Improved Procedure Using Ferricyanide for Detecting Catalase Isozymes, *Anal. Biochem.*, 44, 301-305.
- Wu, S.-C., Huang, H., Lin, C.-C., 2004. Expression and Functional Characterization of *Helicobacter pylori* Catalase from Baculovirus-infected Insect Cells, *Enz. Microb. Technol.*, yayında.

- Yamada, Y., Saijo, S., Sato, T., Igarashi, N., Usui, H., Fujiwara, T. ve Tanaka, N., 2001. Crystallization and Preliminary X-ray Analysis of Catalase-peroxidase from the halophilic archaeon *Haloarcula marismortui*, Acta Crystallogr. D. Biol. Crystallogr., 57, 1157-1158.
- Yıldız, H., 1999. Selüloz Asetat Kürecikler Yüzeyinde Katalaz İmmobilizasyonu, Yüksek Lisans Tezi, Ege Üniversitesi, Fen Bilimleri Enstitüsü, İzmir.
- Yu, A. ve Caruso, F., 2003. Thin Film of Polyelectrolyte-Encapsulated Catalase Microcrystals for Biosensing, Anal. Chem., 75, 3031-3037.
- Yumoto, I., Ichihashi, D., Iwata, H., Istokovics, A., Ichise, N., Matsuyama, H., Okuyama, H. ve Kawasaki, K., 2000. Purification and Characterization of a Catalase from the Facultatively Psychrophilic Bacterium *Vibrio rumoensis* S-1T Exhibiting High Catalase Activity, J. Bacteriol., 182, 7, 1903-1909.
- Yurdakul, Z., 2005. Oksijen ve Canlılar, <http://www.klinikbiyokimya.com/seminer/oksijen/oksijen.htm>, 15 Mart 2005.
- Zamocky, M. ve Koller, F., 1999. Understanding the Structure and Function of Catalases: Clues from Molecular Evolution and *in vitro* Mutagenesis, Prog. Biophys. Mol. Biol., 72, 19-66.
- Zamocky, M., Janecek, S. ve Koller, F., 1997. The Area of the Main Substrate Channel is Highly Conserved among All True Catalases, Biologia, 52, 723-730.
- Zhang, Y., Heym, B., Allen, B., Young, D. ve Cole, S., 1992. The Catalase-peroxidase Gene and Isoniazid Resistance of *Mycobacterium tuberculosis*, Nature, 358, 591-593.
- Zou, P. ve Schrempf, H., 2000. The Heme-Independent Manganese-Peroxidase Activity Depends on the Presence of the C-Terminal Domain Within the *Streptomyces reticuli* Catalase-Peroxidase CpeB, Eur. J. Biochem., 267, 2840-2849.

ÖZGEÇMİŞ

1974 yılında Trabzon'un Çaykara İlçesi'nde doğdu. 1991 yılında Trabzon Lisesi'nden mezun olduktan sonra, aynı yıl Karadeniz Teknik Üniversitesi Fen Edebiyat Fakültesi Kimya Bölümü'nde Lisans öğrenimine başladı. 1995 yılında lisans öğrenimini tamamladıktan sonra mezun oldu. 1995 yılında Karadeniz Teknik Üniversitesi Fen Bilimleri Enstitüsü Kimya Anabilim Dalı'nda başladığı Yüksek Lisans öğrenimini 1999 yılında tamamladı. 1999 yılında Karadeniz Teknik Üniversitesi Fen Bilimleri Enstitüsü Kimya Anabilim Dalı'nda Doktora programına başladı. 1996–1999 yılları arasında Karadeniz Teknik Üniversitesi Fen Bilimleri Enstitüsü'nde Araştırma Görevlisi olarak görev yaptıktan sonra 1999 yılında aynı üniversitenin Fen Edebiyat Fakültesi Kimya Bölümü'ne Öğretim Görevlisi olarak atandı. Halen Öğretim Görevlisi olarak çalışmaktadır ve evlidir.